

CHEMICAL SERIES

784-f  
1986

ISSN—0132—6074  
საქართველოს სსრ მეცნიერებათა აკადემიის მაცნე  
ИЗВЕСТИЯ АКАДЕМИИ НАУК ГРУЗИНСКОЙ ССР  
PROCEEDINGS OF THE ACADEMY OF SCIENCES  
OF THE GEORGIAN SSR

І П А П Р  
СЕРИЯ  
ХИМИЧЕСКАЯ

1986 N 4

თბილისი  
ТБИЛИСИ · TOM  
TBILISI VOL.

12



Изв. АН ГССР, сер. химич., 1986, т. 12, № 4, 241—320

საქართველოს სსრ მეცნიერებათა აკადემიის გაცემი  
ИЗВЕСТИЯ АКАДЕМИИ НАУК ГРУЗИНСКОЙ ССР  
**1986**

# გ ვ ა ძ ი ს ხ ა ნ ი ა СЕРИЯ ХИМИЧЕСКАЯ

ტომი 12, № 4  
Том

გურიალი დაარსდა 1975 წელს  
Журнал основан в 1975 году

გამაცვალება „მეცნიერება“ თანამდებობის  
ИЗДАТЕЛЬСТВО «МЕЦНИЕРЕБА» ТБИЛИСИ 1986



Известия АН ГССР  
© Серия химическая, 1986

## სარედაქციო კოლეგია

რ. აგლაძე, ა. ავალიანი, თ. ანდრონიკაშვილი (რედაქტორის მოადგილე), ფ. ბრუ-  
ცხელი (სწავლული მდივანი), ფ. თავაძე, ლ. მელიქეძე, ნ. ფირცხალავა,  
ე. ქემერტელიძე, გ. ციცაშვილი (რედაქტორი), პ. ცისკარიშვილი, ქ. ჭავარიძე  
(რედაქტორის მოადგილე)

პასუხისმგებელი მდივანი ვ. შუბლაძე

## РЕДАКЦИОННАЯ КОЛЛЕГИЯ

Р. И. Агладзе, А. Ш. Авалиани, Т. Г. Андronikashvili (зам. редактора),  
Ф. И. Броучек (ученый секретарь), К. Г. Джапаридзе (зам. редакто-  
ра), Э. П. Кемертелидзе, Л. Д. Меликадзе, Н. И. Пирцхалава, Ф. Н. Та-  
вадзе, Г. В. Цицишвили (редактор), П. Д. Чискаришвили.

Ответственный секретарь В. В. Шубладзе

## EDITORIAL BOARD

R. I. Agladze, A. Sh. Avaliani, T. G. Andronikashvili (Associate Editor),  
F. I. Brouchek (Scientific Secretary), K. G. Japaridze (Associate Editor),  
E. P. Kemertelidze, L. D. Melikadze, N. I. Pirtsxhalava, F. N. Tavadze,  
G. V. Tsitsishvili (Editor), P. D. Tsiskarishvili.

Executive Secretary V. V. Shubladze

რუბნალი გამოდის 3 თვეში ერთხელ  
Журнал выходит раз в 3 месяца

ଓଡ଼ିଆରୁଦ୍ଧା

ବର୍ଷାଗୀତିକାରୀଙ୍କ ଏହା ପରିମାଣରେ କିମ୍ବା

ଧର୍ମ ଶ୍ରୀ କର୍ଣ୍ଣ ପାତ୍ର	ପାଠୀ ପାଠୀ ପାଠୀ	ପାଠୀ ପାଠୀ ପାଠୀ
ପାଠୀ ପାଠୀ ପାଠୀ	ପାଠୀ ପାଠୀ ପାଠୀ	ପାଠୀ ପାଠୀ ପାଠୀ
ପାଠୀ ପାଠୀ ପାଠୀ	ପାଠୀ ପାଠୀ ପାଠୀ	ପାଠୀ ପାଠୀ ପାଠୀ
ପାଠୀ ପାଠୀ ପାଠୀ	ପାଠୀ ପାଠୀ ପାଠୀ	ପାଠୀ ପାଠୀ ପାଠୀ

ကမ္မဘာနေဂြာတ် အဂောင်

ଓଡ଼ିଆ କବିତା

271	एक फलनिकाय शैवली ता. प्रकृत्ये नियंत्रण आ. नृपति ग्रा. न. लालुर क- श्वीलो ला. मृदु शहरी श्वीलो ल. मियांडी सारकुली श्वारेनीस गविन्युवाए प्रदर्शनी भाष्यालो श्वारेनीस गविन्युवाए
276	दो घरांती शैवली ता. गान्धीलो दो ल. नाकु परांश्वीलो ल. ग्वरमान्नुभीस बिल्लोलो अर्हाम्बुलो बिल्लोलो वायुम्बुलो
281	माणोन्नीश्वीलो ल. शुद्धीलो ल. शुक्रीलो ल. अवराम्बी—गालुपालुभीस विल्लो- ग्सीलोस बिल्लोम्बीस भाष्यालो श्वारेनीस गविन्युवाए अल्लोलुभीस अल्लोलुभ- प्रालुलो ट्राविस्त्रेडो
285	गोधुनी ता. वृश्चिकलो दो ता. वृषासनीयान्नो ल. वृक्षान्नो ल. लुकिल ला निमोन्नुभीस अज्ञिस्त्रेडोस श्वारेनीस अल्लोलुभीस अल्लोलुभीस अल्लोलुभीस (Na, K <sub>2</sub> O—BaO—SiO <sub>2</sub> ) सिस्त्रेडोस भिन्नेडो
291	फूल प्रकाशलो न. सिलांडे ल. नंदिश्वीवाएरी सारकुलास्त्रुतिलो श्वेतोस कुलिन्नो- त्रिलोलोतिलो श्वारेनीस गविन्युवाए

ტექნიკა

ଓন্টেল কোম্পানি

## СОДЕРЖАНИЕ

### НЕОРГАНИЧЕСКАЯ И АНАЛИТИЧЕСКАЯ ХИМИЯ

Броучек Ф. И., Каираули М. М., Гозалов А. Л. Сорбция титана и ванадия на модифицированных комплексонатами анионитах . . . . .	247
Каландадзе Н. Д. Усовершенствование ускоренного метода определения серы в углях . . . . .	252
Цинцадзе Г. В., Базгадзе И. Г. Синтез и ИК-спектры поглощения координационных соединений лантаноидов на основе тиоцианатов и бромидов с гидразидом николиновой кислоты (ГПК) . . . . .	256

### ОРГАНИЧЕСКАЯ ХИМИЯ

Гоголадзе Д. Д., Левитина Е. С., Кайгородова Л. К., Годунова Л. Ф., Карпейская Е. И., Клабуновский Е. И., Чивадзе Г. О. Гидрирование этилового эфира 5-циано-2-оксиминоалериановой кислоты на палладиевых катализаторах . . . . .	260
---	-----

### ФИЗИЧЕСКАЯ ХИМИЯ

Андроникашвили Т. Г., Крупеникова А. Ю., Окуджава Н. Г., Лаперашивили Л. Я., Мгебришвили Л. Г. Исследование влияния твердого носителя на разделительные свойства неподвижной фазы . . . . .	267
Багратишвили Г. Д., Джанелидзе Р. Б., Нахуцишвили И. Г. Термическая стабильность нитрида германия в вакууме . . . . .	272
Мдивнишвили О. М., Уридия Л. Я., Хучуа Е. А. Фазовые превращения в системе диатомит—гидроксид кальция и адсорбционные свойства получаемых продуктов . . . . .	278
Коган В. Е., Мшвелидзе Г. Г., Мясников И. А., Пронкин А. А. Влияние оксидов железа и ниобия на полищелочную эффект электрической проводимости у стекол системы $(\text{Na}, \text{K})_2\text{O} — \text{BaO} — \text{SiO}_2$ . . . . .	283
Пирцхалава Н. И., Сирадзе Р. В. Исследование осушки отработанного трансформаторного масла с помощью клиноптилолита . . . . .	288

### ТЕХНОЛОГИЯ

Карашвили Г. Д., Кикиадзе Н. П., Агладзе Р. И., Миндин В. Ю. К методике измерения $E_h$ при гидрометаллургической переработке медно содержащих концентратов . . . . .	293
Джапаридзе К. К., Цискаришвили П. Д., Тарапашвили Н. А., Хотенашвили Н. З. Смоляной липтобиолит в качестве сырья для получения ионитов . . . . .	297
Хоперия Т. Н., Мгалоблишвили М. Г., Джышкариани Г. И., Глонти З. Ш. Извлечение ионов никеля из отработанных растворов химического никелирования . . . . .	301

### КРАТКИЕ СООБЩЕНИЯ

Цинцишвили Г. В., Долидзе А. В., Баларджишвили Г. И. Получение метилциклогексенов дегидратацией циклогексанола на цеолитных катализаторах . . . . .	305
Агладзе Р. И., Орлова О. В., Беришвили Л. А. Влияние некоторых факторов на процесс электродиализной очистки двуокиси марганца . . . . .	308
Цинцишвили В. Г. Обобщенные процессы диффузии в гетерогенном объекте . . . . .	312
Цвениашвили В. Ш., Малашхия М. В. Новый вариант полярографического определения 2,1,3-элементодизазолов . . . . .	315
Авторский указатель . . . . .	318

12236

## CONTENTS

### INORGANIC AND ANALYTICAL CHEMISTRY

Brouchek F. I., Kariauli M. M., Gozalov A. L. Titanium and vanadium sorption on modified anionite complexes . . . . .	250
Kalandadze N. D. Improvement of the express method for sulfur determination in coals . . . . .	255
Tsintsadze G. V., Bazgadze I. G. Synthesis and IR-spectra of absorption of coordination compounds of lanthanides on the basis of thiocyanates and those of bromides with pycolinic acid hydrazide (PAH) . . . . .	259

### ORGANIC CHEMISTRY

Gogoladze D. D., Levitina E. S., Kaigorodova L. K., Godunova L. F., Karpeiskaya E. I., Klabunovski E. I., Chivadze G. O. Hydration of ethyl ether of 5-cyano-2-oximinovalerian acid on palladium catalysts . . . . .	265
--	-----

### PHYSICAL CHEMISTRY

Andronikashvili T. G., Krupennikova A. Yu., Okujava N. G., Laperashvili L. Ya., Mgebrishvili L. G. Studies of the effect of solid support on separating properties of the stationary phase . . . . .	271
Bagratishvili G. D., Janelidze R. B., Nakutsrishvili I. G. Thermal stability of germanium nitride in the vacuum . . . . .	276
Mdivnishvili O. M., Uridia L. Ya., Khuchua E. A. Phase transformations in the diatomite—calcium hydroxide system and adsorptive capacities of the obtained products . . . . .	281
Kogan V. E., Mshvelidze G. G., Miasnikov I. A., Pronkin A. A. Iron and niobium oxides influence on the mixed alkali effect of electroconductivity in the glass systems of $(Na, K_2O-BaO-SiO_2)$ . . . . .	286
Pirtskhalava N. I., Siradze R. V. An investigation of drying of waste transformer oil by clinoptilolites . . . . .	291

### TECHNOLOGY

Karashvili G. D., Kiknadze N. P., Agladze R. I., Mindin V. Yu. On the methods of $E_h$ measurements in hydrometallurgic reprocessing of concentrates containing copper . . . . .	296
Japaridze K. K., Tsiskarishvili P. D., Tarashvili N. A., Khotenashvili N. Z. Wax lithophiolite as a raw material for obtaining ionites . . . . .	300
Khoperia T. N., Mgaloblishvili M. G., Jishkariani G. I., Glonti Z. Sh. Removing of nickel ions from the waste solutions of electrolysis nickel plating . . . . .	303

### SHORT COMMUNICATIONS

Tsitsishvili G. V., Dolidze A. V., Balargishvili G. I. Obtaining of methylecyclopentenes by dehydratation of cyclohexanol on zeolite catalysts . . . . .	307
Agladze R. I., Orlova O. V., Berishvili L. A. The influence of some factors on the process of electrodialysis purification of manganese dioxide . . . . .	310
Tsitsishvili V. G. Extended diffusion processes in a heterogeneous medium . . . . .	314
Tsveniashvili V. Sh., Malashkhia M. V. The new variant of polarographic determination of 2,1,3-elementodiazols . . . . .	316

## НЕОРГАНИЧЕСКАЯ И АНАЛИТИЧЕСКАЯ ХИМИЯ

УДК 543.544

Ф. И. БРОУЧЕК, М. М. КАРИАУЛИ, А. Л. ГОЗАЛОВ

### СОРБЦИЯ ТИТАНА И ВАНАДИЯ НА МОДИФИЦИРОВАННЫХ КОМПЛЕКСОНАМИ АНИОНИТАХ

Определение титана и ванадия при анализе различных объектов принятными в аналитической практике методами в большинстве случаев значительно осложнено их взаимным мешающим влиянием, а также влиянием многих сопутствующих металлов—железа, никеля, кобальта, меди, хрома, молибдена, вольфрама и др. [1]. В этой связи, поиски и разработка новых эффективных методов разделения титана и ванадия и их отделения от сопутствующих металлов представляют собой актуальную задачу современной аналитической химии этих элементов.

Одним из перспективных методов разделения ионов металлов является жидкостная колоночная хроматография.

Развитые ранее теоретические основы комплексообразовательно-сорбционной хроматографии на модифицированных лигандами анионитах, полученный обширный экспериментальный материал по исследованию сорбционного поведения ионов ряда переходных металлов в хроматографических системах «ион металла — анионит, модифицированный лигандом» и разработанные на основе этих исследований новые хроматографические методы разделения изученных металлов [2—10] свидетельствуют о перспективности дальнейшего развития этого направления в хроматографии и, в частности, изучения новых хроматографических систем указанного выше вида.

В данной статье приводятся результаты изучения процессов сорбции титана (IV) в хроматографической системе «ион пероксититанила — анионит, модифицированный анионами этилендиаминтетрауксусной кислоты (ЭДТА)» и ванадия (IV) — в хроматографической системе «ион ванадила — анионит, модифицированный анионами нитрилотриуксусной кислоты (НТА)», проведенного с целью установления возможностей использования этих хроматографических систем для извлечения титана (IV) и ванадия (IV) из разбавленных растворов и их хроматографического разделения и отделения от ионов сопутствующих металлов. В качестве сорбентов—носителей лигандов использовались отечественные аниониты АВ—16 и АВ—17, которые ионообменным способом модифицировались соответствующими лигандами (ЭДТА или НТА).

Критерием эффективности сорбции была выбрана динамическая сорбционная емкость (ДСЕ) ЭДТА- и НТА-форм этих анионитов до начала проскока соответственно титана (IV) и ванадия (IV) в фильтрат. Изучалось влияние на ДСЕ таких основных факторов, как скорость потока ( $U$ ; 0,5—5,0 см/мин), концентрация ( $C$ ; 0,1—1,0 мг/мл), pH хроматографируемых растворов (в пределах 1,0—10,0) и высота слоя сорбента ( $h$ ; 4,5—15,0 см).

Все эксперименты проводились в динамических условиях на колонках с диаметром 1,6 см. Непрерывно отбирались фракции фильтра-

тов по 10 мл, которые анализировались на содержание соответственно титана или ванадия фотометрическими методами [1]. По результатам каждой серии экспериментов строились выходные кривые сорбции, которым рассчитывались величины ДСЕ.

Стандартные растворы титана (IV) готовили растворением навесок металлического титана в серной кислоте с последующим добавлением к этим растворам расчетного количества  $H_2O_2$  для удержания титана (IV) в растворе в виде пероксититанил-иона  $TiO(H_2O_2)^{2+}$ , а стандартные растворы ванадия (IV) — из сернокислого ванадила квалификации ч. д. а.

Таблица 1

Влияние скорости потока ( $u$ ), концентрации ( $c$ ), рН хроматографируемого раствора и высоты слоя сорбента ( $h$ ) на ДСЕ ЭДТА-форм анионитов АВ—16 и АВ—17 по титану (IV)

Анионит АВ—16			Анионит АВ—17		
$u$ , см/мин (при $c=0,2\text{мг/мл}; h=9\text{см}, \text{рН}=2$ )					
0,5	2,5	5,0	0,5	2,5	5,0
ДСЕ, мг — экв/мл					
0,046	0,028	0,0	0,093	0,046	0,009
ДСЕ, мг — экв/г					
0,258	0,15	0,0	0,44	0,22	0,04
$c$ , мг/мл (при $u=2,5$ см/мин; $h=9\text{см}; \text{рН}=2$ )					
0,2	0,5	1,0	0,2	0,5	1,0
ДСЕ, мг — экв/мл					
0,028	0,046	0,060	0,046	0,069	0,092
ДСЕ, мг — экв/г					
0,15	0,26	0,51	0,22	0,33	0,44
рН (при $u=2,5$ см/мин; $c=0,2\text{мг/мл}; h=9\text{см}$ )					
1,0	2,0	2,5	1,0	2,0	2,5
ДСЕ, мг — экв/мл					
0,017	0,028	0,017	0,046	0,046	0,046
ДСЕ, мг — экв/г					
0,10	0,15	0,10	0,22	0,22	0,22
$h$ , см (при $u=2,5$ см/мин; $c=0,2$ мг/мл; $\text{рН}=2$ )					
4,5	9,0	15,0	4,5	9,0	15,0
ДСЕ, мг — экв/мл					
0,018	0,028	0,044	0,018	0,046	0,12
ДСЕ, мг — экв/г					
0,10	0,15	0,25	0,088	0,22	0,58

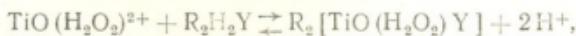
Полученные результаты представлены в таблицах 1 и 2.

Как видно из этих таблиц, можно считать установленными факты сорбции пероксититанил-ионов на ЭДТА-формах анионитов АВ—16 и АВ—17 и ванадил-ионов — на НТА-формах этих же сорбентов в количествах, достаточных для проведения аналитических операций концентрирования и хроматографического разделения указанных ионов.

Влияние скорости потока (*u*), концентрации (*c*), рН хроматографируемого раствора и высоты слоя сорбента (*h*) на ДСЕ НТА-форм анионитов АВ-16 и АВ-17 по ванадию (IV)

Анионит АВ-16				Анионит АВ-17			
u, см/мин (при <i>c</i> =0,2 мг/мл; <i>h</i> =9 см, pH=2)							
0,5	2,5	5,0	0,5	2,5	5,0		
ДСЕ, мг — экв/мл							
0,427	0,314	0,218	0,349	0,183	0,148		
ДСЕ, мг — экв/г							
2,372	1,743	1,210	1,673	0,878	0,711		
<i>c</i> , мг/мл (при <i>u</i> = 2,5 см/мин; <i>h</i> = 9 см; pH = 2)							
0,1	0,2	0,5	1,0	0,1	0,2	0,5	1,0
ДСЕ, мг — экв/мл							
0,283	0,314	0,240	0,087	0,109	0,183	0,022	0,044
ДСЕ, мг — экв/г							
1,574	1,743	1,331	0,484	0,523	0,878	0,105	0,209
рН (при <i>u</i> = 2,5 см/мин; <i>c</i> = 0,2 мг/мл, <i>h</i> = 9 см)							
2,0		10,0		2,0		10,0	
ДСЕ, мг — экв/мл							
0,314		0,462		0,183		0,444	
ДСЕ, мг — экв/г							
1,743		2,566		0,878		2,133	
<i>h</i> , см (при <i>u</i> = 2,5 см/мин; <i>c</i> = 0,2 мг/мл; pH = 2)							
4,5	9,0	15,0	4,5	9,0		15,0	
ДСЕ, мг — экв/мл							
0,209	0,314	0,633	0,087	0,183		0,204	
ДСЕ, мг — экв/г							
1,162	1,743	3,515	0,422	0,878		0,979	

В соответствии с разработанными [2, 3] схемами механизма сорбции ионов металлов на модифицированных лигандами анионитах и с учетом состояния ионов титана (IV), ванадия (IV) [1], ЭДТА и НТА [11] в условиях проведения экспериментов, доминирующий механизм сорбции ионов этих металлов в изученных хроматографических системах может быть представлен уравнениями:



где  $\text{Y}^{4-}$ -анион ЭДТА,  $\text{X}^{3-}$ -анион НТА,  $\text{R}^+$ -условный микрокатион анионита, компенсирующий один отрицательный заряд сорбируемого анионного комплекса.



На основании приведенных в таблицах 1 и 2 данных оптимальными условиями сорбции титана (IV) и ванадия (IV) в изученных системах следует считать:

$U = 0,5 - 2,5 \text{ см/мин}$ ;  $c = 0,2 - 1,0 \text{ мг/мл}$ ;  $\text{pH} = 1,0 - 2,5$ ;  $h = 9 - 15 \text{ см}$ , — при сорбции титана (IV);

$U = 0,5 - 2,5 \text{ см/мин}$ ;  $c = 0,1 - 0,5 \text{ мг/мл}$ ;  $\text{pH} = 2$ ;  $h = 9 - 15 \text{ см}$ , — при сорбции ванадия (IV).

В этих же системах наиболее эффективным сорбентом для титана (IV) следует считать ЭДТА-форму анионита АВ—17, а для ванадия (IV) — НТА-форму анионита АВ—16.

Проведенное методом прерывания процесса сорбции в динамических условиях определение механизма кинетики сорбции показало, что в изученных хроматографических системах при оптимальных условиях сорбции кинетика этого процесса лимитируется диффузией внутри зерна сорбента.

Полученные нами результаты свидетельствуют о целесообразности использования изученных хроматографических систем для извлечения титана (IV) и ванадия (IV) из разбавленных растворов, а также для разработки хроматографических методов их разделения и отделения от ионов сопутствующих металлов.

Грузинский политехнический институт  
им. В. И. Ленина

Поступило 05.04.1985

Ф. БРУЧЕК, М. М. КАРИАУЛИ, А. ГОЗАЛОВ

ტბილის და ვანაურის სორბია კომპლექსონით მოღიცილებულ  
ანიონიტები

რეზიუმე

დინამიკურ პირობებში შესწავლილია პეროქსიტიანილის და ვანადილის იონების სორბციის პროცესები AB—16 და AB—17 ანიონიტების ეთილენდიმინტრაციეტატურის და ნიტრილოტრიაციეტატური ფორმებზე. გამოვლინებულია სორბციის ოპტიმალური პირობები და შესწავლილია ქრომატოგრაფიული სისტემების გამოყენების შესაძლებლობა ტიტანის (IV) და ვანადიუმის (IV) ვანზავებული ხსნარებიდან მოწმობისათვის და თანხლები შეტანების იონებისაგან მათი დაცილების ქრომატოგრაფიული მეთოდების შემუშავებისათვის.

F. I. BROUCHEK, M. M. KARIAULI, A. L. GOZALOV

## TITANIUM AND VANADIUM SORPTION ON MODIFIED ANIONITE COMPLEXONES

### Summary

The processes of peroxytitanyl<sup>+</sup> ions sorption on ethylenediaminetetraacetate forms and of vanadium ions on nitrilotriacetate forms of AB—16 and AB—17 anionites have been studied under dynamic conditions. Optimum conditions of sorption are found and the possibility of chromatographic systems application for titanium (IV) and vanadium (IV) extraction from dilute solutions is determined as well as the development of chromatographic methods for their separation and isolation from ions of metal impurities.

1. Бусев А. И., Типцова В. Г., Иванов В. М. Руководство по аналитической химии редких элементов, М., Химия, 1978.
2. Броучек Ф. И. Изв. АН ГССР, сер. химич., 1976, т. 2, № 4, 295.
3. Броучек Ф. И. Изв. АН ГССР, сер. химич., 1984, т. 10, № 1, 20.
4. Броучек Ф. И. Изв. АН ГССР, сер. химич., 1984, т. 10, № 3, 167.
5. Броучек Ф. И. Изв. АН ГССР, сер. химич., 1984, т. 10, № 3, 216.
6. Броучек Ф. И., Гоциридзе Ш. П., Коциашвили Е. А. Сообщения АН ГССР, 1972, т. 66, № 3, 593.
7. Броучек Ф. И., Деметрашвили Р. А., Орлова О. В. Сообщения АН ГССР, 1972, т. 68, № 1, 69.
8. Гудушаури Ц. Н., Броучек Ф. И. Изв. АН ГССР, сер. химич., 1975, т. 1, № 1, 34.
9. Броучек Ф. И., Мирианашвили М. В., Саганелидзе А. М. Сообщения АН ГССР, 1976, т. 81, № 1, 89.
10. Броучек Ф. И., Мирианашвили М. В. Изв. АН ГССР, сер. химич., 1985, т. 11, № 3, 227.
11. Пршибиль Р. Аналитические применения этилендинаминтетрауксусной кислоты и родственных соединений, М., Мир, 1975.

УДК 662.62 : 546,22

Н. Д. КАЛАНДАДЗЕ

## УСОВЕРШЕНСТВОВАНИЕ УСКОРЕННОГО МЕТОДА ОПРЕДЕЛЕНИЯ СЕРЫ В УГЛЯХ

Метод определения серы в углях по Эшку [1], сущность которого заключается в сжигании навески угля со смесью окиси магния и углекислого натрия (смесь Эшка) для превращения всех сернистых соединений в сульфаты, характеризуется высокой точностью и воспроизводимостью. Однако длительность проведения анализа снижает его ценность. Значительно сокращает время анализа ускоренный метод определения серы [2], который основан на сжигании угля в токе воздуха или кислорода при температуре  $1200 \pm 50^\circ$  с последующим улавливанием окислов серы. Но последний не обеспечивает высокую точность и надежность определения. В процессе сжигания образца не исключена возможность образования сероводорода, что является признаком неполного горения. Кроме того, в области высоких температур происходит частичное спекание твердых продуктов реакции, лимитирующее полноту выжигания серы.

В связи с этим возникает необходимость разработки более совершенного ускоренного метода, обеспечивающего высокую точность и надежность определения серы в твердом топливе. В разрезе поставленной задачи представляет интерес исследование процесса окисления серы и углерода при термической обработке угля в окислительной среде.

Из теории горения твердого топлива [3] известно, что примерно с  $300^\circ$  начинается заметное окисление угля. Этот процесс, непрерывно развиваясь, продолжается до  $700^\circ$ . Выше этой температуры резко изменяется кинетика процесса горения, сопровождающаяся воспламенением угля. Температура воспламенения пирита, который является наиболее существенным слагаемым общей сернистости углей, составляет  $460-470^\circ$  [4]. При более низких температурах пирит в основном окисляется с образованием сульфатных соединений железа без выделения окислов серы. Заметная диссоциация сульфата залеги железа происходит при температурах  $350-450^\circ$ , а сульфата окиси железа —  $\sim 500^\circ$ . Однако присутствие примесей значительно интенсифицирует процесс [5].

Ниже приведены результаты исследования процесса выгорания серы и углерода при низкотемпературной термической обработке угля в окислительной среде. Исследование подвергался высокосернистый бурый уголь Подмосковного бассейна (содержание, %: W<sup>a</sup>—19,6; A<sup>c</sup>—32,0; V<sup>e</sup>—39,1; C<sup>r</sup>—61,8; H<sup>r</sup>—6,4; S<sup>c</sup><sub>общ</sub>—6,28; в том числе: S<sup>c</sup><sub>п</sub>—4,68; S<sup>c</sup><sub>сульф</sub>—0,78; S<sup>c</sup><sub>орг</sub>—0,86).

Опыты велись в изотермических условиях в стационарной трубчатой печи в токе воздуха. Отходящие газы пропускались через поглотители для улавливания газовых продуктов реакции окисления. Результаты эксперимента оценивались определением количеств серы и углерода, выделившихся в газовую фазу.

Из приведенных данных (табл. 1) следует, что при низких температурах термической обработки угля окисление сернистых соединений протекает достаточно интенсивно. За 10 мин при  $360^\circ$  в газовую фазу

переходит  $\sim 50\%$  общей серы. С увеличением температуры обжига скорость выгорания серы интенсивно возрастает, достигая  $\sim 80\%$  при  $400^\circ$ , что указывает на значительную глубину химических превращений сернистых соединений. Обращает на себя внимание скачкообразный рост интенсивности выгорания углерода с повышением температуры обжига. Так, до  $380^\circ$  в газовую фазу переходит сравнительно небольшое количество углерода —  $\sim 18\%$ , но выше этой температуры наблюдается резкое увеличение газификации угольного вещества, составляющее более 50% при  $450^\circ$  обжига.

Таблица 1

Зависимость выгорания серы и углерода от условий обжига угля

№№	Температура обжига, °C	Время обжига, мин	Выгорело, S <sub>общ</sub>		Выгорело, C	
			% к углю	% от исходной серы	% к углю	% от исходного C
1	360	10	2,65	52,3	5,1	15,2
2	"	15	3,21	63,6	6,0	17,9
3	380	10	3,30	65,7	6,3	18,8
4	"	15	3,70	73,2	7,8	23,3
5	400	10	3,70	73,2	12,2	36,4
6	"	15	3,03	79,2	13,9	41,5
7	450	10	4,28	84,8	15,6	46,5
8	"	15	4,88	91,1	17,8	53,1

Таблица 2

Параллельные анализы общей серы в углях

№№	Наименование углей	Найдено S <sub>общ</sub> , %			Разность, %	
		Метод Эшка	Ускоренный метод	Предложенный метод	ΔS' <sub>общ</sub>	ΔS" <sub>общ</sub>
1	Донецкий "К."	2,66	2,49	2,69	-0,17	-0,03
2	Донецкий "ГЖ"	2,39	2,30	2,42	-0,09	-0,03
3	Кимовский	5,05	4,82	4,98	-0,22	-0,07
4	Новомосковский	4,50	4,27	4,45	-0,23	-0,05
5	Бельковский	4,85	4,73	4,79	-0,22	-0,06

△ S'<sub>общ</sub> = S<sub>общ</sub> по Эшка — S<sub>общ</sub> по ускоренному методу

△ S"<sub>общ</sub> = S<sub>общ</sub> по Эшка — S<sub>общ</sub> по предложенному методу

Таким образом, из приведенного материала очевидно, что в условиях низкотемпературного обжига сернистого угля происходит почти полное окисление сульфидных соединений серы до начала интенсивного горения углерода. Следовательно, если при ускоренном методе определения серы в углях сжигания образца осуществить в две ступени, ограничив температуру на первой ступени пределом  $380—400^\circ$ , создается возможность свести к минимуму вероятность образования сероводорода. Отпадает также опасность затруднения окисления серы в области высоких температур из-за спекания твердых продуктов реакции.

Ниже приведено описание хода анализа при соответствующем изменении в методике ускоренного определения серы в твердом топливе.

Лодочку с навеской угля помещают в трубку электропечи для сжигания, пропускают через систему воздух и включают электропечь. Режим сжигания образца:

I ступень:

- Подъем температуры до 380 — 400° — 3 — 4 мин.
  - Выдерживание при 380 — 400° — 13 — 15 мин.

## II ступень:

- Подъем температуры до 1000—1100° — 4—5 мин.
  - Выдерживание при 1000—1100° — 4—5 мин.

По окончании сжигания прекращают подачу воздуха, выключают электропечь и отсоединяют поглотительные склянки. Содержимое поглотительных склянок кипятят 4 мин для разложения избытка перекиси водорода и удаления  $\text{CO}_2$ , охлаждают, добавляют 2–3 капли индикатора и титруют раствором 0,05N NaOH до перехода фиолетовой окраски в зеленую. При содержании в испытуемом топливе хлора более 0,2% производят его определение для внесения поправки в результаты испытания.

В таблице 2 приведены результаты параллельных анализов содержания общей серы в разных образцах твердого топлива методом Эшка, ускоренным и усовершенствованным ускоренным методами. Сопоставление полученных данных говорит о том, что предложенное двухступенчатое сжигание навески угля существенно повышает точность и надежность определения при ускоренном методе анализа серы в углях. Расхождение между результатами параллельных определений общей серы в углях методом Эшка и усовершенствованным ускоренным методом не превышает 0,06%.

Таким образом, в результате проведенных исследований выявлено, что в условиях низкотемпературного обжига осуществляется селективное выгорание основной массы общей серы угля. Применение двухступенчатого обжига при ускоренном методе анализа серы в углях с ограничением температуры первой ступени пределом 380—400° обеспечивает высокую точность и надежность определения.

## Институт неорганической химии и электрохимии АН ГССР

Поступило 03.07.1984

ଶ୍ରୀମତୀ ପାତ୍ନୀ

ნაციონალური გოვირდის განსაზღვრის სრული მიმოწერის ხელშეკრულება

၁၂၈

შესწოლილია ნახშირებში გოგირდის განსაზღვრის სწრაფი მეთოდის სრულყოფის შესაძლებლობა. დაღვენილია, რომ ნახშირის სინჯის გამოწვების პირველ ეტაპზე ტემპერატურის  $400^{\circ}\text{--}500^{\circ}$  შეზღუდვისას ხდება გოგირდისა და ნახშირბადის დაუნგვის დიფუნქციურობა. ეს თავის მხრივ განაპირობებს გოგირდწყალბადის წარმოქმნის ალბათობის მინიმუმამდე შემცირებას და აგრეთვე თავიდან არის აცილებული რეაქციის პროცესურების შეცხობით გამოწვევისა სინერე გოგირდის დაუნგვისა. ნახშირებში გოგირდის შემცევლობის როგორც კლასიფირი, ასევე სწრაფი განსაზღვრის სრულყოფილი მეთოდებით ჩატარებული პარალელური ანალიზების შედეგები კარგად ემთხვევა ერთმანეთს, განსხვავება არ აღმარტიბა  $0,06\%$ -ს.

# IMPROVEMENT OF THE EXPRESS METHOD FOR SULFUR DETERMINATION IN COALS

## Summary

The potential improvement of the express method for sulfur determination in coals has been studied. It is found that in the temperature limit—380 to 400°, the differentiated oxidation of sulfur and carbon occurs at the first stage of a coal sample burning up. This permits to minimize the probability of hydrogen sulfide formation and to exclude difficulties of sulfur oxidation caused by caking of reaction solid products.

The results of parallel analyses of total sulfur content in coals by Eshk technique and by improved express method show a good agreement. The discrepancy between the values is not higher than 0.06%.

## ლიტერატურა — REFERENCES

1. ГОСТ 6806—72. Твердое топливо. Метод определения содержания серы.
2. ГОСТ 2059—75. Твердое топливо. Ускоренный метод определения общей серы.
3. Канторович Б. В. Основы теории горения и газификации твердого топлива, М.: изд. АН СССР, 1958.
4. Каландадзе Н. Д., Гаприндашвили В. Н. Исследование кинетики десульфуризации пирита. Сб. Переработка марганцевых и полиметаллических руд Грузии. Вып. II, Тбилиси: «Механик», 1974.
5. Позин М. Е., Гинслинг А. М. ЖПХ, 1950, XXIII, 11, с. 1149.



УДК 546.654.659.669 + 547.467

Г. В. ЦИНЦАДЗЕ, И. Г. БАЗГАДЗЕ

**СИНТЕЗ И ИК-СПЕКТРЫ ПОГЛОЩЕНИЯ КООРДИНАЦИОННЫХ  
СОЕДИНЕНИЙ ЛАНТАНОИДОВ НА ОСНОВЕ ТИОЦИАНАТОВ  
И БРОМИДОВ С ГИДРАЗИДОМ ПИКОЛИНОВОЙ  
КИСЛОТЫ (ГПК)**

Ранее [1, 2] изучены комплексные соединения некоторых элементов с гидразидом пиколиновой кислоты, указано, что тип связи металл—лиганд зависит от природы металла и ацидолиганда.

Цель нашей работы — выяснить комплексообразующие свойства этого органического лиганда с лантаноидами.

В настоящей работе кратко излагаются результаты синтеза и изучения ИК-спектров поглощения тиоцианатных и бромидных соединений лантаноидов с ГПК состава:  $\text{LnX}_3 \cdot 4\text{L} \cdot n\text{Sol}$ , где Ln — лантаноиды, X=NCS<sup>-</sup>, Br<sup>-</sup>, L — гидразид пиколиновой кислоты, a Sol — H<sub>2</sub>O или C<sub>2</sub>H<sub>5</sub>OH.

**Экспериментальная часть**

Для синтеза тиоцианатных координационных соединений лантаноидов хлориды или нитраты соответствующих металлов растворяли в 20–30 мл этанола и приливали этанольный раствор KNCS в мольном соотношении Ln: KNCS=1:3; выпавший осадок KCl или KNO<sub>3</sub> отделяли

Таблица 1  
Результаты химического анализа координационных соединений лантаноидов с гидразидом пиколиновой кислоты

Соединения	Найдено, %					Вычислено, %				
	Ln	S, Br	N	C	H	Ln	S, Br	N	C	H
1 La(NCS) <sub>3</sub> ·4L(C <sub>2</sub> H <sub>5</sub> OH) <sub>2</sub>	15,07	9,81	23,62	39,12	3,63	14,60	10,09	23,08	39,50	3,99
2 Ce(NCS) <sub>3</sub> ·4L(C <sub>2</sub> H <sub>5</sub> OH) <sub>2</sub>	14,74	9,88	22,76	38,46	3,78	14,93	10,25	22,38	38,37	4,05
3 Pr(NCS) <sub>3</sub> ·4L(H <sub>2</sub> O) <sub>5</sub>	14,84	10,74	22,50	33,70	4,34	14,81	10,11	22,08	34,07	4,20
4 Nd(NCS) <sub>3</sub> ·4L(H <sub>2</sub> O) <sub>5</sub>	14,41	10,72	22,30	35,32	3,59	15,72	10,46	22,89	35,34	3,70
5 Sm(NCS) <sub>3</sub> ·4L(H <sub>2</sub> O) <sub>5</sub>	15,22	10,52	21,10	33,50	3,57	15,66	10,01	21,86	33,50	3,95
6 Eu(NCS) <sub>3</sub> ·4L(H <sub>2</sub> O) <sub>5</sub>	15,40	10,55	21,48	34,15	3,43	15,79	10,00	21,83	33,68	3,95
7 Gd(NCS) <sub>3</sub> ·4L(H <sub>2</sub> O) <sub>5</sub>	16,66	9,94	21,05	33,10	3,07	16,25	10,50	21,71	33,49	3,82
8 Tb(NCS) <sub>3</sub> ·4L(H <sub>2</sub> O) <sub>5</sub>	16,25	9,34	21,61	33,26	3,26	16,10	9,74	21,27	32,83	3,85
9 Dy(NCS) <sub>3</sub> ·4L(H <sub>2</sub> O) <sub>5</sub>	16,01	9,90	20,97	33,10	3,00	16,10	9,51	20,82	32,12	3,76
10 Ho(NCS) <sub>3</sub> ·4L(H <sub>2</sub> O) <sub>5</sub>	17,25	10,46	20,73	33,90	3,26	16,91	9,81	21,54	33,23	3,89
11 Er(NCS) <sub>3</sub> ·4L(H <sub>2</sub> O) <sub>5</sub>	16,91	10,48	20,84	33,14	3,12	17,11	9,89	21,48	33,15	3,88
12 Tm(NCS) <sub>3</sub> ·4L(H <sub>2</sub> O) <sub>5</sub>	17,75	10,25	21,04	33,20	4,15	17,25	9,82	21,45	33,09	3,88
13 Yb(NCS) <sub>3</sub> ·4L(H <sub>2</sub> O) <sub>5</sub>	16,98	10,00	20,26	32,50	4,65	16,64	9,43	20,60	31,79	4,20
14 Lu(NCS) <sub>3</sub> ·4L(H <sub>2</sub> O) <sub>5</sub>	17,74	10,39	20,77	33,17	4,10	17,70	9,76	21,32	32,89	3,85
15 LaBr <sub>3</sub> ·4L(C <sub>2</sub> H <sub>5</sub> OH) <sub>2</sub>	13,36	23,10	16,14	33,25	3,89	13,67	24,60	16,54	33,08	3,96
16 CeBr <sub>3</sub> ·4L(C <sub>2</sub> H <sub>5</sub> OH) <sub>2</sub>	13,21	23,11	17,28	32,00	3,65	13,78	23,57	11,52	33,04	3,93
17 PrBr <sub>3</sub> ·4L(C <sub>2</sub> H <sub>5</sub> OH) <sub>2</sub>	13,50	22,93	16,23	32,10	4,05	13,94	23,55	16,51	33,00	3,93
18 NdBr <sub>3</sub> ·4L(C <sub>2</sub> H <sub>5</sub> OH) <sub>2</sub>	13,94	23,60	17,03	31,80	4,20	14,12	23,47	16,45	32,91	3,91
19 SmBr <sub>3</sub> ·4L(C <sub>2</sub> H <sub>5</sub> OH) <sub>2</sub>	14,11	23,04	16,04	31,95	4,20	14,20	23,33	16,35	32,71	3,89
20 GdBr <sub>3</sub> ·4L(C <sub>2</sub> H <sub>5</sub> OH) <sub>2</sub>	15,71	23,10	15,80	31,08	4,68	15,20	23,18	16,24	32,49	3,86
21 DyBr <sub>3</sub> ·4L(C <sub>2</sub> H <sub>5</sub> OH) <sub>2</sub>	14,88	23,79	16,34	31,16	4,00	15,63	23,06	16,16	32,33	3,84
22 HoBr <sub>3</sub> ·4L(C <sub>2</sub> H <sub>5</sub> OH) <sub>2</sub>	16,27	23,67	16,10	31,75	3,65	15,83	23,01	16,12	32,54	3,84
23 ErBr <sub>3</sub> ·4L(C <sub>2</sub> H <sub>5</sub> OH) <sub>2</sub>	16,74	23,17	15,82	32,60	3,55	16,02	22,89	16,08	32,18	3,83
24 YbBr <sub>3</sub> ·4L(C <sub>2</sub> H <sub>5</sub> OH) <sub>2</sub>	16,51	23,27	15,68	32,20	3,50	16,48	22,83	16,00	32,29	3,83

и к фильтрату добавляли этанол-изопропанольный раствор ГПК (мольное соотношение 1 : 4), приливали 40—50 мл абсолютированного эфира. После смешивания растворов выпадал осадок, который фильтровали и сушили в вакуум-экскикаторе над  $\text{CaCl}_2$ . Синтезированные соединения анализировались на металлы трилонометрически [3], серу определяли весовым сульфатным методом [4], азот, углерод, водород — по микрометоду [5] (табл. 1).

Для синтеза бромидных координационных соединений бромиды соответствующих лантаноидов растворяли в 20—30 мл этанола с нагреванием, приливали этанол-изопропанольный раствор ГПК (в мольном соотношении 1 : 4) и прибавляли 40—50 мл абсолютированного эфира. При непрерывном перемешивании сразу выделялись порошки, которые фильтровали после отстаивания, промывали эфиrom и сушили в вакуум-экскикаторе над  $\text{CaCl}_2$ . Анализ осуществляли по вышеуказанным методикам.

Полученные соединения хорошо растворяются в воде, этаноле, метаноле, ДМФА, ДМСО, частично — в бензоле, диоксане, ацетоне, вовсе не растворимы в эфире, хлороформе.

Измерены температуры плавления и молярная электропроводность полученных соединений. Значения молярных электропроводностей лежат около 500—510  $\Omega^{-1}\text{см}^2\text{моль}^{-1}$ , что указывает на то, что эти соединения в воде ионизируются на четыре иона. Температуры плавления синтезированных соединений лежат около 110—160°.

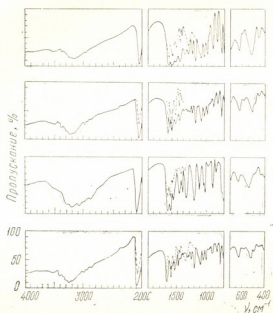


Рис. 1. ИК-спектры поглощения (400—4000  $\text{cm}^{-1}$ ) в вазелиновом масле (пунктир — во фторированном масле):  $\text{Pr}(\text{NCS})_3 \cdot 4\text{L} \cdot (\text{H}_2\text{O})_5$  (1),  $\text{Sm}(\text{NCS})_3 \cdot 4\text{L} \cdot (\text{H}_2\text{O})_5$  (2),  $\text{Gd}(\text{NCS})_3 \cdot 4\text{L} \cdot (\text{H}_2\text{O})_5$  (3),  $\text{Tb}(\text{NCS})_3 \cdot 4\text{L} \cdot (\text{H}_2\text{O})_5$  (4)

ИК-спектры поглощения (400—4000  $\text{cm}^{-1}$ ) записывали на спектрофотометре UR-20. Использовали обычный метод растирания образцов с вазелиновым и фторированным маслами. Некоторые из полученных спектров представлены на рис. 1 и 2.

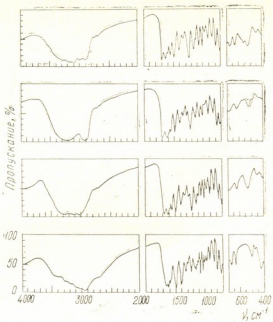


Рис. 2. ИК - спектры поглощения в вазелиновом масле:  
 $\text{LaBr}_3 \cdot 4\text{L} \cdot (\text{C}_2\text{H}_5\text{OH})_2$  (1),  $\text{PrBr}_3 \cdot 4\text{L} \cdot (\text{C}_2\text{H}_5\text{OH})_2$  (2),  
 $\text{GdBr}_3 \cdot 4\text{L} \cdot (\text{C}_2\text{H}_5\text{OH})_2$  (3),  $\text{YbBr}_3 \cdot 4\text{L} \cdot (\text{C}_2\text{H}_5\text{OH})_2$  (4)

### Обсуждение результатов

В ИК-спектрах тиоцианатных и бромидных координационных соединений лантаноидов с ГПК полосы валентного колебания связей  $\text{NH}$ , обнаруженные в области  $\sim 3200$ — $3000 \text{ см}^{-1}$ , расщеплены на несколько компонент. Судя по значениям высокочастотных компонент  $\nu(\text{NH})$ , они занижены по сравнению с частотами свободного лиганда примерно на  $\sim 40$ — $50 \text{ см}^{-1}$ , что предполагает координацию лиганда через атом азота гидразидных групп. Интенсивные полосы «амид—I», найденные в области  $\sim 1668$ — $1662 \text{ см}^{-1}$ , по сравнению с соответствующей частотой свободного лиганда занижены на  $\sim 10$ — $20 \text{ см}^{-1}$ . Это указывает на координацию органического лиганда через атомы кислорода. Полосы поглощения в области  $\sim 3540$ — $3570 \text{ см}^{-1}$  можно отнести к валентным колебаниям  $\nu(\text{OH})$  некоординированных молекул воды. Во всех тиоцианатных соединениях интенсивные полосы  $\nu(\text{CN})$  обнаруживаются в области  $\sim 2068$ — $2080 \text{ см}^{-1}$ , понижение высокочастотной компоненты  $\nu(\text{CN})$  указывает на входжение тиоцианатогрупп во внутреннюю сферу комплексов [6], и они присоединены к атомам металлов через атом азота. В ИК-спектрах бромидных координационных соединений интенсивные полосы «амид—I» найдены в области  $\sim 1678 \text{ см}^{-1}$ ; смещение незначительное по сравнению с соответствующей частотой свободного лиганда. Это обстоятельство отрицает участие в координации кислорода карбонильных групп с металлами. В координационных соединениях  $\nu_{\text{кольца}}$  проявляются около  $1600 \text{ см}^{-1}$  и повышены по сравнению с  $\nu_{\text{кольца}}$  некоординированных молекул ГПК ( $\nu_{\text{кольца}} \sim 1597 \text{ см}^{-1}$  для некоординированного лиганда). Это обстоятельство указывает на координацию молекул ГПК с металлами через атомы азота гетероцикла. В бромидных координационных соединениях в области

~3330—3350 см<sup>-1</sup> обнаруживаются полосы, относящиеся к ν(OH) лекул этианола.

Таким образом, в исследованных нами соединениях молекулы ТНК бидентатны и образуют пятичленные (в случае тиоцианатов) и шестичленные (в случае бромидов) металлоциклы.

Грузинский политехнический  
институт им. В. И. Ленина

Поступило 03.12.1984

გ. ცინცაძე, ი. ბაზგაძე

ვიკოლინის მეთას პიფრაზილთან ლანთანიდების თიოციანაზებისა და გროვილების  
კოორდინაციული ნაერთების ინფრაწილები სპექტრები. დადგენილია, რომ თიო-  
ციანაზურ ნაერთებში პიფრაზინის მეთას პიდრაზიდის მოლეკულები ბიდენ-  
ტრატურია და წარმოქმნის ხუთწევრიან, ხოლო ბრომიდების შემთხვევაში —  
ექვსწევრიან მეტალოციულს. თიოციანაზის გვუფები ლანთანიდებს აზოტის  
ატომით უკავშირდება.

რეზიუმე

სინთეზირებულია ლანთანიდების თიოციანაზებისა და ბრომიდების კო-  
ორდინაციული ნაერთები პიფრაზინის მეთას პიდრაზიდთან. შესწავლილია  
აღნიშვნული ნაერთების ინფრაწილები სპექტრები. დადგენილია, რომ თიო-  
ციანაზურ ნაერთებში პიფრაზინის მეთას პიდრაზიდის მოლეკულები ბიდენ-  
ტრატურია და წარმოქმნის ხუთწევრიან, ხოლო ბრომიდების შემთხვევებში —  
ექვსწევრიან მეტალოციულს. თიოციანაზის გვუფები ლანთანიდებს აზოტის  
ატომით უკავშირდება.

G. V. TSINTSADZE, I. G. BAZGADZE

## SYNTHESIS AND IR-SPECTRA OF ABSORPTION OF COORDINATION COMPOUNDS OF LANTHANOIDES ON THE BASIS OF THIOCYANATES AND THOSE OF BROMIDES WITH PYCOLINIC ACID HYDRAZIDE (PAH)

### Summary

Thiocyanate and bromide coordination compounds of lanthanoides with PAH have been obtained. Melting points, molar electric conductivity of aqueous solutions, solubility in different solvents were determined, IR-spectra of absorption were studied, routes of coordination of ligands with metals were found. PAH molecular were bidentate and form five member (in the case of thiocyanates) and six member (in the case of bromides) metallcycles.

### ЛІТЕРАТУРА — REFERENCES

1. Цивадзе А. Ю., Цинцадзе Г. В., Петриашвили Ж. Д., Харитонов Ю. Я. Коорд. химия, 1977, т. 3, № 7, с. 1052.
2. Цивадзе А. Ю., Цинцадзе Г. В., Петриашвили Ж. Д., Харитонов Ю. Я. Коорд. химия, 1978, т. 4, № 1, с. 48.
3. Пршибил Р. Комплексоны в химическом анализе, ИЛ., М., 1960, с. 313.
4. Шарло Г. Методы аналитической химии. М.: Химия, 1969, с. 952.
5. Климова В. А. Основные микрометоды анализа органических соединений, М.: Химия, 1967.
6. Цинцадзе Г. В., Цивадзе А. Ю., Джашишвили Т. К. Смешанные псевдогалогенидные и псевдогалогенидгалогенидные соединения металлов. Тбилиси, Мецниреба, 1981.

## ОРГАНИЧЕСКАЯ ХИМИЯ

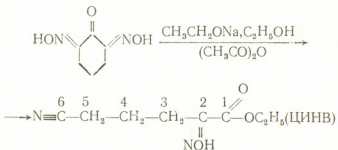
УДК 547.466 : 542.941.7

Д. Д. ГОГОЛАДЗЕ, Е. С. ЛЕВИТИНА, Л. К. КАИГОРОДОВА, Л. Ф. ГОДУНОВА,  
Е. И. КАРПЕЙСКАЯ, Е. И. КЛАБУНОВСКИЙ, Г. О. ЧИВАДЗЕ

# ГИДРИРОВАНИЕ ЭТИЛОВОГО ЭФИРА 5-ЦИАНО-2-ОКСИМИНОВАЛЕРИАНОВОЙ КИСЛОТЫ НА ПАЛЛАДИЕВЫХ КАТАЛИЗАТОРАХ

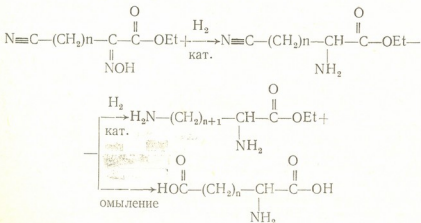
Этиловый эфир 5-циано-2-оксиминовалериановой кислоты (ЦИНВ) может быть получен [1] перегруппировкой соответствующего диоксиминокетона по схеме:

### Схема 1



Путем варьирования величины цикла диоксиминокетона можно получать эфиры цианооксиминокислот с различным количеством  $\text{CH}_2$ -групп в цепи. Селективное гидрирование оксимино-группы в таких эфирах открывает возможность синтеза как  $\alpha$ ,  $\omega$ -диаминокислот, так и дикарбоновых по схеме 2:

Схема 2



При гидрировании ЦИНВ в ацетангидриде с добавкой основания на скелетном Ni легко восстанавливаются как циано-, так и оксимино-группы [2], в результате чего с количественным выходом образуется



эфир диацетиллизина. Восстановление нитрилов и оксинов до первичных аминов обычно проводят под действием Pd и Pt-катализаторов [3]. Использование катализаторов платиновой группы для гидрирования ЦИНВ не привело к получению производных лизина [2]. Целью настоящей работы является поиск условий селективного гидрирования оксиминогруппы в молекуле ЦИНВ под действием Pd — катализаторов.

С целью осуществления селективного гидрирования оксиминогруппы в ЦИНВ нами исследовались Pd-катализаторы, нанесенные на  $\text{SiO}_2$  при использовании различных систем растворителей:  $\text{EtOH}-\text{H}_2\text{O}-\text{HCl}$ ,  $\text{H}_2\text{O}-\text{HCl}$ ,  $\text{H}_2\text{O}$ , дioxсан — (ДО) —  $\text{HCl}$ . Оказалось, что растворитель влияет на состав продуктов, образующихся в реакции (табл.).

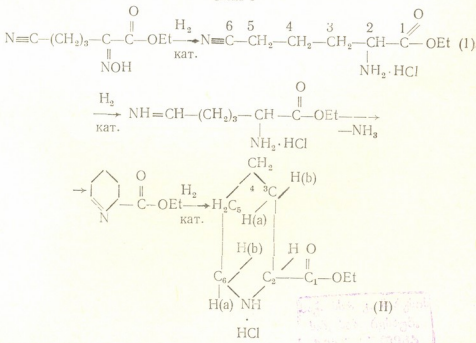
Таблица 1

Влияние соотношения  $\text{H}_2\text{O}/\text{C}_2\text{H}_5\text{OH}$  на выход [1] ( $\text{HCl} = 3,6$  ммоль; кат. — 0,7% Pd/ $\text{SiO}_2$  — 0,4 г; ЦИНВ — 2 ммоль;  $T = 50^\circ$ ;  $P_{\text{H}_2} = 120$  атм)

$\text{C}_2\text{H}_5\text{OH}$ , моль	$\text{H}_2\text{O}$ , моль	$\text{H}_2\text{O}/\text{C}_2\text{H}_5\text{OH}$	Продукты реакции		
			I	II	ЦИНВ
0,16	0,026	0,162	—	—	100
0,124	0,165	1,33	8	42	50
0,083	0,238	2,86	40	40	20
0,041	0,443	10,80	50	40	10
—	0,55	—	50	50	—

1). На катализаторе 0,7% Pd/ $\text{SiO}_2$  в среде  $\text{EtOH}-\text{H}_2\text{O}-\text{HCl}$ , где содержание воды незначительно (мольное соотношение  $\text{H}_2\text{O}/\text{EtOH} = 0,162$ ), реакция не протекает. При резком увеличении количества  $\text{H}_2\text{O}$  (соотношение  $\text{H}_2\text{O}/\text{EtOH} = 1,33$ ) имеет место 50%-ная конверсия ЦИНВ. При этом образуется эфир 5-циано-2-аминовалериановой кислоты (I) и этиловый эфир пипеколиновой кислоты (II) с выходами соответственно 8 и 42%. Дальнейшее увеличение количества  $\text{H}_2\text{O}$  способствует повышению выхода (I). Образование (II) можно представить схемой 3:

Схема 3



По-видимому, в данных условиях происходит частичное восстановление циано-группы, замыкание цикла с отщеплением аммиака и, следующее восстановление C=N-связи в цикле с образованием (II). Отщепление аммиака свидетельствует наличие  $\text{NH}_4\text{Cl}$  в реакционной смеси. Образование (II) доказано методами ИК- и ПМР-спектроскопии с применением двойного резонанса.

Исследование влияния давления на выход целевого продукта (I), проведенное в соляной кислоте, показало (табл. 2), что повышение давления до 100 атм способствует увеличению выхода (I) до 50%, но при этом также увеличивается выход (II). Дальнейшее повышение давления до 120 атм не влияет на процесс. Результаты по исследованию влияния концентрации HCl на выход (I) приведены на рис. 1а, из которого вид-

Таблица 2

Влияние давления на гидрирование ЦИНВ  
(ЦИНВ — 2 ммоль; 0,36 N HCl — 10 мл;  
0,7% Pd/SiO<sub>2</sub> — 0,400 г; T — 50°)

P <sub>H<sub>2</sub></sub>	Продукты реакции		
	I	II	ЦИНВ
60	40	23	37
80	45	40	15
100	52	48	—
120	50	50	—

но, что максимальный выход (I) — 70% наблюдается при использовании 0,24 N HCl. Дальнейшее увеличение концентрации приводит к уменьшению выхода (I). Проведение реакции в 2 N HCl приводит к перегруппировке ЦИНВ в глутаронитрил, продукт (I) не обнаружен. Изменение как количества нанесенного Pd, так и удельной поверхности

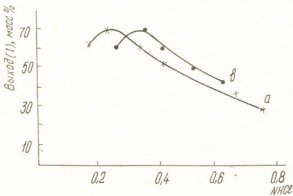
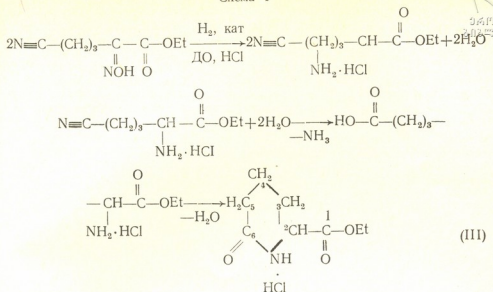


Рис. 1. Зависимость выхода [I] от концентрации HCl. T — 50°; P<sub>H<sub>2</sub></sub> — 100 атм; ЦИНВ — 2ммоль; HCl — 10 мл; а — 0,7% Pd/SiO<sub>2</sub>, SiO<sub>2</sub> — уд. поверхность 700 м<sup>2</sup>; в — 1,1% Pd/SiO<sub>2</sub>, SiO<sub>2</sub> — уд. поверхность 700 м<sup>2</sup>

SiO<sub>2</sub> существенно не влияет на ход реакции (рис. 1в), и результаты, полученные на обоих катализаторах, сопоставимы.

Использование ДО в качестве растворителя показало, что в нем реакция гидрирования ЦИНВ не идет. Добавление в ДО 2—10 молей HCl на 1моль ЦИНВ приводит к образованию с 8% выходом этилового эфира лактама  $\alpha$ -аминоадипиновой кислоты (III) и продуктов осмоляния. Образование (III) можно представить схемой 4:

Схема 4



Добавление 2–10 молей  $\text{H}_2\text{O}$  в ДО– $\text{HCl}$  способствует увеличению выхода (III) до 40%. В отличие от гидрирования ЦИНВ реакция его ацетоксимино-производного (Ас–ЦИНВ) в ДО (табл. 3) протекает на

Таблица 3

## Гидрирование ЦИНВ и Ac—ЦИНВ

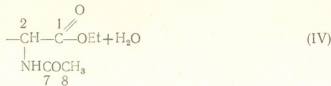
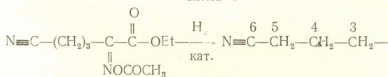
(субстрат — 2 ммоль; катализатор — 0,5 г; растворитель — 10 мл)

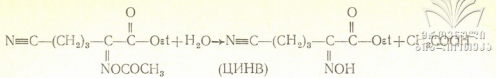
Катализа- тор	Субстрат	Раствори- тель	T	P	Время гидри- рован, ч	Конвер- сия, %	Выход , %
Pd/SiO <sub>2</sub> 1,1% (A)	Ac — ЦИНВ	ДО	30	100	5	50	50
"	"	"	50	120	10	50	50
"	ЦИНВ	Ac <sub>2</sub> O	50	100	5	66	66
"	"	"	70	120	5	100	60
0	"	"	50	100	10	90	90
B*)	"	"	50	100	5	100	60
"	"	"	30	100	5	95	95

\*) B — / SiO<sub>2</sub> / (CH<sub>3</sub>)<sub>3</sub>NH<sub>2</sub>Pd(OAc)<sub>2</sub>

50% с образованием этилового эфира 5-циано-2-N-ациламиновалериановой кислоты (IV) и, кроме того, в реакционной смеси присутствует 50% ЦИНВ (схема 5):

Cxema 5





По-видимому, ацилирование  $\text{C}=\text{NOH}$ -группы облегчает восстановление  $\text{C}=\text{N}$ -связи. Для проверки этого предположения было проведено гидрирование ЦИНВ в  $\text{Ac}_2\text{O}$  в различных условиях при использовании катализаторов двух типов: 1,1%  $\text{Pd}/\text{SiO}_2$  (A),  $\text{SiO}_2-(\text{CH}_2)_3\text{NH}_2-\text{Pd}(\text{OAc})_2$  (B). Проведение реакции при  $50^\circ$  и 100 атм на катализаторе A привело к получению (IV) с выходом 90%. Повышение температуры до  $70^\circ$  и давления до 120 атм снижало выход (IV) за счет частичного гидрирования циано-группы. При проведении реакции при  $30^\circ$  и давлении 100 атм с использованием катализатора B достигнут максимальный выход (IV) — 95%. Это позволяет сделать вывод, что данный катализатор проводит селективное гидрирование оксиминно-группы в ЦИНВ в указанных условиях.

### Экспериментальная часть

Спектры ПМР и ЯМР  $\text{C}^{13}$  снимали на спектрометре Bruker WM—250. ИК-спектры снимали на спектрофотометрах UR—20.

Для приготовления нанесенных палладиевых катализаторов 0,1 ммоль  $\text{Pd}(\text{OAc})_2$  растворяли в 50 мл ацетона и перемешивали в течение 15 мин с 1 г  $\text{SiO}_2$ . Силикагель предварительно нагревали при  $500^\circ$  в течение 5 часов при остаточном давлении 1,33 Па. Ацетон удаляли на роторном испарителе, сухой остаток слоем в 1 см помещали в стеклянную трубку и продували водородом. После почернения катализатора  $\text{H}_2$  пропускали еще 30 мин. Аминированный силикагель готовили по методике [4]. 1 г аминированного силикагеля перемешивали с 0,1 ммолями  $\text{Pd}(\text{OAc})_2$ , растворенного в ацетоне (эфир, бензол), в течение 40 минут. Катализатор отфильтровывали, промывали и высушивали на воздухе.

Этиловый эфир 5-циано-2-оксиминовалериановой кислоты (ЦИНВ) получен по [1] с т. пл.  $74^\circ$  из  $\text{CCl}_4$ . ИК в  $\text{CHCl}_3$  ( $\nu$  см $^{-1}$ ): 3560; 3300 шир. (OH); 2250 (C≡N); 1640 сл. (C = N); 1720 (C = O сл. эф.) ПМР в  $\text{CDCl}_3$  ( $\delta$  м. д.) 1,35 тр. ( $I=7,5$  Гц)  $\text{OCH}_2\text{CH}_3$ ; 1,93 пент. ( $I=7,5$  Гц) C (4)  $\text{H}_2$ ; 2,40 тр. ( $I=7,5$  Гц) C (3)  $\text{H}_2$ ; 3, 76 тр. ( $I=7,5$  Гц) C (5)  $\text{H}_2$ ; 4,23 кв. ( $I=7,5$  Гц)  $\text{OCH}_2\text{CH}_3$ , 7,92 с. (OH).

0,368 г ЦИНВ, 0,4 г 0,7%  $\text{Pd}/\text{SiO}_2$  и 10 мл 0,24 N HCl помещали в стеклянную ампулу и гидрировали при  $50^\circ$  и под давлением  $\text{H}_2$  120 атм в течение 6 часов. Катализатор отфильтровывали, промывали 20 мл  $\text{H}_2\text{O}$ , фильтрат упаривали в вакууме, к полученному кристаллизующемуся маслу добавляли 20 мл ацетона, образовавшиеся кристаллы отфильтровывали, идентифицировали как хлоргидрат этилового эфира пипекалиновой кислоты (II).  $T_{\text{пл.}} -191-193^\circ$ .

ПМР СД<sub>3</sub>ОД ( $\delta$  м. д.) 1,26 тр. ( $I=7,5$  Гц)  $\text{OCH}_2\text{CH}_3$ ; 1,60 — 1,90 м C (3,4) C (3) H ( $\delta$ ); 2,24 д. ( $I=12,2$  Гц), C (3) H (a); 3,00 д. т. C (6) H ( $\delta$ ); 3,36 д. ( $I=12,2$  Гц) C (6) H (a); 3,96 д. д. ( $I=12,2$  Гц) C (2) H; 4,25 кв. ( $I=7,5$  Гц)  $\text{OCH}_2\text{CH}_3$ .

Фильтрат упаривали и получали маслянистое вещество с выходом 70%, которое идентифицировали как хлоргидрат этилового эфира 5-циано-2-аминовалериановой кислоты [1]. ПМР СД<sub>3</sub>ОД ( $\delta$  м. д.) 1,28 тр. ( $I=7,8$  Гц)  $\text{OCH}_2\text{CH}_3$ ; 1,60—2,08 м C (3,4)  $\text{H}_2$ ; 2,52 тр. ( $I=6,1$  Гц) C (5)  $\text{H}_2$ ; 4,04 тр. ( $I=6,1$  Гц) C (2) H; 4,25 кв. ( $I=7,8$  Гц)  $\text{OCH}_2\text{CH}_3$ ; ИК-спектр ( $\text{CHCl}_3$ ,  $\nu$  см $^{-1}$ ) 1740 (C=O сл. эф.) 2250 (—C≡N).

0,368 г ЦИНВ, 1,1% Pd/SiO<sub>2</sub> — 0,400 г, 10 мл ДО, насыщенного HCl (1 мл ДО, 0,266 г HCl) и 0,18 мл H<sub>2</sub>O помещали в стеклянную ампулу и гидрировали 6 часов при 50° под давлением H<sub>2</sub> — 100 атм. Катализатор промывали 20 мл C<sub>2</sub>H<sub>5</sub>OH. Фильтрат упаривали и к осадку добавляли 20 мл ацетона. Выпавшие кристаллы отфильтровывали, получали хлоргидрат этилового эфира аминоадипиновой кислоты (III) с 40% выходом T<sub>пл.</sub> — 197—199°.

ПМР СД<sub>3</sub>OD (δ м. д.) 1,25 тр. (I = 7,5 Гц) OCH<sub>2</sub>CH<sub>3</sub>; 1,76 м С (4) H<sub>2</sub>; 2,20 м С (3) H<sub>2</sub>, 2,75 д. д. (I = 6 Гц) С (5) H<sub>2</sub>; 4,22 кв (I = 7,5 Гц) OCH<sub>2</sub>CH<sub>3</sub>; 4,48 д. д. (I = 3,7 Гц) С (2) H. ЯМР С<sup>13</sup> D<sub>2</sub>O + CH<sub>3</sub>OH (δ м. д.) 14,4 OCH<sub>2</sub>CH<sub>3</sub>; 16,1 С (4); 27,0 С (3); 27,2 С (5); 64,6 OCH<sub>2</sub>CH<sub>3</sub>; 64,7 С (2); 164,7 С (1) 171,5 С (6); ИК-спектр (КВг в см<sup>-1</sup>) 1740 (C=O сл. эф.) 1660 (C=O лакт.).

0,5 г аминированного силикагеля (SiO<sub>2</sub>) (CH<sub>2</sub>)<sub>3</sub>NH<sub>2</sub> и Pd(OAc)<sub>2</sub>, ЦИНВ 0,368 г и Ac<sub>2</sub>O — 10 мл помещали в стеклянную ампулу и гидрировали в течение 5 час при 30° и РН<sub>2</sub> — 100 атм. Катализатор отфильтровывали, промывали 10 мл Ac<sub>2</sub>O и фильтрат упаривали. Вход этилового эфира 5-циано-2-N-ациламиновалериановой кислоты (IV) 95%, желтое масло. ПМР СДCl<sub>3</sub> (δ м. д.) 1,30 тр. (I = 7,5 Гц) OCH<sub>2</sub>CH<sub>3</sub>; 1,75 м С (3—4) H<sub>2</sub>; 2,05 с С (8) H<sub>2</sub>; 2,44 тр. (I = 6,6 Гц) С (5) H<sub>2</sub>; 4,24 кв. (I = 7,5 Гц) OCH<sub>2</sub>CH<sub>3</sub>; 4,64 кв С (2) H; 6,14 д. (I = 7,5 Гц) NH.

ИК-спектры в CHCl<sub>3</sub> (ν см<sup>-1</sup>) 1740 (C=O сл. эф.); 1680 (амид I) 1520 (амид II); 2250 (C≡N).

Институт органической химии им. Н. Д. Зелинского АН СССР,  
г. Москва

Институт физической химии им. П. Г. Меликишвили  
АН ГССР, г. Тбилиси

Поступило 30.01.1985

დ. გოგოლაძე, ე. ლევითინა, ლ. კაიგოროვა, ლ. გოდუნოვა, გ. ჭავაძე  
გ. გლაბულოვაძე, ბ. ჩხვაძე

5-ციანო-2-ოქიმინოვალერიანის გაზვანი ეთილის ვიდრივება  
კალიფირების გამოსავლით

#### რეზიუმე

შესწავლით 5-ციანო-2-ოქიმინოვალერიანის მევას ეთილის ვიდრივება რომ 50°, P<sub>H<sub>2</sub></sub> = 100 ატ., [SiO<sub>2</sub>] (CH<sub>2</sub>)<sub>3</sub>NH<sub>2</sub> · Pd(OAc)<sub>2</sub> კატალიზატორზე 95%-იანი გამოსავლით მიღება 5-ციანო-2-N-აცეტილამინოვალერიანის მევას ეთილის ვიდრივება.

D. D. GOGOLADZE, E. S. LEVITINA, L. K. KAIGORODOVA, L. F. GODUNOVA  
E. I. KARPEISKAYA, E. I. KLABUNOVSKI, G. O. CHIVADZE

#### HYDRATION OF ETHYL ETHER OF 5-CYANO-2-OXIMINOVALERIAN ACID ON PALLADIUM CATALYSTS

##### Summary

Selective hydration of ethyl ether of 5-cyano-2-oximinovalerian acid on Pd-catalysts has been studied. It's shown that ethyl ether of 5-cyano-2-N-acetylaminovalerian acid is obtained on [SiO<sub>2</sub>] (CH<sub>2</sub>)<sub>3</sub>NH<sub>2</sub> · Pd(OAc)<sub>2</sub> catalyst with the 95% yield at T = 50°, P = 100 atm.



1. Ferris, A. F., Johnson G. S., Gould F. E., Stange H. K., J. Org. Chem., 1960, 25, 1302.
2. Ferris A. F., Johnson G. S., Gould F. E., J. Org. Chem., 1960, 25, 492.
3. Augustine R. L. Catalytic Hydrogenation, Dekker, N-Y, 1965, pp. 96—102.
4. Семикаленов В. А., Лихолобов В. А., Ермаков Ю. И. Сб. Катализаторы, содержащие нанесенные комплексы, Новосибирск, 1977.



## ФІЗИЧЕСКАЯ ХІМІЯ

УДК 543.544

Т. Г. АНДРОНИКАШВІЛИ, А. Ю. КРУПЕННИКОВА, Н. Г. ОКУДЖАВА,  
Л. Я. ЛАПЕРАШВІЛИ, Л. Г. МГЕБРИШВІЛИ

ІССЛЕДОВАНИЕ ВЛИЯНИЯ ТВЕРДОГО НОСИТЕЛЯ НА  
РАЗДЕЛИТЕЛЬНЫЕ СВОЙСТВА НЕПОДВИЖНОЙ ФАЗЫ

В настоящее время в качестве твердого носителя в газовой хроматографии используются различные пористые материалы как органического, так и неорганического происхождения. Среди них особое значение приобрели соответствующим образом обработанные диатомиты. Однако при всей многочисленности методов модификации, даже для диатомитовых носителей характерно проявление каталитической и адсорбционной активности [1—3].

Отечественные носители жидких фаз пока в известной степени уступают по эффективности лучшим зарубежным образцам, что обусловлено в основном сравнительно высокой адсорбционной и каталитической активностью отечественных носителей, а также неоднородностью их пористой структуры.

Таким образом, получение высокоэффективных и в достаточной степени инертных носителей все еще остается важной задачей современной газовой хроматографии.

Синтезированный нами новый твердый носитель на основе перлита — Перлсорб I, отличается незначительной адсорбционной и каталитической активностью, низкой насыпной плотностью и значительной механической прочностью.

В качестве исходного сырья был использован породообразующий минерал вулканического происхождения — перлит, богатое месторождение которого расположено на территории Грузии.

После предварительной обработки исходного сырья получали порошкообразное вещество, которое в пересчете на сухой остаток содержит 98—98,5%  $\text{SiO}_2$  и 2—1,5%  $\text{Na}_2\text{O}$ .

Затем осадок прокаливался при температуре 873—973 К в течение 6 часов до спекания. Полученная глыба размельчалась до необходимого зернения и представляла собой готовый твердый носитель.

Хроматографические свойства твердого носителя, изготовленного указанным выше способом, исследовались на хроматографе марки «ЛХМ—8МД». Длина колонки 2 м, диаметр 3 мм, детектор работал по принципу измерения теплопроводности. В качестве газа-носителя применялся гелий (объемная скорость 25 мл/мин).

После удаления влаги на гранулы наносилась жидккая фаза — Полиэтиленгликоль — 2000 в количестве 10% от веса твердого носителя.

Для сравнения в идентичных условиях были изучены хроматографические свойства диатомитовых твердых носителей. С этой целью были исследованы диатомитовые носители зарубежного производства — Хромосорб W, Хроматон N и диатомитовые носители отечественного производства Динохром II и Цветохром ИК.

В качестве модельных изучались смеси предельных ( $\text{C}_6$ — $\text{C}_{10}$ ), ароматических (бензол, толуол, этилбензол, кумол, псевдокумол) углеводородов, кетонов (ацетон, метилэтилкетон, метилпропилкетон, метилбутилкетон, циклопентанон, циклогексанон) и эфиров (диэтиловый эфир, диглицериловый эфир, этиловый эфир уксусной кислоты).

Последовательность элюирования компонентов соответствовала увеличению температур кипения этих соединений.

На рис. I—4 представлены хроматограммы разделения указанных выше соединений.

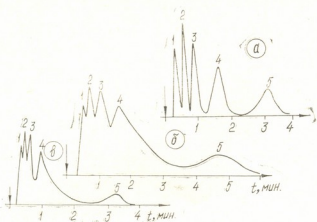


Рис. 1. Хроматограмма смеси предельных углеводородов. 1—тексан, 2—гептан, 3—октан, 4—нонан, 5—декан. а) Перлсорб 1; б) Динохром II; в) Хромосорб W

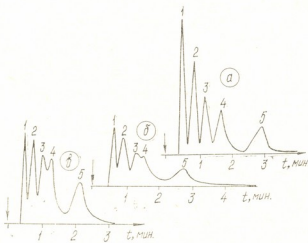


Рис. 2. Хроматограмма смеси ароматических углеводородов. 1—бензол, 2—толуол, 3—этилбензол, 4—кумол, 5—псевдокумол. а) Перлсорб 1, б) Цветохром ИК; в) Хроматон N

Так при разделении шестикомпонентной смеси кетонов на диатомитовых твердых носителях с использованием вышеуказанной неподвижной фазы имеет место проявление на хроматограмме 5 пиков; метилпропильтетон и метилбутильтетон вымываются одним пиком, не разделяясь. То же самое можно сказать и насчет трехкомпонентной системы эфиров: не происходит разделение динэтилового и динизопропиолового эфиров, в то время как на твердых носителях перлитового происхождения эти смеси полностью разделяются. По-видимому, это связано со взаимодействием этих соединений с каталитически и адсорбционно более активными твердыми носителями диатомитового происхождения.

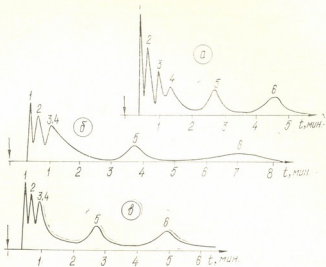


Рис. 3. Хроматограмма смеси кетонов. 1 — ацетон, 2 — метил-этилкетон, 3 — метилпропилкетон, 4 — метилбутилкетон, 5 — цикlopентанон; 6 — циклогексанон. а) Перлсорб I; б) Цветохром ИК, в) Хромосорб W

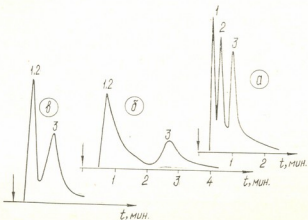


Рис. 4. Хроматограмма смеси эфиров. 1 — диэтиловый эфир, 2 — динизопропиленовый эфир, 3 — этиловый эфир уксусной кислоты. а) Перлсорб I, б) ДиноХром II, в) Хромосорб W

Расчет коэффициентов разделения (табл. 1, 2) и селективности (табл. 3, 4) отдельных бинарных смесей показал [4], что наиболее высокие значения получены для образцов, изготовленных на основе перлита.

В целом, из проведенного исследования следует, что твердый носитель Перлсорб I по своим разделительным свойствам по отношению к веществам различных классов превосходит известные твердые носители зарубежных и отечественных марок.

Таблица 1

Коэффициенты разделения (Кр) отдельных бинарных смесей предельных и ароматических углеводородов. Температура колонки  $T_k = 373$  К

Предельные и ароматические углеводороды	Коэффициенты разделения (Кр)				
	Перл-сорб I	Цветохром IK	Динохром II	Хромосорб W	Хроматон N
Гексан — гептан	5,25	0,62	1	1,93	1,84
Гептан — октан	3,33	1,25	0,44	0,63	0,59
Октан — nonан	2,95	1,6	0,63	1,52	1,43
Nonан — декан	2,60	2,18	1,52	2,39	2,12
Бензол — толуол	6,50	1,19	0,98	1,79	1,18
Толуол — этилбензол	4,23	0,76	0,82	1,52	1,28
Этилбензол — кумол	1,56	—	0,39	0,46	1,67
Кумол — псевдокумол	1,95	1,05	1,29	1,68	1,92

Коэффициенты разделения (Кр) бинарных смесей кетонов ( $T_k = 333$  К) Таблица 2

Кетоны и эфиры	Коэффициенты разделения (Кр)				
	Перл-сорб I	Цветохром IK	Динохром II	Хромосорб W	Хроматон N
Ацетон — метилэтилкетон	5,25	2	1,16	1,57	2,68
Метилэтил — метилпропилкетон	2,55	0,82	0,61	0,79	1,034
Метилпропил — метилбутилкетон	1,13	0,12	0,14	—	0,13
Метилбутилкетон — циклопентанон	1,87	2,2	2,31	2,44	2,906
Циклопентанон — циклогексанон	2,11	1,69	1,89	1,82	2,57
Дизтиловый эфир — динизопропилющий эфир	2,69	—	—	—	—
Динизопропилюющий эфир — этиловый эфир уксусной кислоты	1,90	3,66	2,49	5,25	2,063

Коэффициенты селективности (Кс) бинарных смесей предельных и

ароматических углеводородов

Таблица 3

Предельные и ароматические углеводороды $T_k=373$ К	Коэффициенты селективности (Кс)				
	Перл-сорб I	Цветохром IK	Динохром II	Хромосорб W	Хроматон N
Гексан — гептан	0,44	0,33	0,37	0,43	0,42
Гептан — октан	0,46	0,39	0,22	0,45	0,42
Октан — nonан	0,42	0,36	0,34	0,38	0,36
Nonан — декан	0,59	0,38	0,55	0,54	0,58
Бензол — толуол	0,47	0,31	0,31	0,33	0,29
Толуол — этилбензол	0,35	0,28	0,27	0,27	0,26
Этилбензол — кумол	0,23	0,12	0,19	0,15	0,14
Кумол — псевдокумол	0,32	0,30	0,25	0,31	0,29

Коэффициенты селективности (Кс) бинарных смесей кетонов и эфиров

Таблица 4

Кетоны $T_k = 353$ К и эфиры $T_k = 333$ К	Коэффициенты селективности (Кс)				
	Перл-сорб I	Цветохром IK	Динохром II	Хромосорб W	Хроматон N
Ацетон — метилэтилкетон	0,49	0,33	0,30	0,32	0,34
Метилэтилкетон — метилпропилкетон	0,37	0,27	0,27	0,33	0,26
Метилпропилкетон — метилбутилкетон	0,39	—	0,073	—	—
Метилбутилкетон — циклопентанон	0,409	0,38	0,53	0,57	0,58
Циклопентанон — циклогексанон	0,356	0,27	0,31	0,28	0,32
Дизтиловый эфир — этиловый эфир уксусной кислоты	0,67	—	—	—	—
	0,45	0,61	0,59	0,10	0,56

მეცნიერებების განაცხადის გამოცდაში უძრავი ფაზის გამოც უძრავი

### რეზიუმე

შესწავლილია ახალი ტიპის მყარი საჩქროს — პერლსორბ-I-ის ქრომატიკული თესებები. საჩქრო სინეზისტულია საქართველოს ბუნებრივი მინერალური ნედლეულის — პერლიტის საფუძველზე. მიღებული შედეგები შედარებულია სტანდარტული მყარი საჩქროების (ცვეტოქრომ IK, დანიქრომ II, ქრომოსორბ W და ქრომატონ N-ის) ქრომატოგრაფულ თვალებებთან.

უძრავ თხევად ფაზად გამოყენებული იყო პოლიეთილენგლიკოლი 2 000. დაყოფილია კეტონები, ეთერები, ნაფერი და არომატული ნახშირწყალბადები.

დადგენილია ახალი ტიპის მყარი საჩქროს პერლსორბ-I-ის უპირატესობა ზემოაღნიშნულ დიატომიტურ მყარ საჩქრებთან შედარებით.

T. G. ANDRONIKASHVILI, A. YU. KRUPENNIKOVA, N. G. OKUJAVA, L. YA. LAPERASHVILI, L. G. MGEBRISHVILI

### STUDIES OF THE EFFECT OF SOLID SUPPORT ON SEPARATING PROPERTIES OF THE STATIONARY PHASE

#### Summary

Chromatographic properties of a new solid support Perlsorb-I have been studied. Perlsorb-I was prepared on the basis of perlite, a rich deposit of the latter was found on the territory of Georgia.

For the comparison diatomaceous solid supports of home and abroad production (Dinochrom II, Tsvetochrom IK, Chromosorb W and Chromaton N) were studied. Polyethylene-2000 applied in the amount of 10% of the mass of solid support was used as the stationary liquid phase. The model mixtures were mixtures of saturated hydrocarbons, aromatic hydrocarbons, ketones and ethers.

The coefficients of separation and selectivity of the above-mentioned compounds were determined. It was found on the basis of the data obtained that perlite solid support was by no means worse and in some degree was even better than diatomaceous supports produced at home and abroad.

#### ლიტერატურა — REFERENCES

1. Березкин В. Г., Пахомов В. П., Сакодынский К. И., Твердые носители в газовой хроматографии, М.: Химия, 9, 1975.
2. Сакодынский К. И. Журнал Всесоюзного химического общества им. Д. И. Менделеева, 1983, № 1, 16, 34.
3. Вигдергауз М. С. Расчеты в газовой хроматографии. М.: Химия, 30, 1976.
4. Лурье А. А. Сорбенты и хроматографические носители. М.: Химия, 244, 1972.

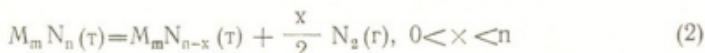
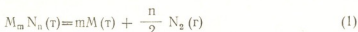


УДК 539.234

Г. Д. БАГРАТИШВИЛИ, Р. Б. ДЖАНЕЛИДЗЕ, И. Г. НАХУЦРИШВИЛИ

## ТЕРМИЧЕСКАЯ СТАБИЛЬНОСТЬ НИТРИДА ГЕРМАНИЯ В ВАКУУМЕ

Согласно общепринятым представлениям [1, 2], при нагревании в вакууме нитриды диссоциируют на составные элементы (1) или диспропорционируют (2):



Так, масс-спектрометрический анализ газовой фазы над нитридом германия выше температуры 530° привел авторов [3, 4] к выводу о термической диссоциации  $Ge_3N_4$  в вакууме по схеме (1). Однако такое заключение нельзя признать исчерпывающим. Достаточно отметить, что нами наблюдалась сублимация  $Ge_3N_4$  в вакууме (а также в парах гидразина и аммиаке) в области температур 650°–750° [5]. Отсутствие сколько-либо надежного представления о механизме теплового превращения  $Ge_3N_4$  приводит к большому разбросу значений его термодинамических характеристик, встречаемых в литературе [2]. Вопрос усугубляется вследствие специфического свойства нитридов создавать широкую область нестехиометрических гомогенных твердых растворов, свойства которых зависят от содержания азота и нитридообразующего элемента в нитриде.

Целью данной работы является исследование термической стабильности нитрида германия с учетом возможных процессов его диссоциации (1), диспропорционирования (2) и сублимации. Интерес к  $Ge_3N_4$  обусловлен исключительным свойством этого материала создавать совершенную границу раздела с полупроводниками, в том числе и с полупроводниковыми соединениями  $A'''B^V$  [6].

Объектом исследования являлся нитрид германия, полученный на поверхности германия в результате взаимодействия с парами гидразина при температуре 720°. Кинетика процесса «свободного» (лэнгмюровского) испарения  $Ge_3N_4$  регистрировалась путем непрерывного взвешивания образца на вмонтированных в вакуумной установке микроворсах конструкции ИФХ АН СССР с электромагнитной системой уравновешивания (чувствительность  $1 \cdot 10^{-6}$  г). Азотировались пластины монокристаллического п—Ge [III], легированного сурьмой с концентрацией носителей  $2 \cdot 10^{14} \text{ см}^{-3}$ . Начальное давление гидразина ( $p_D = 1,47$ ) составляло  $2 \cdot 10^3$  Па.

Продукт азотирования германия гидразином представляет собой светло-коричневый рыхлый порошок, обладающий ромбической структурой с параметрами решетки  $a = 13,84 \text{ \AA}$ ,  $b = 9,06 \text{ \AA}$ ,  $c = 8,18 \text{ \AA}$ , приближающимися к данным литературы [1]. ИК-спектр этого вещества



в области  $400-400 \text{ см}^{-1}$  содержит две интенсивные полосы у  $738$  и  $773 \text{ см}^{-1}$ , наблюдаемые в [7], и слабые горбки у  $794$ ,  $845$  и  $880 \text{ см}^{-1}$ , все относящиеся к валентным колебаниям связи Ge—N в кристаллическом нитриде германия. Характерный спектр  $\text{Ge}_3\text{N}_4$  в области  $700-900 \text{ см}^{-1}$  хорошо воспроизводит по форме спектр кристаллического  $\alpha-\text{Si}_3\text{N}_4$  в области  $900-1050 \text{ см}^{-1}$  [8].

Следует особо подчеркнуть, что, хотя используемый нами гидразин содержит около  $2\%$  воды, продуктом его взаимодействия с германием является нитрид, а не оксинитрид германия. Этот факт не является неожиданным, т. к. известно, что  $\text{Ge}_3\text{N}_4$  можно синтезировать путем взаимодействия аммиака как с Ge, так и с  $\text{GeO}_2$  [1]. Действительно, ИК-спектр продукта, полученного нами путем взаимодействия  $\text{GeO}_2$  с гидразином, полностью воспроизвел спектр  $\text{Ge}_3\text{N}_4$ . Пониженная термическая стабильность связи Ge—O, по сравнению со связью Ge—N, в оксинитридах германия обнаружена нами ранее путем их элементного анализа методом электронной Оже-спектроскопии [9]. Отметим также, что в ИК-спектре достаточно толстого ( $> 1 \text{ мкм}$ ) образца  $\text{Ge}_3\text{N}_4$  отсутствуют полосы Ge—H и N—H осцилляторов, обычно наблюдаемые в спектре гидрогенизированных образцов  $\text{Si}_3\text{N}_4$  (колебания связей Si—H и N—H), с содержанием водорода  $\geq 2 \cdot 10^{21} \text{ см}^{-3}$  [10]. Известный факт исключительно низкой термической стабильности связи Ge—H, разрывающейся уже при температуре  $150^\circ$ , объясняет это наблюдение. Таким образом, единственным газовым продуктом термической диссоциации синтезированного нами  $\text{Ge}_3\text{N}_4$  может являться только азот.

Регистрация свободного азота в процессе термической диссоциации  $\text{Ge}_3\text{N}_4$  производилась взвешиванием специальной кварцевой ячейки с длинным открытым концом, обеспечивающей конденсацию возможных

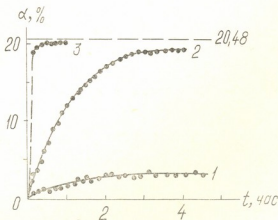


Рис. 1. Кинетические кривые разложения нитрида германия при температурах  $750^\circ\text{C}$  (1),  $800^\circ\text{C}$  (2) и  $850^\circ\text{C}$  (3)

продуктов сублимации на ее «холодных» стенках и учет убыли веса нитрида только за счет выделения азота (реакции (1) и (2)).

На рис. 1 представлены кинетические кривые степени термической диссоциации  $\text{Ge}_3\text{N}_4$  в условиях вакуумного изотермического отжига при температурах  $750^\circ$ ,  $800^\circ$  и  $850^\circ$ . Кривые указывают на замедление процесса во времени, приближающегося к завершению. При этом, степень диссоциации ( $\alpha$ ) тем больше, и процесс заканчивается тем раньше, чем выше температура отжига. Следует обратить внимание на максимальное значение степени диссоциации  $\text{Ge}_3\text{N}_4$ , отожженного при  $850^\circ$  (кривая 3). Результаты более десяти измерений  $\alpha$  в интервале температур  $850-950^\circ$  без регистрации кинетики процесса дали значение  $\alpha = 20 \pm 1\%$ , что приближается к содержанию азота в  $\text{Ge}_3\text{N}_4$  ( $20,48 \text{ вес. \%}$ ).

Это служит еще одним подтверждением химического состава исследуемого нитрида германия и указывает на его практический полнодиссоциацию в вакууме выше  $850^\circ$  по схеме (1). Из рис. 1 также видно, что нитрид германия практически не разлагается в вакууме при темпера-

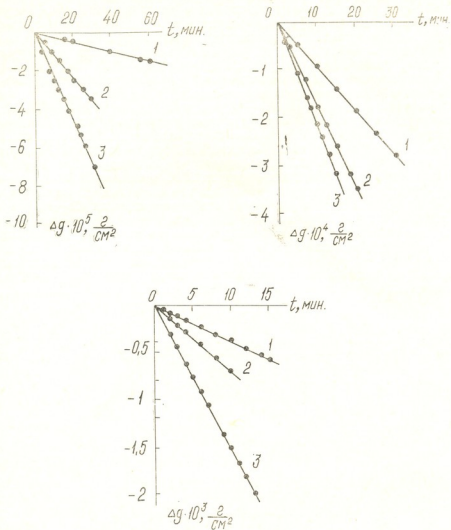


Рис. 2. Убыль веса при испарении нитрида германия:

a —  $657^\circ$  (1),  $695^\circ$  (2),  $721^\circ$  (3),

b —  $769^\circ$  (1),  $733^\circ$  (2),  $800^\circ$  (3),

c —  $825^\circ$  (1),  $844^\circ$  (2),  $880^\circ$  (3).

туре  $750^\circ$ . Ниже  $750^\circ$  степень разложения равна нулю. Участок температур  $750$ — $850^\circ$ , по-видимому, является областью преимущественного диспропорционирования  $\text{Ge}_3\text{N}_4$  на азот и обогащенный германием нитрид по схеме (2).

Энергия активации термической диссоциации  $\text{Ge}_3\text{N}_4$ , оцененная из кинетических данных, изменяется в пределах 400—500 кДж/моль в зависимости от степени разложения. Указанный интервал энергии диссоциации  $\text{Ge}_3\text{N}_4$  укладывается в пределах, известных из литературы [2].

В серии экспериментов, проводимых в условиях испарения  $\text{Ge}_3\text{N}_4$  с открытой поверхности, регистрировалась общая убыль веса нитрида

германия, соответствующая как процессам диссоциации и диспропорционирования, так и сублимации. Опыты показали, что при температурах ниже  $750^\circ$ , когда отсутствуют процессы диссоциации диспропорционирования  $\text{Ge}_3\text{N}_4$ , наблюдается линейный рост убыли общего веса образца во времени, соответствующий сублимации нитрида германия. В то же самое время, в температурных областях диссоциации и диспропорционирования  $\text{Ge}_3\text{N}_4$  после начального линейного участка следует замедление процесса с выходом кривых на насыщение.

Наличие начального линейного участка на кинетических кривых диссоциации и диспропорционирования указывает на существование в соответствующих процессах так называемого индукционного периода. Следовательно, убыль веса  $\text{Ge}_3\text{N}_4$  на этих участках отвечает процессу сублимации нитрида германия. Линейные участки кинетических кривых сублимации, диспропорционирования и диссоциации  $\text{Ge}_3\text{N}_4$  представлены на рис. 2. Обработка этих данных в Аррениусовых координатах

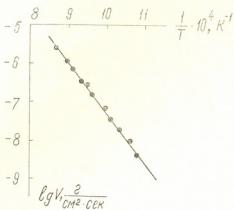


Рис. 3. Температурная зависимость скорости испарения нитрида германия

(рис. 3) позволяет рассчитать не известную в литературе величину теплоты испарения  $\text{Ge}_3\text{N}_4$ , оказавшуюся равной  $255 \pm 15 \text{ кДж/моль}$ .

Следует отметить, что отжиг  $\text{Ge}_3\text{N}_4$  во всем исследуемом интервале температур сопровождается конденсацией аморфной пленки в «холодной» ( $300$ — $350^\circ$ ) зоне ячейки. В ИК-спектре конденсата, полученного в условиях термической стабильности  $\text{Ge}_3\text{N}_4$  (ниже  $750^\circ$ ), наблюдается интенсивная полоса при  $780 \text{ см}^{-1}$ . Как известно, ИК-полоса валентного колебания связи  $\text{Ge}-\text{N}$  в аморфном  $\text{Ge}_3\text{N}_4$ , расположенная около  $750 \text{ см}^{-1}$ , смещается в коротковолновую сторону спектра в результате замещения в тетраэдрах  $\text{GeN}_4$  атомов азота атомами кислорода, приближаясь в пределе к спектру диоксида германия (около  $900 \text{ см}^{-1}$ ). На основании этого полосы при  $780 \text{ см}^{-1}$  может быть отнесена к тетраэдрам типа  $\text{Ge}(\text{N}_{4-x}\text{O}_x)$ . Проявление в ИК-спектре единственной полосы этой группы указывает на существование низкотемпературного конденсата  $\text{Ge}_3\text{N}_4$  в виде оксинитрида германия ( $\text{Ge}_3\text{N}_{4-x}\text{O}_{1.5,x}$ ) со случайным распределением атомов кислорода в структурной сетке нитрида, а не двух раздельных фаз — нитрида и оксида германия, характеризуемых, по крайней мере, двумя ИК-полосами. Кислород в конденсате  $\text{Ge}_3\text{N}_4$  обнаружен нами также прямым методом его электронной Оже-спектроскопии (наличие интенсивного сигнала перехода KLL при  $503 \text{ эВ}$ ). Осаждение оксинитрида германия при сублимации  $\text{Ge}_3\text{N}_4$ , вероятно, связан с присутствием кислорода в остаточном газе и на стенках реактора.

Что касается состава и строения продуктов конденсации  $\text{Ge}_3\text{N}_4$ , полученных при температурах выше  $750^\circ$ , можно заключить, что являются продуктами его диспропорционирования с увеличением обогащения германием по мере повышения температуры отжига. На это указывает уменьшение ширины запрещенной зоны конденсата к величине, характерной для аморфного гидрогенизированного германия (около  $1,1 \text{ эВ}$ ) [11].

Авторы выражают благодарность В. А. Арсламбекову за постоянный интерес и помощь в работе.

Институт кибернетики АН ГССР

Поступило 14.01.1985

8. ბაგრათიშვილი, რ. ჯანელიძე, ი. ნახუტრიშვილი

მისამართის ნიმუშის თარიღი სტაციონა ვაკუუმი

რეზიუმე

გამოკვლეულია გერმანიუმისა და ჰიდრაზინის ორთქლის ურთიერთქმედებით  $720^\circ\text{C}$  ზე მიღებული გერმანიუმის ნიტრიდის თერმული სტაციონა. დაფარის მისი  $750^\circ\text{C}$  ქვევით სუბლიმაციის, ასორზე და გერმანიუმით გამდიდრებულ ნიტრიდზე დისპროპორციონირებისა ( $750$ — $850^\circ\text{C}$ ) და დისოციაციის ( $850^\circ\text{C}$  ზევით) ტემპერატურული უბნები.  $\text{Ge}_3\text{N}_4$ -ს დაშლის კინეტიკის გამოკვლეულის საფუძველზე გამოთვლილია შესაბამის პროცესის აქტივაციის ენერგია ( $400$ — $500 \text{ кДж/მოლ}$  დისოციაციის ხარისხზე დამოკიდებულებით). დაგენილია, რომ გერმანიუმის ნიტრიდის დისოციაციისა და დისპროპორციონირების კინეტიკური მრავდები შეიცავს ძირითადი რეაქციის ინდუქციური პერიოდის შესაბამის სწორხაზოვან მონაკვეთებს. ეს იძლევა  $\text{Ge}_3\text{N}_4$ -ს ორთქლების სიჩქარის გამოთვლის საშუალებას ტემპერატურათა ფართო ინტერვალში, რომელიც მოიცავს როგორც სუბლიმაციის, ასევე დისპროპორციონირებისა და დისოციაციის უბნებს.

$\text{Ge}_3\text{N}_4$ -ს ორთქლების სიჩქარის ტემპერატურული დამოკიდებულებიდან გამოთვლილია შესაბამისი აქტივაციის ენერგია ( $255 \pm 14 \text{ кДж/მოლ}$ ).

G. D. BAGRATISHVILI, R. B. JANELIDZE, I. G. NAKHUTSRISHVILI

THERMAL STABILITY OF GERMANIUM NITRIDE IN THE VACUUM

#### Summary

The thermal stability of crystalline germanium nitride obtained by means of interaction of germanium with hidrazine vapour at temperature of  $720^\circ\text{C}$  has been studied. The temperature regions of  $\text{Ge}_3\text{N}_4$  sublimation (below  $750^\circ\text{C}$ ), disproportion on nitrogen and nitrides enriched with germanium ( $750$ — $850^\circ\text{C}$ ) and dissociation (above  $850^\circ\text{C}$ ) have been established. On the base of results of investigation of decomposition kinetics of  $\text{Ge}_3\text{N}_4$  was allowed to calculate the activation energy of the corresponding process ( $400$ — $500 \text{ kJ/mol}$  depending on the degrees of dissociation). It has been shown that kinetic curves disproportion and dissociation of germanium

  
nitride contain initial linear regions, corresponding to the inductive period of the main reaction, when only sublimation of  $\text{Ge}_3\text{N}_4$  takes place. This has allowed to calculate the rates of evaporation of  $\text{Ge}_3\text{N}_4$ , in the broad temperature range, including the regions of sublimation, as well as disproportion and dissociation. The corresponding activation energy ( $255 \pm 15$  kJ/mol) is calculated by the temperature dependence of  $\text{Ge}_3\text{N}_4$  evaporation rate.

#### СОДЕРЖАНИЕ — ЛИТЕРАТУРА — REFERENCES

1. Самсонов Г. В., Нитриды, Киев: Наукова думка, 1969.
2. Болгар А. С., Литвиненко В. Ф., Термодинамические свойства нитридов, Киев: Наукова думка, 1980.
3. Рыкалис Э. А., Болгар А. С. и др., Порошковая металлургия, 1968, 2, 64.
4. Воробьев А. М., Евсеева Г. В., Зенкевич Л. В., ЖФХ, 1973, 47, 12.
5. Багратишвили Г. Д., Докт. дисс., Тбилиси, ИК АН ГССР, 1985.
6. Bagratishvili G. D., Janelidze R. B., Kurdiani N. I., Saksaganskiy O. V., Phys. Stat. Sol. (a), 1976, 36, 73.
7. Igarashi Y., Kurudama K., Niimi T., Japan, J. Appl. Phys., 1968, 7, 3, 300.
8. Takase A., Umebayashi S., Kishi K., Japan, J. Appl. Phys., 1982, 21, 10, 1447.
9. Bagratishvili G. D., Janelidze R. B., Jishiashvili D. A., Phys. Stat. Sol. (a), 1983, 78, 115.
10. Белый В. И. и др., Нитрид кремния в электронике, М.: Наука, 1982, 180 с.
11. Nakamita G., Sato K., Yukimoto Y., Japan, J. Appl. Phys., 1982, 21, 2, 297.

УДК 541.1+622.362.5

О.М. МДВИНИШВИЛИ, Л. Я. УРИДІЯ, Е. А. ХУЧУА

## ФАЗОВЫЕ ПРЕВРАЩЕНИЯ В СИСТЕМЕ ДИАТОМИТ— ГИДРОКСИД КАЛЬЦИЯ И АДСОРБЦИОННЫЕ СВОЙСТВА ПОЛУЧАЕМЫХ ПРОДУКТОВ

Процесс взаимодействия кремнезема с гидроксидом кальция хорошо известен и издавна находит широкое применение в строительной практике, так как механизм твердения и прочностные характеристики большинства стройматериалов предопределяются составом и структурой силикатов кальция, кристаллизующихся в присутствии воды, или в процессе температурного воздействия. Однако уже в 30-е годы было обращено внимание на то, что некоторые аморфные и кристаллические гидросиликаты кальция обладают достаточно высокой адсорбционной способностью.

По механизму реакций взаимодействия кремнезема с гидроксидом кальция может быть двух типов [1]. К первому типу относятся процессы замещения протона поверхностью силанольной группы электронофильными агентами, которое обеспечивается неподеленной парой электронов у кислорода группы Si—OH. Второй тип реакций с поверхностью включает процессы нуклеофильного замещения гидроксильных групп и силикатного иона (расщепление связей Si—O—Si). Поэтому интенсивность взаимодействия гидроксида кальция с кремнеземом при переходе от его кристаллических форм (кварц) к аморфным гидратированным формам (опал) возрастает. Наиболее ярким представителем активной аморфной формы кремнезема в природе является диатомит, запасы которого у нас в стране и, в особенности, в Закавказье, достаточно велики. Процесс взаимодействия диатомита с растворами гидроксида кальция проходит в две стадии и охватывает оба типа реакций, протекающих как по электронофильному, так и по нуклеофильному механизму.

Первые упоминания о возможности щелочной активации диатомита путем его известкования встречаются в работе [2]. Позднее было показано, что гидроксид кальция вступает в реакцию с глинистыми минералами и другими силикатами, образуя новые соединения — аморфные и кристаллические [3—5], которые могут быть использованы в качестве адсорбентов при очистке различных веществ. Возможность получения адсорбентов с высокой удельной поверхностью путем известкования диатомитов Кисатибского месторождения была показана в работах [6—8].

Фазовые превращения в системе диатомит—гидроксид кальция, так же как в адсорбционные свойства образующихся форм силикатов кальция, в широком интервале температур практически не изучены. В данной статье рассматривается влияние температуры в пределах (100—1000°) на фазовый состав системы диатомит—гидроксид (оксид) кальция и адсорбционные свойства образующихся продуктов.

Известкование диатомита проводилось путем смешения 100 м. ч. диатомита с 60 м. ч. оксида кальция, последующего добавления воды и нагревания суспензии при 90—100° в течение 3 часов. При таком способе достигается постоянная концентрация гидроксида кальция.



ция в суспензии в течение всего процесса известкования. Прокаливанию подвергались как продукты гидротермального взаимодействия диатомита с гидроксидом кальция, так и сухие смеси диатомита и гидроксида кальция.

Рентгенофазовые исследования, выполненные на установке ДРОН-1,5 с медным анодом, показывают, что в результате гидротермального взаимодействия диатомита с гидроксидом кальция, при температурах, не превышающих 100°, образуется аморфный гидросиликат кальция, и только прокаливание при более высоких температурах приводит к образованию кристаллических фаз. Опыты по изучению фазовых превращений в системах диатомит—гидроксид кальция и диатомит—оксид кальция показывают (рис. 1), что в зависимости от ус-

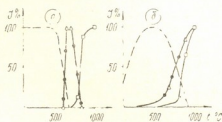
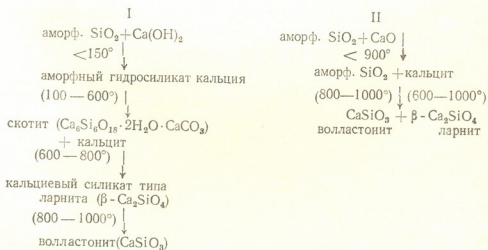


Рис. 1. Фазовые превращения в системах диатомит—гидроксид кальция (а) и диатомит—оксид кальция (б) в интервале температур 100—1000°

— скотит, кальцит  
△ — ларнит  
□ — волластонит

ловий получения силиката кальция температурные интервалы кристаллизации новых фаз и их состав могут меняться. Относительное содержание образующихся кристаллических фаз оценивалось по интенсивности основных рефлексов в относительных единицах ( $J, \%$ ). Идентификация кристаллических фаз проводилась путем сравнения экспериментальных данных с эталоном по ASTM [9].

На основании полученных данных, реакции, протекающие при взаимодействии диатомита с известком, и соответствующие им фазовые превращения при нагревании можно представить следующими схемами:



Структура широко распространенного минерала волластонита представлена дискретными лентами из Ca-октаэдров, которые <sup>перекрываются</sup><sub>делают</sub> кремнекислородными тетраэдрами, объединенными в бесконечные метасиликатные цепочки  $(SiO_3)_{\infty}$ , что же касается скотита, то его строение составляют слои из Ca-полиэдров, сцепленных кремнекислородными радикалами, которые в данном соединении представляют собой шестерные кольца с метасиликатной формулой  $Si_6O_{18}$ , образующие соответствующие полости [10].

Исследование адсорбции при комнатной температуре молекул воды на природном диатомите, аморфном гидросиликате кальция и продуктах его кристаллизации — скотите и волластоните показывает (рис. 2), что наиболее высокими адсорбционными свойствами по воде характеризуются аморфные продукты известкования диатомита. С увеличением температуры кристаллизации полученных продуктов их адсорбционная способность по воде заметно уменьшается.

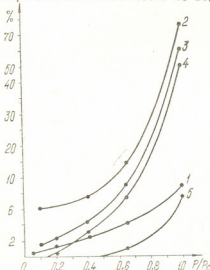


Рис. 2. Изотермы адсорбции паров воды природным диатомитом (1), аморфным продуктом взаимодействия диатомита с гидроксидом кальция (2) и продуктами его кристаллизации при 300° (3), 700° (4) и 1000° (5)

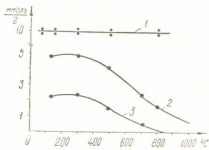


Рис. 3. Влияние температуры прокаливания диатомита модифицированного известкованием на его сорбционную способность по меди (1), гексану (2) и воде (3)

Сравнительное изучение адсорбции веществ различной природы — воды, гексана и ионов меди из раствора на продуктах гидротермальной обработки диатомита гидроксидом кальция, прокаленных в интервале температур 100—1000°, показывает (рис. 3), что адсорбция воды и гексана в образцах, обработанных при температуре 300°, максимальна и с дальнейшим повышением температуры обработки уменьшается. Продукт кристаллизации, образовавшийся при 800—1000° (волластонит), не адсорбирует воду и гексан. В то же время термическая обработка диатомита, подвергнутого известкованию, практически не влияет на адсорбцию ионов меди из раствора, что говорит о возможности использования кристаллических силикатов кальция в качестве эффективных сорбентов при очистке сточных вод.

დიატომიტი — კალციუმის პირდოვის ნისამავარი ფაზური გარეაქციების მიზანად არიდება და ადგირდება თანამდებობის მიზანად არიდება და ადგირდება.

### რეზიუმე

დიატომიტის კალციუმის პირდოვისიდით პირდოვერმულად და კალციუმის ოქსიდით დამუშავებულ პროდუქტებში შესწავლილია ფაზური გარდაქმნები  $100-1000^{\circ}$  ტემპერატურის ინტერვალში.

დადგენილია, რომ დიატომიტის პირდოვერმულად დამუშავების შედეგად მიღებული ამორფული პროდუქტის გახურების მიღება კალციტის და სკორიტის კრისტალური ფაზები ( $100-600^{\circ}$ ), ლარნიტის ტიპის კალციუმის სილიკატი ( $600-800^{\circ}$ ) და ვოლასტონიტი ( $800-1000^{\circ}$ ).

დიატომიტ — კალციუმის ოქსიდის სისტემაში დანახულია კალციტის ( $100-900^{\circ}$ ), ლარნიტის ( $700-1000^{\circ}$ ) და ვოლასტონიტის კრისტალური ფაზები.

პირდოვერმული დამუშავებით მიღებული პროდუქტების ადსორბციის უნარი წყლის ორთქლის და ჰექსანის მიმართ მაქსიმუმს აღწევს  $300^{\circ}$ -მდე განხურებისას. ადსორბენტის თერმული დამუშავებისას ( $100-1000^{\circ}$ ) სპილენდის იონების ადსორბცია ხსნარიდან უცვლელი რჩება.

O. M. MDIVNISHVILI, L. Ya. URIDIA, E. A. KHUCHUA

### PHASE TRANSFORMATIONS IN THE DIATOMITE—CALCIUM HYDROXIDE SYSTEM AND ADSORPTIVE CAPACITIES OF THE OBTAINED PRODUCTS

#### Summary

Phase transformations in the products of hydrothermal treatment of diatomite by calcium hydroxide, and also in the diatomite—calcium oxide system have been studied in the temperature range  $100-1000^{\circ}$ .

It has been established, that under heating in the amorphous products of hydrothermal treatment of diatomite, the crystalline phases of calcite and scotite ( $100-600^{\circ}$ ), calcium silicate of larnite type ( $600-800^{\circ}$ ) and wollastonite ( $800-1000^{\circ}$ ) were consecutively diagnosticated, while in the diatomite—calcium oxide system—crystalline phases of calcite ( $100-900^{\circ}$ ), larnite ( $700-1000^{\circ}$ ) and wollastonite ( $800-1000^{\circ}$ ). The adsorptive capacity of hydrothermal treatment products of diatomite by water vapour and hexane reaches its maximum at  $300^{\circ}$ , and decreases afterwards. Adsorption of copper ions from the solution during thermal treatment of the adsorbent did not change within the limits of  $100-1000^{\circ}$ .

#### ლიტერატურა — REFERENCES

1. Стрелко В. В., Каниболовский В. А. Колл. журнал, 1971, 33, № 5, с. 750—756.
2. Кальверт Р. Диатомиты. Промстройиздат, 1933.
3. Дмитриев П. П. Известковая активация природных минеральных сорбентов для нефтепродуктов. Ташкент, изд. ФАН Узб. ССР, 1975.

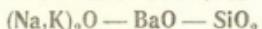
ГАМІСБУРД  
ЗВІЩАННЯ

4. Diamond S., Kinther B., J. Coll. and Interf. Science, 1966, 22, № 3, с. 240—  
249.
  5. Sidney A., Greenberg I., J. Phys. Chem. 1956, 60, № 2, с. 325.
  6. Тивадзе А. А. Труды XV научно-технической конференции ГПИ, 1970, вып. 4,  
с. 68—73.
  7. Мдивнишвили О. М. В сб.: Сырьевая база кремнистых пород СССР и их ис-  
пользование в народном хозяйстве, М.: Недра, 1976.
  8. Мдивнишвили О. М., Уридия Л. Я., Акопова М. Я. В сб.: Вопросы  
геологии и технологии полезных ископаемых Кавказа, Тбилиси, Сабчота Сакартве-  
ло, 1979.
  9. ASTM Powder diffraction file—Scatch Manual I. CPOS, 1973, Philadelphia
  10. Илюхин В. В., Кузнецов В. А., Лобачев А. Н., Бакшутова В. С.  
Гидросиликаты кальция, синтез монокристаллов и кристаллохимия, М.: Наука,  
1979.
-

УДК 666.11.01 : 666.112.2 : 537.311.3

В. Е. КОГАН, Г. Г. МШВЕЛИДЗЕ, И. А. МЯСНИКОВ, А. А. ПРОНКИН

ВЛИЯНИЕ ОКСИДОВ ЖЕЛЕЗА И НИОБИЯ  
НА ПОЛИЩЕЛОЧНОЙ ЭФФЕКТ ЭЛЕКТРИЧЕСКОЙ  
ПРОВОДИМОСТИ У СТЕКЛОВ СИСТЕМЫ



Ранее было показано [1—5], что введение оксидов железа взамен  $\text{SiO}_2$  в двущелочные силикатные стекла, содержащие оксиды щелочноземельных металлов, приводит к исчезновению экстремума на зависимости  $\lg \sigma_v = f(\beta_k)$ , где  $\beta_k = [\text{K}] / [\text{Na}] + [\text{K}]$ , т. е. к исчезновению полищелочного эффекта (ПЩЭ).

Данный факт в [3—5] интерпретирован с точки зрения химически микронеоднородного строения стекла по Р. Л. Мюллеру [6], выражающегося в преимущественном взаимодействии щелочных ионов с различными фрагментами структуры. Так, в [4] отмечалось, что из двух типов структурных единиц (с. е.), содержащих щелочные ионы, а именно  $\text{Me}^+\text{O}^-\text{SiO}_3^-/2$  и  $\text{Me}^+[\text{Fe}^-\text{O}_4^-/2]$ , последние являются ответственными за механизм электрической проводимости. Суммарная объемная концентрация же щелочных ионов ( $\sum[\text{Me}_i]$ ) в с. е.  $\text{Me}^+[\text{Fe}^-\text{O}_4^-/2] < 8 \cdot 10^{-3}$  моль/см<sup>3</sup>, т. е. недостаточна для проявления ПЩЭ [7].

Одной из возможных причин исчезновения ПЩЭ могло быть возникновение в стеклах электронной составляющей проводимости, однако результаты работ [3, 5, 8], посвященных, в частности, экспериментальному изучению природы проводимости рассматриваемых объектов, говорят об электролитическом характере проводимости в них.

Косвенным подтверждением обоснованности выводов, приведенных в [3—5], стали результаты работ [9, 10], в которых было обнаружено и объяснено, аналогично работам [3—5], отсутствие ПЩЭ в некоторых боросиликатных стеклах при  $\sum[\text{Me}_i] \approx 11 \cdot 10^{-3}$  моль/см<sup>3</sup>.

Для данных стекол экспериментально также установлен электролитический характер проводимости [11].

Приведенные данные литературы свидетельствуют об актуальности исследования влияния представителей подгруппы ванадия на ПЩЭ в силикатных стеклах, содержащих щелочноземельные оксиды. С учетом структуры оксидов металлов подгруппы ванадия и с. е., реализуемых ими в стеклах [12—15], при нахождении этих металлов в степени окисления +5, ПЩЭ должен сохраняться, а при восстановлении их до степени окисления +3 следовало ожидать исчезновения ПЩЭ.

В качестве базисных нами были выбраны те же составы стекол, что и в [2—4], а именно: 16%  $(\text{Na},\text{K})_2\text{O}$  · 13,5%  $\text{BaO}$  · 70,5%  $\text{SiO}_2$  (мол.%), а в качестве представителя подгруппы ванадия — оксид ниобия, которым в эквимолярном количестве замещался оксид кремния.

Однако с учетом данных работ [16, 17], а также указаний [3, 8] о том, что железосодержащие стекла являются крайне сложными объектами в методическом плане, ибо характеризуются повышенной при  $t > 300^\circ$  поверхностных пленок, состоящих из оксидов железа и обладающих свойствами, отличными от объемных свойств стекол, на ми предварительно проведены контрольные определения природы проводимости стекол состава 16%  $(\text{Na}, \text{K})_2\text{O} \cdot 13.5\% \text{BaO} \cdot 12\% \text{Fe}_2\text{O}_3 \cdot 58.5\% \text{SiO}_2$  (мол. %) с  $\beta_K = 0.25, 0.5, 0.75$  по методике, описанной в [18].

При проведении электролиза во всех экспериментах применялись охранные кольца и в процессе опыта постоянно контролировалось соблюдение закона Кирхгофа для разветвленных цепей, что давало основание говорить о том, что количество электричества, зарегистрированное интегратором тока типа Х-603, соответствует истинному количеству электричества, прошедшего через объем пакета образцов, т.е. полностью исключалось шунтирующее действие поверхностного электросопротивления на объемное. Для каждого состава проведено по десять экспериментов, температура которых, как и в [17], составляла 300—350°. Для всех изученных составов числа переноса щелочных ионов ( $\eta = \eta_{\text{Na}} + \eta_{\text{K}}$ ) определенные как количество выделившейся при электролизе щелочи ( $Q'$ ), отнесенное к количеству щелочи ( $Q_0$ ), которое должно было выделиться по закону Фарадея, составили  $0.98 \pm 0.02$ . Средняя квадратичная ошибка измерения соответствует доверительному интервалу 0.95. Полученные результаты свидетельствуют (с точностью до погрешности эксперимента, составляющей  $\sim 2\%$ ) о чисто катионной природе проводимости изученных стекол при температуре эксперимента. Эксперименты, проведенные по методике [19] с целью определения доли электронной составляющей проводимости в рассматриваемых объектах, также указали на отсутствие таковой.

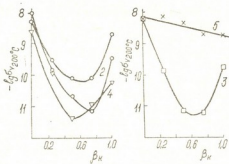


Рис. 1. Полищелочный эффект электрической проводимости у стекол состава 16%  $(\text{Na}, \text{K})_2\text{O} \cdot 13.5\% \text{BaO} \cdot x\% \text{Nb}_2\text{O}_5 \cdot (70.5-x)\% \text{SiO}_2$  (мол. %): 1—4—слабоокислительные условия синтеза, 5—восстановительные условия синтеза; 1 —  $x=0$ , 2 —  $x=6$ , 3, 5 —  $x=12$ , 4 —  $x=18$ .

Приведенные результаты с учетом линейной зависимости  $\lg \sigma_v^{\circ} \cdot f(1/T)$  [3, 8] свидетельствуют об ионном характере проводимости полищелочных силикатных стекол, содержащих оксиды железа, в интервале температур 80—420°.

Исследование эквимолярной замены  $\text{SiO}_2$  на  $\text{Nb}_2\text{O}_5$  в базисных стеклах показало, что при синтезе в печах с силитовыми нагревателями при свободной циркуляции воздуха ПШЭ имеет место вне зависимости от количества введенного в состав  $\text{Nb}_2\text{O}_5$  (рис. 1). При



в этом получаются прозрачные неокрашенные стекла, что с учетом данных [12] говорит о преимущественном нахождении ниобия в степени окисления +5. При введенных количествах  $Nb_2O_5$  (до 18 мол.%) ниобий в степени окисления +5 преимущественно, вероятно, реализует тетраэдрическую координацию, в пользу чего говорят и данные работ [13, 14], причем, как и у фосфорнокислородного тетраэдра одна из связей ниобия—кислород двойная. Таким образом, введение  $Nb_2O_5$  в рассматриваемые стекла приводит наряду с с. е. типа  $Me^+O-SiO_{3/2}$  к образованию преимущественно с. е. типа  $Me^+O-NbOO_{2/2}$ , в которых, как и в кремнекислородных, щелочные ионы реализуют связь  $Me^+-O^-$ , т. е. степень их закрепления в обоих типах с. е. в первом приближении равнозначна, что и обеспечивает сохранение ПЩЭ. Ограничение содержания  $Nb_2O_5$  в стеклах 18 моль.%, вероятно, связано с тем, что дальнейшее увеличение его концентрации ведет к образованию групп  $[Nb_6]$  [12], которые, по-видимому, не могут встраиваться в кремнекислородный каркас, приводя первоначально к глушению, а затем и к полной кристаллизации составов (наблюдаемое глушение вызвано макрорасслаиванием составов).

При восстановительных условиях варки (исследованы для составов с содержанием  $Nb_2O_5$  12 моль.%) получены стекла синего цвета, что с учетом данных [12] говорит об образовании низших оксидов ниобия, в частности о его переводе в степень окисления +3. В этом случае, наряду с с. е.  $Me^+O-SiO_{3/2}$  и частично сохранившимся с. е.  $Me^+O-NbOO_{2/2}$ , реализуются и с. е.  $Me^+[Nb-O_{4/2}]$ , являющиеся, по нашему мнению, ответственными за механизм переноса, в которых степень закрепления щелочного иона отличается от первых двух типов с. е. и при этом наблюдается исчезновение ПЩЭ.

Для всех ионийсодержащих составов, аналогично железосодержащим, нами экспериментально установлен электролитический характер проводимости.

Проведенное исследование совместно с рассмотренными в работе литературными данными позволило нам сформулировать необходимое условие исчезновения ПЩЭ в стеклах с суммарной объемной концентрацией щелочных ионов, равной, либо превышающей  $8 \cdot 10^{-3}$  моль/см<sup>3</sup>. Таковым является одновременное образование в стеклах с. е. типа  $\text{Me}^+ \text{O}^- \text{XO}_{3/2}$  и  $\text{Me}^+ [\text{Y}^- \text{O}_{4/2}]$ , в которых характер взаимодействия щелочного иона с анионной частью с. е. различен.

Институт кибернетики АН ГССР

Поступило 31.07.1984

3. Գուշաբար, 4. Առաջնություն, 5. Առավելություն, 6. Տեղաբաշխություն

၄၁၈

ଡାକ୍‌ଗ୍ରେନ୍‌ଲିଙ୍ଗ, ଏମ ପ୍ରତିର୍ହ ଡାକ୍‌ଗ୍ରେନ୍‌ଗ୍ରେଲ ଗାର୍ଜେମଣଶି ମିଳାନ୍‌ଶ୍ଵର୍ଲ ମିନ୍‌ବ୍ରିକ୍‌ଷି  
ହୋଇଥି ମାତ୍ରାବ୍ୟାଲ୍‌ପର୍ଯ୍ୟ ହେଉଥିରୁ ଏହି ଦରକା, ରନ୍‌ଦ୍ୱସାପ ଅନ୍ତର୍ଗ୍ରେନ୍‌ଗ୍ରେଲ ଅର୍କ୍‌ଶି ସିନ୍‌ଟ୍ରେ-  
ଚିନ୍‌ଟାପ୍‌ରୂପ ନିଳାଦିନିଶ୍ଵର୍ମିକ୍‌ରୂପ ଶ୍ରୀଦ୍ୱାନ୍‌ନିଳାନନ୍ଦପାଦପାତ୍ରି ଏହି ପାତ୍ରରେ ମିଳିବା.

ჩატარებული კვლევისა და ლიტერატურული მონაცემების საფუძვლებით  
ჩამოყალიბებული მრავალტურე ეფექტის გაქრობის აუცილებელი პირობა  
მინებისათვის ტუტე იონების მოცულობითი კონცენტრაციით  $\geq 8 \cdot 10^{-3}$  მოლ/სმ<sup>3</sup>.

V. E. KOGAN, G. G. MSHVELIDZE, I. A. MIASNIKOV, A. A. PRONKIN

## IRON AND NIOBIUM OXIDES INFLUENCE ON THE MIXED ALKALI EFFECT OF ELECTROCONDUCTIVITY IN THE GLASS SYSTEMS OF $(\text{Na},\text{K})_2\text{O}-\text{BaO}-\text{SiO}_2$

### Summary

Effect of equimolar exchange of  $\text{SiO}_2$  by  $\text{Nb}_2\text{O}_5$  on electroconductivity of glass composition 16% $(\text{Na},\text{K})_2\text{O}$ ·13,5% $\text{BaO}$ ·70,5% $\text{SiO}_2$ (mole%) was studied.

It was indicated, that when the glasses were melting under weak oxidated conditions, the mixed alkali effect took place, but in the case of synthesis of niobium containing compositions under reduced condition it does not take place.

The electrolytic character of conductivity was experimentally determined for the invented compositions, and also for analogous iron-containing mixed alkali glasses.

The obtained results are explained from the point of view of chemically micro-inhomogeneous structure of glass according to Muller.

On the basis of this investigation and data of literature, the necessary conditions of disappearance of the mixed alkali effect in glasses with volume concentration of alkali ions larger than or equal to  $8 \cdot 10^{-3}$  mol./cm<sup>3</sup>. were formulated.

### ლიტერატურა — REFERENCES

1. Хартишвили Л. С. Автореф. канд. дисс., Тбилиси, 1971.
2. Кутателадзе К. С., Верулашвили Р. Д., Хартишвили Л. С., Ка-  
мушадзе И. Г. Сб. трудов ит объединения «ГрузНИИстром», Тбилиси, 1973,  
вып. VII, с. 100—104.
3. Коган В. Е. Автореф. канд. дисс., Л., 1976.
4. Коган В. Е., Верулашвили Р. Д., Кутателадзе К. С. Тез. докл. к  
IV Всесоюзному симпозиуму по электрическим свойствам и строению стекла, Ере-  
ван, 1977, с. 86—89.
5. Спиридонов В. А. Автореф. канд. дисс., Л., 1978.
6. Мюллер Р. Л. Сб. Химия твердого тела. Л., 1965, с. 9—63.
7. Мюллер Р. Л. Электропроводность стеклообразных веществ. Л., изд. ЛГУ, 1968,  
252с.
8. Пронкин А. А., Коган В. Е., Верулашвили Р. Д. ЖПХ, 1977, 50, 1, с.  
53—55.
9. Коган В. Е., Мачарадзе Т. Г. Изв. АН ГССР, сер. хим., 1980, 6, 4, с. 332—  
331.



10. Евстропьев К. К., Коган В. Е., Мачарадзе Т. Г., Пронкин А. А.  
Тез. докл. и сообщ. VII Всесоюзного совещания по стеклообразному состоянию  
стекла. Тбилиси, 1981, с. 105—106.
11. Гегелава А. Г., Коган В. Е., Мачарадзе Т. Г., Мачарадзе М. Ш.  
Сб. трудов н/т объединения «ГрузНИИстром», Тбилиси, 1980, с. 68—75.
12. Петровский Г. Т., Щеглова З. Н., Евтушенко И. В. Физ. и хим.  
стекла, 1979, 5, 5, с. 595—598.
13. Павлушкин М. Н., Агарков А. С., Стецов О. А., Барышек Г. О.,  
Производство и исследование стекла и силикатных материалов. Ярославль, 1973,  
с. 16—20.
14. Бобкова Н. М., Рачковская Г. А. Физ. и хим. стекла, 1976, 2, 3, с. 223—  
227.
15. Мирошниченко О. Я., Момбелли В. В. Физ. и хим. стекла, 1983, 9, 5,  
с. 521—526.
16. Верулашвили Р. Д., Камушадзе И. Г. Сб. трудов н/т объединения  
«ГрузНИИстром», Тбилиси, 1980, с. 61—68.
17. Камушадзе И. Г. Автореф. канд. дисс., Рига, 1983.
18. Пронкин А. А., Евстропьев К. К., Мачарадзе Т. Г. Физ. и хим.  
стекла, 1979, 5, 3, с. 329—333.
19. Liang C. C., J. Electrochem. Soc., 1973, 120, 10, p 1289—1292
-



УДК 621.315 : 665.662

Н. И. ПИРЦХАЛАВА, Р. В. СИРАДЗЕ

## ИССЛЕДОВАНИЕ ОСУШКИ ОТРАБОТАННОГО ТРАНСФОРМАТОРНОГО МАСЛА С ПОМОЩЬЮ КЛИНОПТИЛОЛИТА

При работе силовых трансформаторов со временем имеет место старение, увлажнение трансформаторного масла, что значительно ухудшает его электроизоляционные свойства. Одним из самых перспективных способов осушки органических жидкостей является адсорбционный метод, который широко применяется и для регенерации отработанных трансформаторных масел. В качестве адсорбентов для глубокой осушки органических веществ применяют цеолиты как искусственные, так и природные. Применение цеолитов, в том числе и природных, в качестве сорбентов определяется диаметром «входных окон» в пористой структуре цеолита. Для осушки масел размер «окон» должен быть больше размера молекулы воды ( $3\text{ \AA}$ ), но меньше размеров молекул углеводородов масла, которые оцениваются величиной  $6\text{--}9\text{ \AA}$  [1]. Для регенерации трансформаторных масел в основном применяют искусственные адсорбенты, в то время как дешевые природные адсорбенты не нашли еще достаточно широкого применения. Природные адсорбенты, обладающие достаточно высокими адсорбционными свойствами, должны занять в регенерации трансформаторных масел такое же место, какое они получили в нефтеперерабатывающей промышленности.

Все искусственные адсорбенты дефицитны и дорогостоящи, что делает их применение экономически выгодным только при условии многократного использования после восстановления. Необходимость восстановления адсорбентов усложняет использование их для регенерации масел, так как требуются дополнительное оборудование и значительные затраты рабочей силы. В связи с этим, применение для регенерации энергетических масел различных природных адсорбентов, дешевых и доступных, обладающих достаточно высокой адсорбционной способностью, имеет большое народнохозяйственное значение [1]. Из природных цеолитов размером «входных окон»  $4\text{ \AA}$  обладает в числе других клиноптилолит — наиболее распространенный и доступный природный цеолит. В природе он находится в виде туфов, чистота которых нередко позволяет использовать их в качестве высокоселективного сорбента без предварительного обогащения [2, 3]. Помимо высокой обезвоживающей способности, клиноптилолит обладает рядом преимуществ технологического характера: высокой механической прочностью, легкостью регенерирования, отсутствием сложной предварительной подготовки и др.

Нами были проведены серии исследований с целью оптимизации процесса сушки трансформаторного масла клиноптилолитом месторождения Хекордзула (ГССР). Добываемый открытым способом указан-



ный минерал содержит более 65% цеолита. Изучаемый клиноптилолит получали из товарной партии путем размельчения исходного сырья до заданной дисперсности с последующей промывкой и отжигом избранной фракции. Промывку цеолита производили до полного удаления пыли, после чего влажный образец сушили в термостате при 120°. Отжигали просушенный цеолит в муфельной печи в течение трех часов при температурах от 200 до 500°. Прокаленный цеолит переносили в эксикатор с концентрированной серной кислотой, где он охлаждался до комнатной температуры и хранился до опытов.

Было изучено влияние температуры прокаливания клиноптилолита на глубину осушки трансформаторного масла. Установление оптимальной температуры прокаливания используемого цеолита имеет важное практическое значение для достижения наибольших величин осушки и, что не менее значительно, с целью уменьшения энергетиче-

Таблица 1

Зависимость глубины осушки трансформаторного масла от температуры прокаливания клиноптилолита. Начальное содержание воды в масле 0,0085 %

Температура прокаливания клиноптилолита, °С	Содержание воды в масле после осушки, масс. %	Степень осушки, %
200	0,0031	64
275	0,0024	72
300	0,0014	84
325	0,0013	85
350	0,0015	83
375	0,0022	74
400	0,0030	65
500	0,0039	54

ских затрат при отжиге исходного сырья. Полученные данные приведены в таблице 1. Как видно из полученных результатов, наибольшая глубина осушки достигается на образце, прокаленном при 325—350°. Установленная нами оптимальная температура предварительного прокаливания используемого клиноптилолита практически совпадает с таковой, полученной в работах [4—6], где для отжига и последующей регенерации данного цеолита также указывается температурная область 300—350°.

Для выяснения влияния размера частиц адсорбента на его дегидратирующую способность товарная партия природного клиноптилолита была раздроблена и просеяна через металлические сита с сетками разных номеров. Отобранные фракции цеолита промывали и прокаливали при оптимальной температуре 325—350°. Осушку масла проводили при комнатной температуре. Полученные результаты приведены в табл. 2. Как видно из приведенных данных, исследуемая зависимость достигает оптимума в области размера частиц адсорбента 3—5 мм.

Размельчение товарной партии клиноптилолита до 5 мм резко увеличивает осушающую способность клиноптилолита, что, по-видимому, вызвано увеличением общей поверхности контакта адсорбента

с маслом и увеличением скорости диффузии молекул воды в <sup>внутри</sup>  
кристаллический объем цеолита. Дальнейшее увеличение дисперсии  
сти клиноптилолита ухудшает его обезвоживающее действие.

Таблица 2

Зависимость степени осушки трансформаторного масла от размера частиц  
клиноптилолита

Начальное содержание воды в масле 0,0085 %

Размер частиц, мм	Конечное содержание воды в масле, %	Степень осушки, %
1,0—1,5	0,0031	63
1,5—2,0	0,0026	69
2,0—3,0	0,0019	78
3,0—4,0	0,0010	88
4,0—5,0	0,0014	84
5,0—6,0	0,0017	80
6,0—7,0	0,0021	75
7,0—8,0	0,0027	68

Таблица 3

Изменение содержания воды от количества осуженного масла

Количество осуженного масла, кг	Весовое соотношение цеолит/масло	Конечное содержание воды в масле, масс. %	Степень осушки, %
4	1 : 12	0,0005	94
8	1 : 24	0,0007	92
10	1 : 30	0,0010	88
12	1 : 36	0,0013	86
14	1 : 42	0,0015	83
16	1 : 48	0,0018	80
18	1 : 54	0,0020	78
20	1 : 60	0,0023	74
22	1 : 66	0,0026	69

Была изучена осушка трансформаторного масла клиноптилолитом в динамических условиях. В адсорбер длиной 250 мм помещали 300 г клиноптилолита зернения 4—5 мм, предварительно прокаленного при 325—350° в течение трех часов. Средняя скорость фильтрации масла 5,5—6 мл/мин. Температура масла при контактировании 25°. Для

осушки брали отработанное масло с пробивным напряжением 12 кВ, содержащее 0,009% воды. Способность клиноптилолита сорбировать воду из масла оценивалась до проскоковой концентрации 0,002% и результаты приведены в таблице 3.

Из полученных результатов видно, что проскоковая концентрация достигается после пропускания 18 кг масла. Расход адсорбента составляет 1,8% от массы осущененного масла. Пробивное напряжение средней пробы высущенного масла составляет 60—65 кВ.

Таким образом, применение природного клиноптилолита в качестве адсорбента обеспечивает эффективную осушку трансформаторного масла, пробивное напряжение повышается до 60—65 кВ, а расход сорбента не превышает 2%.

Исходя из вышеприведенного, можно сделать вывод, что применение для осушки трансформаторного масла высокоэффективного, дешевого и доступного адсорбента — природного клиноптилолита, запасы которого велики на территории СССР, вместо дорогостоящего промышленного алюмосиликатного адсорбента, оправдано и его можно рекомендовать для практики.

Тбилисский государственный университет

Поступило 31.03.1985

Б. ПИРТШХАЛАВА, Р. СИРАДЗЕ

БАШСШВАРИ САКХАЕСЕОКАТМНР ზეთის კლინიკულოლითით  
გაშრობის გამოვლენა

რ ე ზ ი უ მ ე

ნამუშევარი სატრანსფორმატორო ზეთის გასაშრობად გამოყენებულია საქართველოს სსრ (ხეკორძული) ბუნებრივი საბადოს კლინიკულოლითი. შესწავლილია კლინიკულოლითის წინასწარი ორგული დამუშავების ტემპერატურისა და მისი მარცვლების ზომის გავლენა ზეთის გაშრობის სიღრმეზე. დადგენილია, რომ ზეთის გაშრობის მაქსიმალური უნარით ხასიათდება წინასწარ 325—350°-მდე გახურებული 3—5 მმ-იანი მარცვლების მქონე კლინიკულოლითი.

შესწავლილია ზეთის გაშრობა დანამიურ პირობებში 25°-ზე. ადსორბებული კლინიკულოლითის გამოყენება უზრუნველყოფს ნამუშევარი სატრანსფორმატორო ზეთის ეფექტურ გაშრობას — ზეთის გამრღვევი ძაბუ 10—12 კილოვოლტიდან მატულობს 60—65 კილოვოლტმდე, ხოლო დახარჯული აღსორებენტის რაოდენობა არ აღემატება გაშრობადი ზეთის მასის 2%-ს.

N. I. PIRTSKHALAVA, R. V. SIRADZE

AN INVESTIGATION OF DRYING OF WASTE TRANSFORMER OIL  
BY CLINOPTILOLITES

#### Summary

Clinoptilolites from the Georgian SSR deposit (Khekordzula) were used for drying of waste transformer oils. The influence of the temperature of preliminary thermal treatment of clinoptilolites and the size of grains upon depth of drying was investigated. It was established that clinoptilolites

preliminary heated at temperature 325—350°C and containing grains from 3 to 5 milimetres in size have the maximal capacity of oil drying.

The drying of oil was investigated in dynamic conditions at temperature of 25°C. The application of clinoptilolites as absorbent provides efficient drying of transformer oil, the breaking tensity of oil increases from 10—12 to 60—65 kW, while the amount of the used adsorbent is not more than 2% of the dehydrated oil amount.

#### ©08066676 — ЛИТЕРАТУРА — REFERENCES

1. Маневич Л. О., Осушка масла цеолитами и дегазация, М.: «Энергия», 1980.
2. Пигузова Л. И., Высококремнеземные цеолиты и их применение в нефтепереработке и нефтехимии, М.: «Химия», 1974.
3. Клиноптилолит. Труды симпозиума по вопросам исследования и применения клиноптилолита, Тбилиси, «Мецниереба», 1977.
4. Мамедов И. И., Цицишвили Г. В., Андроникашвили Т. Г. и др. Известия АН ГССР, серия химическая, 1977, т. 3, № 3, 282—287.
5. Мамаладзе И. Б., Кешелава В. Г., Электрические станции, 1980, II, 64—65.
6. Бенашвили Е. М., Учанеишвили Т. Г., Гвенцадзе Э. В., Беридзе Г. Ю. Наука производству, Тбилиси, «Мецниереба», 1983, т. 5, с. 198—205.

## ТЕХНОЛОГИЯ

УДК 669.333.7

Г. Д. КАРАШВИЛИ, Н. П. КИКНАДЗЕ, Р. И. АГЛАДЗЕ, В. Ю. МИНДИН

## К МЕТОДИКЕ ИЗМЕРЕНИЯ $E_{\text{н}}$ ПРИ ГИДРОМЕТАЛЛУРГИЧЕСКОЙ ПЕРЕРАБОТКЕ МЕДЬСОДЕРЖАЩИХ КОНЦЕНТРАТОВ

В настоящее время возрос интерес к переработке медьсодержащих концентратов низкотемпературными гидрометаллургическими методами [1, 2], обладающими рядом преимуществ по сравнению с пирометаллургическими, в том числе — возможностью переработки сравнительно бедных концентратов и отсутствием выбросов, загрязняющих воздушный бассейн.

Реализовать все возможности гидрометаллургических процессов возможно только при оптимальном управлении этими процессами, а для этого необходимо определить наиболее информативные параметры этих процессов и изыскать возможности оперативного контроля этих параметров.

Так как в основе гидрометаллургической переработки медьсодержащих концентратов лежат окислительно-восстановительные реакции, то окислительно-восстановительный потенциал раствора ( $E_{\text{н}}$ ) оказывает существенное влияние на основные показатели процесса.

Несмотря на то, что методика измерения  $E_{\text{н}}$  достаточно хорошо отработана [3, 4], необходимо в каждом конкретном случае и, особенно, при измерениях в агрессивных средах подобрать материал индикаторного электрода. Именно этому вопросу — подбору индикаторного электрода для измерения  $E_{\text{н}}$  в процессах выщелачивания медных концентратов в сильно кислых средах посвящена данная работа.

### Методика эксперимента

Метод определения  $E_{\text{н}}$  — прямое измерение (регистрация) потенциала индикаторного электрода относительно электрода сравнения.

Индикаторные электроды — платиновые ЭПВ-1, ЭТПА-01М, электрод из спектрального графита ( $D = 8 \text{ мм}$ ,  $l = 30 \text{ мм}$ ), электрод из стеклоуглерода -СУ ( $D = 1,5 \text{ мм}$ ,  $l = 15 \text{ мм}$ ).

Электрод сравнения — насыщенный хлор-серебряный электрод ЭВЛ-1М1. Измерительный прибор — вольтметр ЦЛА ( $R_{\text{вх}} = 10^{12} \text{ Ом}$ ), регистрирующий прибор — автопотенциометр КСП-4, схема установки — на рис. 1.

Проверка работоспособности всех индикаторных электродов проведена в растворе ферро-феррицианида калия. Для определения работоспособности исследуемых электродов в условиях, экстремальных для реального эксперимента (по соотношению компонентов, по концентрации кислоты и т. д.), были использованы растворы соляной, азотной и серной кислот, в которые раздельно и совместно вводились диоксид марганца, ионы закисного и окисного железа, халькопирит. Все опыты проводились при температуре кипения растворов (101—103°).

Основные вопросы, которые нас интересовали: стойкость электродов в условиях эксперимента, стабильность и совпадение измеренных значений потенциалов, стабильность потенциалов во времени, воспроизведимость результатов.

Электрод, с неудовлетворительным результатом на одном из этапов, в остальных этапах не участвовал. Исключение было сделано для платинового электрода ЭПВ-1 по причинам, которые будут разъяснены ниже.

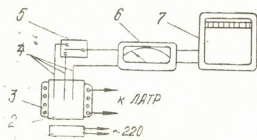


Рис. 1. Схема установки: 1 — магнитная мешалка, 2 — реактор, 3 — нагреватель, 4 — электроды, 5 — переключатель, 6 — высокомомный вольтметр, 7 — автопотенциометр

### Коррозионная стойкость электродов

Для определения стойкости были проведены опыты в наиболее агрессивной среде «соляная кислота — диоксид марганца» при соотношениях компонентов, вызывавших выделение хлора. В этих условиях плечочный платиновый электрод оказался нестойким, хотя в первый момент на нем удалось зафиксировать потенциал хлора. Можно предположить, что и монолитный платиновый электрод будет разрушаться в этих условиях, однако при осуществлении процесса в укрупненном масштабе возможно создание устройств сигнализации и регулирования, предотвращающих достижение системой потенциала выделения хлора.

Стойкость остальных электродов в этом растворе оказалась удовлетворительной. В растворах остальных кислот с указанными выше добавками все электроды показали одинаковую стойкость.

### Стабильность и совпадение измеренных значений потенциалов

Наихудшие результаты в этой серии опытов показали графитовые электроды. Они существенно инерционны и плохо «чувствуют» изменение  $E_h$ , особенно в области повышенных значений этой величины. Так, при последовательном введении в раствор серной кислоты двуокиси марганца, хлорида натрия и ионов двухвалентного железа на стеклоуглеродном и платиновом электродах были получены четкие скачки  $E_h$  (рис. 2) в отличие от графитового электрода.

### Воспроизводимость результатов

На электродах из СУ и Pt воспроизводимость проверялась многократным измерением  $E_h$  в одних и тех же средах в возможно более идентичных условиях (состав раствора, температура). Наибольшее из зафиксированных различий между электродами одной марки составило 10 мВ, между СУ и Pt наибольшее различие составило 20 мВ.



На основе проведенных исследований мы остановили свой выбор на электродах из СУ и с использованием этих электродов провели опыты совместного выщелачивания халькопирита в солянокислом, сернокислом и азотнокислом растворах.

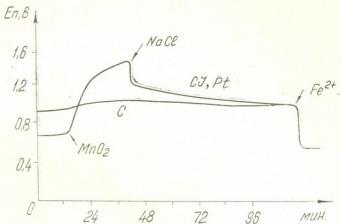


Рис. 2. Зависимость  $E_{Hg}$  от времени на электродах из стеклоуглерода (СУ), платины (Pt) и графита (C) при последовательном введении в 98%  $\text{H}_2\text{SO}_4$   $\text{MnO}_2$ ,  $\text{NaCl}$ ,  $\text{Fe}^{2+}$

Выщелачивание халькопирита в солянокислом растворе в присутствии диоксида марганца оказалось возможным вести в режиме без выделения хлора, благодаря контролю  $E_{Hg}$ .

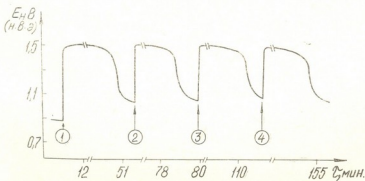


Рис. 3. Изменение  $E_{Hg}$  в системе халькопирит — серная кислота — диоксид марганца. Халькопирит — 20 г,  $\text{H}_2\text{SO}_4$  (30%) — 500 мл, стрелками указаны моменты добавления  $\text{MnO}_2$ : 1 — 5 г, 2, 3, 4 — по 2 г

В сернокислой среде измерение  $E_{Hg}$  при выщелачивании халькопирита позволяет четко идентифицировать присутствие в растворе ионов  $\text{Fe}^{2+}$  ( $E_{Hg} = 0.8 \text{ В}$ ) и тем самым определить моменты времени, в которые необходимо добавлять к смеси диоксид марганца (рис. 3).

Измерение  $E_{Hg}$  при выщелачивании халькопирита в азотнокислой среде позволяет определить время, когда в раствор необходимо добавить азотную кислоту.

На основе вышеизложенного можно утверждать, что по совокупности положительных свойств наиболее пригоден для целей измерения  $E_m$  в исследованных в данной работе системах электрод из стеклоуглерода.

Грузинский политехнический  
институт им. В. И. Ленина

Геологический институт  
им. А. И. Джанелидзе АН ГССР

Поступило 18.04.1985

8. უკრაშვილი, 6. გიგანაძე, 6. აგლიაძე, 3. მიხეილი

სისტემური კონფიგურაციის პლატფორმასთან ერთად განვითარება გარემონტის სისტემა.

ԷԱԿԱՑՈՒՅՈՒՆ

69803

შესწოვლითა სპილენძშემცველი სულფიდური კონცენტრატების მარილ-შეფავა, გოგირდმეტა და აზოტმეტა სსნახებით ჰიდრომეტალურგიული გაღმუ-შევების პროცესში უანგვა-ალლევნითი პოტენციალის გაზომების პლატინის, გრაფიტისა და მინა-ნახშირბადის ელექტროდების შერჩევის საკითხი. მიღებუ-ლი მონაცემების განზოგადების შედეგად, მოცულმულ სისტემებში E<sub>h</sub> გაზომეთ-სათვის საუკეთესოდ არის მინა-ნახშირბადის ელექტროდი.

G. D. KARASHVILLI, N. P. KIKNADZE, R. I. AGLADZE, V. YU. MINDIN

## ON THE METHODS OF E<sub>II</sub> MEASUREMENTS IN HYDROMETALLURGIC REPROCESSING OF CONCENTRATES CONTAINING COPPER

## Summary

The applicability of electrodes made of platinum, graphite and glass-carbon for measurements of the reduction-oxidation potential in the processes of hydrometallurgic reprocessing of sulfide concentrates containing copper in solutions of hydrochloric, sulfuric and nitric acids has been studied.

By sum of indices glass-carbon electrode is most suitable for  $E_h$  measurements.

ଶ୍ରୀମତୀ କୁମାରୀ – ЛИТЕРАТУРА – REFERENCES

1. Цейблер А. А. Цветные металлы, 1976, № 5, с. 26—29.
  2. Агладзе Р. И., Кикинадзе Н. П., Миндин В. Ю. Авт. свид. СССР, № 694555, Б. И. № 40, 1979, с. 98.
  3. Захаревский М. С. Оксредметрия, М.: Химия, 1967.
  - 4 Заходякин А. А., Ивановский В. В., Шеерсон Я. М. Авт. свид. СССР, № 863694, Б. И. № 34, 1981, с. 142.

УДК 661.181.1

К. К. ДЖАПАРИДЗЕ, П. Д. ЦИСКАРИШВИЛИ, Н. А. ТАРАШВИЛИ,  
Н. З. ХОТЕНАШВИЛИ

## СМОЛЯНОЙ ЛИПТОБИОЛИТ В КАЧЕСТВЕ СЫРЬЯ ДЛЯ ПОЛУЧЕНИЯ ИОНИТОВ

В настоящее время известно большое количество ионообменных материалов, широко применяемых в производстве.

Из твердых горючих ископаемых иониты, в частности, катиониты получаются как из торфа, так и из бурых и каменных углей.

Смолянолиптобиолитовый уголь отличается от других твердых горючих ископаемых большой твердостью. Механическая прочность — важная характеристика для всех видов ионитов. Поэтому, исследование ткибульского смоляного липтобиолита, как сырья для получения ионитов, представляет значительный интерес.

В литературе имеются сведения о сульфировании концентрата обогащенного рабдонисситового угля, предварительно хлорированного, а затем обработанного бензолом в присутствии треххлористого алюминия [1].

Целью данной работы является сульфирование природного ткибульского липтобиолитового угля и исследование полученных при этом продуктов.

Высокомолекулярное вещество смоляного липтобиолита является весьма интересным сырьем с точки зрения его химической переработки, однако его обогащение связано с определенными трудностями. Предложено множество технологических схем обогащения смоляного угля, однако практического осуществления в производственных масштабах они не нашли ввиду больших потерь угля (подразумевается получение концентрата с зольностью 7—10%).

Для сульфирования применялся высокозолотый (до 40%) природный липтобиолит, т. к. при обработке серной кислотой зольность его значительно уменьшается (табл. 1). Размеры частиц концентрата составляли 0,5—1,6 мм.

Как сульфирующий агент, серная кислота применяется в большом избытке, так как в процессе сульфирования в реакционной массе накапливается вода, и в результате этого концентрация кислоты снижается. Наряду с уменьшением активности кислоты, по мере ее разбавления начинается обратный сульфированию процесс — гидролитическое расщепление сульфокислоты [2].

Соотношение угля с 98%-й серной кислотой в наших опытах составляло соответственно 1 : 5.

Для опытов брали колбу с обратным холодильником и мешалкой. Смесь кислоты и концентрата перемешивалась при комнатной температуре в течение 30 минут, а затем отстаивалась при различных конечных температурах в течение 5 часов. После окончания опыта охлажденная реакционная масса промывалась дистиллированной водой до нейтральной реакции и доводилась до воздушно-сухого состояния.

Термическая обработка смеси осуществлялась в интервале температур 130—190°.

В результате взаимодействия угля с концентрированной серной кислотой образуется продукт сульфирования смоляного липтобиолита, который заметно отличается от исходного продукта как ~~внешним~~ видом, так и составом и свойствами.

Сульфированный липтобиолитовый уголь — хрупкий продукт черного цвета с повышенной гигроскопичностью. По сравнению с исходным сырьем сульфопродукт угля характеризуется повышенным содержанием серы и кислорода (табл. 1), указывающим на протекание в органической массе липтобиолита процессов как сульфирования, так и окисления.

Таблица 1  
Влияние температуры сульфирования на свойства сульфопродуктов

Температура сульфирования, °C	Зольность сульфопродукта, %	Элементный состав органической части, %			
		C	H	S	(O + N) по разности
130	23	59,14	8,16	3,90	28,80
150	19	57,20	6,77	5,15	30,88
170	17	56,70	6,00	5,10	32,20
190	12	57,80	4,90	3,64	33,66

Содержание серы в ионогенных группах сравнительно ниже общего содержания серы в сульфопродукте. Такое расхождение объясняют наличием «неактивной» ее формы в сульфоугле [3].

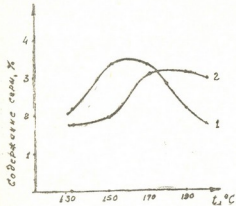


Рис. 1. Зависимость содержания серы в сульфоугле от температуры процесса.

1. Содержание общей серы за вычетом серы исходного угля, %.

2. Содержание серы в ионогенных группах, %.

Содержание в продуктах сульфирования липтобиолитового угля кислых групп (сульфокарбоксильных и фенольных гидроксилевых) определяли известными методами [4, 5].

Сульфирующее действие серной кислоты на липтобиолит выражается появлением в продуктах его сульфирования сильнокислотных сульфогрупп, окислительное же действие кислоты при повышении температуры сульфирования подтверждается увеличением содержания слабокислотных карбоксильных групп в сульфопродукте. Наличие вышеуказанных групп придает сульфопродукту ионообменные свойства.

На рисунке 2 дается изменение содержания ионогенных групп сульфопродукта липтобиолитового угля в зависимости от температуры его сульфирования.

Увеличение полной обменной емкости (статической) сульфопродукта с ростом температуры сульфирования угля, главным образом,

обусловлено увеличением слабокислотных групп (рис. 2). С ростом температуры сульфирования в сульфопродукте липтобиолита одновременно увеличивается содержание сильнокислотных групп, но сравнительно незначительно. Среднее значение этого показателя по величине статической обменной емкости сульфицированного при 170–180° липтобиолита составляет 0,5–0,8 мг-экв/г.

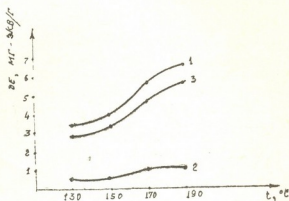


Рис. 2. Влияние температуры сульфирования на содержание в сульфогеле кислых групп.

1. Суммарное содержание кислотных групп/ПСОЕ/, мг-экв/г.
  2. Содержание сильнокислотных групп/СОЕ/, мг-экв/г.
  3. Содержание слабокислотных групп (по разности), мг-экв/г.

Что же касается полной обменной емкости сульфолиптибиолита, то она значительно превышает соответствующий показатель сульфоуглей [4,6] и равняется 5—6 мг-экв/г.

После обработки концентрированной серной кислотой липтобиолит при нагревании не переходит в пластическое состояние и не спекается, но приобретает способность частично растворяться в 5%-ом растворе  $\text{NaOH}$  [2, 4].

Растворимость в щелочи сульфолиптиобилита увеличивается с повышением температуры его получения, — растворы становятся более темными.

Растворимость сульфолиптиолита в значительной мере зависит также от продолжительности контакта липтиолита с серной кислотой.

Для удаления из сульфопродуктов органических и неорганических примесей, внесенных при изготовлении ионитов, они подвергаются обработке в кислоте (5% HCl) и в щелочи (5% NaOH). Полная обменная емкость сульфированного липтобиолитового угля после такой обработки изменяется незначительно.

## Институт физической и органической химии им. П. Г. Меликишвили АН ГССР

Поступило 28.11.1984

၄. အုပ္ပန်ရေပါ, ၅. ဒေသပိုက်ခွဲမြော်, ၆. တာနာခွဲမြော်, ၇. ဘဏ္ဍာဝေခွဲမြော်

სისრუანი მიზანის მიღებით, 6030 სოჭის ქადაგი იმპერიას შესაძლებელი

69802

ნატარებულია გალონაცრიანი (40%) ტყიბულის ფისვანი ნახშირის სულიორება 130—190° ტემპერატურულ ინტერვალში.

სულიერების პროცესში ნახშერის ნაცრიანობა მცირდება და  $190^{\circ}$ -ზე მიღებულ პროცესტში შეაღებს 12%.

სულფინების ტემპერატურის ზრდით სულფონაზშირის სრული გაცვლითი ტევადობა იზრდება და  $170-180^{\circ}$ -ზე NaOH-ის მიხედვით შეადგენ 5—6 მგ/მ<sup>2</sup>/2.

WAX LIPTHOBIOLITE AS A RAW MATERIAL FOR  
OBTAINING OF IONITES

S u m m a r y

The sulphurization of the high ash-content Tkibuli wax coal has been conducted in the temperature range 130—190°.

The ash-content diminishes in the sulphurization process and is equal to 12% in the final product obtained at 190°.

The total exchange capacity of sulphur-coal increases with the increase of sulphurization temperature, and is 5—6 mg-equiv/g at 170—180° according to NaOH.

ლიტერატურა — REFERENCES

1. Сб. Исследования в области синтеза и модификации высокомолекулярных соединений. Тбилиси, изд. «Мецниереба», 1979, 129.
2. Аронов С. Г., Склар М. Г., Тютюнников Ю. Б., Комплексная химико-технологическая переработка углей, К. изд. Техника, 1968, 105, 109.
3. Чешко И. Д., Кутуев Р. Х., Яковлев В. И., Проскуряков В. А., Смирнова Н. Д., Химия твёрдого топлива, 1979, 4, 74.
4. Салладзе К. М., Пашков А. Б., Титов В. С., Ионообменные высокомолекулярные соединения, М., изд. ГХИ, 1960, 89, 117.
5. Ольшанова К. М., Потапова М. А., Морозова Н. М., Практикум по хроматографическому анализу, М., изд. Высшая школа, 1970, 156.
6. Поконова Ю. В., Химия смолистоасфальтеновых веществ нефти. Л., изд. Ленинградского технологического института им. Ленсовета, 1978, 2.



УДК 546,47 : 544,6

Т. Н. ХОПЕРИЯ, М. Г. МГАЛОБЛИШВИЛИ, Г. И. ДЖИШКАРИАНИ,  
 З. Ш. ГЛОНТИ

## ИЗВЛЕЧЕНИЕ ИОНОВ НИКЕЛЯ ИЗ ОТРАБОТАННЫХ РАСТВОРОВ ХИМИЧЕСКОГО НИКЕЛИРОВАНИЯ

В процессе химического никелирования, после определенного времени рабочий раствор истощается и становится непригодным для дальнейшего использования. Это происходит по нескольким причинам: снижается pH раствора, увеличивается концентрация фосфит-ионов и выпадает в осадок фосфит никеля, уменьшается концентрация ионов никеля (II), увеличивается концентрация мешающих ионов [1—3]. Все это заметно снижает скорость реакции и качество покрытия. Однако при одноразовом использовании раствора часто в нем остается почти одна треть первоначального количества ионов никеля, возвращение которого в производство имеет большое значение. С другой стороны, ионы никеля являются токсичными, и их удаление из сточных вод представляет несомненный интерес [4—6].

Для ионообменного извлечения никеля (II) нами был подобран сорбент-катионит КУ—2 в H-форме. Была установлена емкость катионита по никелю — полная динамическая обменная емкость (ПДОЕ) — 5,88 ммоль/г при pH 4—4,5. Элюент, обеспечивающий практически полную десорбцию ионов  $\text{Ni}^{2+}$ , — 10:-20%  $\text{H}_2\text{SO}_4$  (десорбируется 95—98%  $\text{Ni}^{2+}$ ).

Отработанный раствор химического никелирования кроме других примесей содержит ионы  $\text{Cu}^{2+}$ ,  $\text{Zn}^{2+}$  и  $\text{Fe}^{3+}$ , которые при неоднократном использовании раствора накапливаются в нем и мешают процессу никелирования.

Для отделения ионов меди от ионов никеля было использовано свойство ионов меди в присутствии избытка тиомочевины образовывать прочный комплексный ион состава  $\text{Cu}(\text{TM})_4^+$ , константа нестабильности которого порядка  $10^{-12}$  [7]. В тех же условиях ионы никеля (II), цинка (II) и железа (III) с тиомочевиной образуют либо малоустойчивые соединения, либо совсем их не образуют.

Важной особенностью комплексного иона меди с тиомочевиной является его способность поглощаться катионитами из сильнокислых растворов. В дальнейшем катионит регенерируется 5—10%  $\text{H}_2\text{SO}_4$  с добавлением 0,5%  $\text{H}_2\text{O}_2$  [8].

В таблице 1 приводятся результаты опытов по поглощению комплексных ионов  $\text{Cu}(\text{TM})_4^+$  из сильнокислых растворов катионитом КУ—2.

Через колонку с катионитом КУ—2 в H-форме пропускали 100 мл раствора, который содержал 100 мг  $\text{Ni}^{2+}$ , 100 мг  $\text{Cu}^{2+}$ , 50 мг  $\text{Zn}^{2+}$  и 50 мг  $\text{Fe}^{3+}$ . В исходный раствор предварительно добавляли 0,7 г тиомочевины для связывания меди в комплексный катион. После пропускания раствора катионит промывали 100 мл дистиллированной воды (для

удаления несвязанной тиомочевины). Затем ионы  $\text{Ni}^{2+}$ ,  $\text{Zn}^{2+}$ ,  $\text{Fe}^{3+}$  десорбировали 20%-ной  $\text{H}_2\text{SO}_4$ . Надо отметить, что ионы  $\text{Zn}^{2+}$  во время промывания водой (перед десорбцией) частично вымываются ( $10 \div 15\%$ ). Результаты опытов приводятся в табл. 2.

Таблица 1

Поглощение  $\text{Cu}(\text{TM})_4^+$  катионитом КУ-2 из сернокислых растворов различной концентрации

Состав исходного раствора			Сорбировано $\text{Cu}^{2+}$	
$\text{Cu}^{2+}$ , мг	TM, %	$\text{H}_2\text{SO}_4$ , %	мг	%
50	0,7	5	41,9	84,0
50	0,7	10	49,6	99,0
50	0,7	20	49,2	99,0
50	0,7	30	48,2	97,0

Таблица 2

Содержание ионов  $\text{Ni}^{2+}$ ,  $\text{Zn}^{2+}$  и  $\text{Fe}^{3+}$  в элюате после их десорбции  $\text{H}_2\text{SO}_4$  различной концентрации

Ион	Содержание в исходном растворе, мг	Содержание в элюате, мг			
		конц. $\text{H}_2\text{SO}_4$ , %	5	10	20
$\text{Ni}^{2+}$	100	89,8	96,5	95,1	
$\text{Zn}^{2+}$	50	36,9	39,6	38,9	
$\text{Fe}^{3+}$	50	45,2	46,0	45,9	

Как видно из табл. 2, ионы никеля, железа и цинка практически полностью переходят в фильтрат и отделяются от ионов меди.

На следующем этапе  $\text{Ni}^{2+}$  отделяется от остальных мешающих ионов ( $\text{Fe}^{3+}$ ,  $\text{Zn}^{2+}$ ) на анионите АВ-17 из солянокислых растворов. В

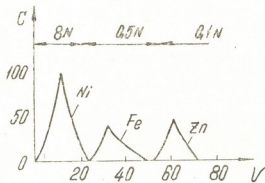


Рис. 1. Кривые элюирования ионов никеля (II), железа (III) и цинка (II) на анионите АВ-17. С — содержание элементов во фракции элюата, мг/10мл. V — объем элюата, мл.

основе этого разделения лежит свойство ряда катионов, в частности, железа (III) и цинка (II) образовывать хлоридные анионные комплексы в солянокислых растворах высокой концентрации. В тех же условиях никель (II) не образует анионных комплексов [9].

Через колонку с анионитом АВ-17 в Cl<sup>-</sup> форме пропускали 20 мл раствора, содержащего 100 мг Ni<sup>2+</sup>, 50 мг Fe<sup>3+</sup> и 50 мг Zn<sup>2+</sup> в 8 N растворе HCl. При этом Fe<sup>3+</sup> и Zn<sup>2+</sup> сорбировались в виде комплексных анионов [FeCl<sub>6</sub>]<sup>4-</sup> и [ZnCl<sub>4</sub>]<sup>2-</sup>, а никель практически не сорбировался и проходил в фильтрат. Затем последовательно вымывались Fe—0,5 N HCl и Zn—0,1 N HCl.

Результаты экспериментов приводятся на рисунке.

Научный центр химической  
металлизации при институте  
металлургии АН ГССР

Поступило 08.02.1985

თ. ხოჭარია, ა. გალობლიშვილი, გ. ჯიშკარიანი, ზ. გლონტი

სიცოდის იონების ამონამდა ჰიდროგენური მონიცეპატი ხასახიანა

### რეზიუმე

ქიმიური მონიცეპატის ნამუშევარი ხსნარებიდან ნიკელის რეგენერაციისათვის შეტყობინებულია სორბენტი და დესორბენტი, დადგენილია სორბციისა და დესორბციის ოპტიმალური პირობები.

მონიცეპატის ნამუშევარი ხსნარები შეიცავს მინარევებს, რომელთა მოცილება აუცილებელია. სპილენძის დასაცილებლად ჩვენს მიერ გმოყენებულია მისი თვისება თოშარდოვანისთვის მოგვცეს მდგრადი კომპლექს-იონი Cu(TM)<sup>4+</sup> გაშინ, როდესაც Ni<sup>2+</sup>, Zn<sup>2+</sup> და Fe<sup>3+</sup> მასთან მდგრად კომპლექსებს არ იძლევიან. Cu(TM)<sup>4+</sup> ძლიერდება ხსნარებიდან სორბირდება კატიონიტ KY-2-ზე და 10% H<sub>2</sub>SO<sub>4</sub>-ით Ni<sup>2+</sup>, Zn<sup>2+</sup> და Fe<sup>3+</sup>-ის ელუირებისას არ ვადადის ფილტრატში. ამ ელუირების შემდგომი დაცილება წარმოებს ანიონიტ AB-17-ზე. პროცესს საფუძვლად უდევს ძლიერდება გარემოში Fe<sup>3+</sup> და Zn<sup>2+</sup>-ის ქლორიდული კომპლექსების წარმოქმნა, რომლებიც სორბირდებიან ანიონიტზე. ნიკელი გადაღის ფილტრატში.

T. N. KHOPERIA, M. G. MGALOBLISHVILI, G. I. JISHKARIANI, Z. SH. GLONTI  
REMOVING OF NICKEL IONS FROM THE WASTE SOLUTIONS OF  
ELECTROLYSIS NICKEL PLATING

### Summary

The nickel regeneration from the solution of electrolysis nickel plating is of great importance from the point of economy and for the protection of surroundings.

The used solution of electrolysis nickel plating contain much impurity as Fe<sup>3+</sup>, Cu<sup>2+</sup>, Zn<sup>2+</sup>. It is necessary to withdraw them. We used the property of copper to make stable complex of copper ions with thiocarbamide whereas Ni and other elements don't make the stable complexes. This ion—complex of copper is sorbed on the cation KU—2 from the strong acid solution and then at elutriation of Ni<sup>2+</sup>, Fe<sup>3+</sup>, Zn<sup>2+</sup> 10% of H<sub>2</sub>SO<sub>4</sub> is not filtrated.

The sorbent and the optimal conditions of sorption and desorption are chosen. Then Ni<sup>2+</sup> is separated from Fe<sup>3+</sup> and Zn<sup>2+</sup> on the anionite AB-17. The separation is based on the formation of Fe<sup>3+</sup> and Zn<sup>2+</sup> chloride complexes in the acid medium which are sorbed on the anions, Ni<sup>2+</sup> passes into the filtrate.



1. Хоперия Т. Н. Химическое никелирование неметаллических материалов. Металлургия таллургия, 1982, 144 с.
2. Khoperia T. N. Proceedings of the 10<sup>th</sup> World Congress on metal Finishing, Kyoto, Japan, 1980, p 147—151.
3. Горбунова К. М., Никифорова А. А., Садаков Г. А. Итоги науки. Электрохимия, М.: ВИНТИИ, 1968, с. 5—55.
4. Очистка промышленных сточных вод предприятий цветной металлургии (сборник статей), Новосибирск, Зап. Сиб. кн. изд., 1966, 142 с.
5. Защита окружающей среды и техника безопасности в гальваническом производстве (материалы семинара), М., 1982, 148 с.
6. Смирнов И. Б. Очистка сточных вод от неорганических загрязнений за рубежом, М.: Цветметинформация, 1976, 98 с.
7. Яцимирский К. Б., Васильев В. П. Константы нестойкости комплексных соединений, М.: Изд. АН СССР, 1959, 206 с.
8. Быков И. Е. Изв. Сиб. отд. АН СССР, 1961, № 12, с. 72—77.
9. Преображенский В. К., Цвеховский В. П., Мельников В. Н. Радиохимия, 1960, № 1.



## КРАТКИЕ СООБЩЕНИЯ

УДК 541.128

Г. В. ЦИЦИШВИЛИ, А. В. ДОЛИДЗЕ, Г. И. БАЛАРДЖИШВИЛИ

### ПОЛУЧЕНИЕ МЕТИЛЦИКЛОПЕНТЕНОВ ДЕГИДРАТАЦИЕЙ ЦИКЛОГЕКСАНОЛА НА ЦЕОЛИТНЫХ КАТАЛИЗАТОРАХ

Возросший интерес к разработке способов получения циклопентеновых углеводородов обусловлен возможностью синтеза на их основе биологически активных соединений, а также перспективных номеров.

Известен ряд методов получения циклопентеновых углеводородов, но простотой технологического решения и высокими техническими показателями привлекает внимание способ синтеза метилцикlopентенов из циклогексанола. Ранее из циклических спиртов посредством серной кислоты [1] в присутствии окиси алюминия, активированного углем и промышленного алюмосиликата [2] были получены соответствующие циклопентеновые углеводороды. При дегидратации циклогексанола на природном алюмосиликате — гумбрине [3] замечено, что кроме дегидратации с получением циклогексана, частично происходит его последующая изомеризация. Изучена изомеризация циклогексана в метилцикlopентен при дегидратации циклогексанола над окисью алюминия [4] и с применением природного цеолита — клиноптилолита месторождения Ай-Даг Азербайджанской ССР [5]. В реакции дегидратации циклогексанола использован также цеолит типа У в Fe-форме [6].

С целью повышения выхода метилцикlopентенов при дегидратации циклогексанола был исследован ряд катализаторов, приготовленных на основе клиноптилолита содержащих пород Грузии (месторождение Тедзами), характеризующихся сравнительно большим содержанием железа [7]. Катализаторы получали методом нанесения, а также ионного обмена с использованием растворов соответствующих солей.

Таблица 1

Результаты изучения превращения циклогексана импульсным методом при 300°

Катализаторы	Состав катализата, % (масс.)			
	метилцикlopентены	метилцикlopентан	исходный циклогексен	бензол
Клиноптилолит (Кл)	15	0	85	0
Кл (5%нанесенного Fe)	6	0	74	20
Кл (активированный $H_3PO_4$ )	44	0	56	0
Кл (ионный обмен с $Ca^{2+}$ )	21	0	79	0
Кл (2% нанесенного Ni)	0	0	5	95
Кл (ионный обмен с $Fe^{3+}$ )	61	1	35	3

Предварительно для отбора изомеризующих катализаторов была изучена изомеризация циклогексана импульсным методом. Опыты проводились при 200—490° (табл. 1). При повышении температуры до 490° на клиноптиолите, активированном  $H_3PO_4$ , выход метилцикlopентенов увеличивается до 70%. На остальных катализаторах выход гораздо меньше. Еще более высокий выход метилцикlopентенов получается на клиноптиолите, содержащем ионы трехвалентного железа.

Дегидратацию циклогексанола в присутствии различных катализаторов проводили на установке проточного типа в температурном интервале 200—490° при объемной скорости до 0,3—0,5 ч<sup>-1</sup> (табл. 2).

Увеличение объемной скорости до 0,5 ч<sup>-1</sup> не способствует повышению доли изомеризации с получением метилцикlopентенов. Возрастание температуры несколько увеличивает выход целевых продуктов и в этом случае следует отметить, что на клиноптиолите, содержащем ионы  $Fe^{3+}$ , наблюдается значительное увеличение выхода метилцикlopентенов.

Таблица 2

Результаты изучения превращения циклогексанола проточным методом при 300°

Катализаторы	Состав катализата, % (масс.)			
	метилцикlopентены	метилцикlopентан	исходный циклогексан	бензол
Клиноптиолит (Кл)	2	0	93	5
Кл, активированный $H_3PO_4$	12	2	86	0
КлFe (нанесенный)	3	0	82	15
КлNi <sup>2+</sup> (ионный обмен)	16	2	82	0
КлNi (нанесенный)	0	0	96	4

Опыты, проведенные на укрупненной лабораторной установке с объемом катализатора, равным 300 мл, подтвердили полученные данные.

В результате проведенного исследования установлено, что катализаторы на основе природного цеолита — клиноптиолита можно успешно использовать для получения метилцикlopентенов из циклогексанола.

Институт физической и органической химии  
им. П. Г. Меликишвили АН ГССР

Поступило 20.11.1984

В. СОЛОДКОВСКИЙ, А. АРЛЮБОВ, В. НАДАЖИНОВСКИЙ

ВЕЛИКОЛУКОСКОВСКИЙ АЗОВСКИЙ ГОРОДОВЫЙ ЗАВОД  
ЗАВОДСКАЯ КОМПАНИЯ «ВЕЛИКОЛУКОСКИЙ»

6 9 9 0 7 3

კლინოპტილოლითსა და მის მოდიფიცირებულ ფორმებზე შესწავლილია ციკლოპენტენის დეპიდრატაცია გამდინარე მეთოდით და ციკლოპენტენის იქომერიზაცია — იმპულსური მეთოდით. დეპიდრატაცია ტარდებოდა 200—490° ინტერვალში, 0,3—0,5 სთ<sup>-1</sup> მოცულობითი სიჩქარის დროს. კლინოპტილოლითის ზოგიერთ მოდიფიცირებულ ფორმებზე ოპტიმალურ პირობებში მეთოლციკლოპენტენების გამოსავალი 85%-მდე გაიზარდა.

# SYNTHESIS OF METHYLCYCLOPENTHENES BY DEHYDRATION OF CYCLOHEXANOL ON ZEOLITE CATALYSTS

## Summary

Izomerisation of cyclohexane was studied by impulse method on clinoptilolite containing catalysts and their modified forms. Dehydration of cyclohexanol was studied by gas-flow method.

Dehydration was carried out in the temperature range from 200°—to 490° at volume velocity 0,3—0,5 hour<sup>-1</sup>.

The yield of methylcyclopentenes on some of modified clinoptilolites containing catalysts in optimal conditions is not less than 85%.

## ლიტერატურა — REFERENCES

1. Синтез органических препаратов, сб. 1, 1949, 509.
2. Шуйкин Н. М., Тулупова Е. Д., Остапенко Э. Г. Нефтехимия, 1966 т. 6, № 5, 764.
3. Арещидзе Х. И., Тавартиладзе Е. К. ЖПХ, 1949, т. 22, № 2, 119.
4. Мусаев М. Р., Мехтиев С. Д. Докл. АН Азерб. ССР, 1964, т. 20, № 5, 11.
5. Мусаев М. Р., Кличкова С. Н., Мехтиев С. Д. Докл. АН Азерб. ССР, 1964, т. 20, № 8, 27.
6. Левина С. А., Громова Г. К., Ермоленко Н. Ф., Николина В. П., Борисович А. Д., Прокопович А. А., Опелько А. И. Изв. АН БССР, сер. хим., 1970, № 1, 9.
7. Цицишвили Г. В., Андроникашвили Т. Г. Природные цеолиты и возможности их использования в народном хозяйстве, Тбилиси, Мецниереба, 1978.

УДК 661.871.16

Р. И. АГЛАДЗЕ, О. В. ОРЛОВА, Л. А. БЕРИШВИЛИ

## ВЛИЯНИЕ НЕКОТОРЫХ ФАКТОРОВ НА ПРОЦЕСС ЭЛЕКТРОДИАЛИЗНОЙ ОЧИСТКИ ДВУОКИСИ МАРГАНЦА

Создание высококачественных мембран из полимерных ионообменных материалов способствовало распространению электродиализа в электрохимической промышленности. Электронноселективная мембранные технология нашла широкое применение при очистке, разделении и концентрировании веществ без фазового превращения [1].

Ввиду простоты аппаратурного оформления технологического процесса и сравнительно низкого расхода электроэнергии, отказа от потребления химических реагентов, возможности осуществления автоматизированного непрерывного процесса, электродиализ в настоящее время зарекомендовал себя как один из самых экономичных и перспективных методов [2].

Крупнокристаллическая электролитическая двуокись марганца (ЭДМ), применяемая в качестве активного материала положительного электрода марганцево-цинковых сухих гальванических элементов, содержит примеси (как в химически связанном виде, так и в адсорбированном состоянии), от которых зависят электротехнические характеристики источников тока и сроки сохранности этих элементов.

К числу вредных примесей, которые накапливаются в составе активной двуокиси марганца в процессе электролиза [3] из сернокислых растворов сульфата марганца и оказывают отрицательное влияние на емкостные характеристики ЭДМ, в первую очередь относятся сульфат-ионы, содержание которых достигает 2% (в пересчете на  $\text{SO}_3$ ).

Поэтому вопрос разработки эффективных способов очистки ЭДМ от вредных примесей представляет собой актуальную задачу по повышению качества этой продукции.

Ранее нами была установлена возможность электродиализной очистки ЭДМ от ряда вредных примесей и изучено влияние ряда параметров на процесс очистки (величина напряжения тока, протекающего через электродиализатор, время процесса электродиализной очистки, различные соотношения твердой фазы к жидкости) [4].

Целью данной работы является изучение влияния размеров зерен ЭДМ и температуры электролита на процесс электролизной очистки и проверка качества очищенного продукта на электрохимическую активность и долгосрочность элементов, где применяется двуокись марганца.

Все эксперименты проводились в сконструированном нами лабораторном 3-х камерном электродиализаторе с использованием отечественных ионитовых мембран марок МА-40 и МК-40. Схема установки и методика проведения процесса электродиализной очистки описаны нами ранее [4].

Очистке подвергались порции ЭДМ, полученные в проблемной лаборатории сверхчистого марганца и его соединений Грузинского политехнического института им. В. И. Ленина, из сернокислых растворов 308

сульфата марганца (состав электролита: 50 г/л  $Mn^{2+}$  и 60 г/л  $H_2SO_4$ ;  $t = 95^\circ C$ ;  $Da = 1 A/dm^2$ ) на аноде, изготовленном из сплава титан марганец ( $TiMn 16$ ).

Эксперименты проводились при ранее установленных оптимальных условиях — напряжении 10 В и соотношении  $T : J = 1 : 3$  [4].

Согласно техническим условиям ЭДМ, применяемая в химических источниках тока МЦ-системы, должна содержать не менее 65% фракций, проходящих через сите № 0,07 и не менее 35%, — проходящих через сите № 0,21. В соответствии с этим, нами изучена эффективность электродиализной очистки образцов ЭДМ с размерами зерен  $\leq 0,07$  и  $> 0,07 \leq 0,21$  мм. Как показали эксперименты (рис. 1, I) в изученных

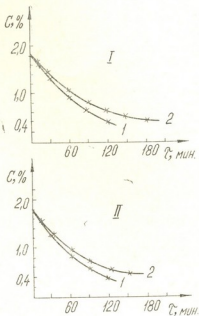


Рис. 1. Зависимость эффективности очистки ЭДМ (C, %) во времени (t, мин) от размера зерен (I) и температуры (II). 1 — для фракции  $< 0,07$  мм; 2 — для фракции  $< 0,21$  мм; 1<sup>1</sup> — при температуре  $55^\circ C$ ; 2<sup>1</sup> — при температуре  $20^\circ C$

пределах тонкость помола ЭДМ несущественно влияет на эффективность очистки во времени, что исключает необходимость разделения фракций ЭДМ перед ее электродиализной очисткой.

Изучение влияния температуры на процесс очистки ЭДМ (рис. I, II) показало, что в пределах  $20-55^\circ C$  этот параметр также несущественно влияет на эффективность очистки ЭДМ, которая может быть с достаточной полнотой осуществлена уже при комнатной температуре.

Нами определялись электротехнические характеристики образцов очищенной электродиализом ЭДМ путем изготовления из этих образцов элементов МЦ-системы типа карманных батарей (КБ), которые подвергались разряду в анодном режиме на постоянное внешнее сопротивление 117 Ом (см. табл. 1).

Разрядные характеристики элементов МЦ — системы типа КБ, приготовленных с использованием ЭДМ, полученной в проблемной лаборатории ГПИ им. В. И. Ленина, после ее очистки электродиализом

Содержание $\text{SO}_4^{2-}$ -ионов в ЭДМ (в пересчете на $\text{SO}_3$ ), %	$\text{MnO}_2$ общий, окс.,	$\text{MnO}_2$	Разрядные характеристики элементов (КБ) Режим разряда анодный, внешнее сопротивление 117 Ом				
			ЭДС, В	началь- ное напряже- ние, В	продолжи- тельность разряда, ч	Емкость, А·ч	
до очистки	после	%	%				
1,88	0,49	91,0	89,3	1,75	1,72	144	1,45
1,72	0,45	92,0	89,8	1,72	1,70	144	1,42
1,80	0,45	91,0	89,2	1,72	1,70	144	1,42

Как видно из приведенных в таблице 1 результатов, емкостные характеристики элементов, изготовленных из очищенной электродиализом ЭДМ, значительно превышают допустимые значения ( $1.25 \text{ A}\cdot\text{ч}$ ).

С учетом ранее полученных нами данных [4], можно рекомендовать следующие оптимальные условия электродиализной очистки ЭДМ: напряжение на электродиализаторе — 10 В; соотношение Т:Ж = 1:3; фракционный состав — соответствующий техническим условиям; температура 20—25°; время очистки — 2,5 ч.

## Грузинский политехнический институт им. В. И. Ленина

Поступило 12.04.1985

Digitized by srujanika@gmail.com

ზოგიერთი უამროვების გადაცემა განვითარების ორგანიზის ელექტროგაზისადმი

Page 6

“შესწოვლისა ფრაქტულა შედგნილობის და ტემპერატურის გავლენა ელექტროლიტური მანგნიუმის ორეანგის (003) ელექტროდიალიზური გზა-შენიდის ეთანაზურობაზე.

გამოვლინებულია ამ პარამეტრების უმნიშვნელო გავლენა, რაც იძლევა საშუალებას, რათა მდო-ს ელექტროდიალიზური გაწმენდა საკარისი ეფექტურობით განხორციელდეს ტექნიკური მოთხოვნილებების შესაბამისი მისი მარცვლების ზომების შემთხვევაში  $20-25^{\circ}\text{C}$  ტემპერატურის დროს (გაწმენდის დრო — 2,5 ს).

ელექტროლიზით გაშენდილი მემ-დან ღმისაცემული ელემენტების ტევადობის მაჩვენებლები (1,42—1,45 ა. ს) აღმატება ღსაშვებ სიღრღეს (1,25 ა. ს).

R. I. AGLADZE, O. V. ORLOVA, L. A. BERISHVILI

## THE INFLUENCE OF SOME FACTORS ON THE PROCESS OF ELECTRODIALYSIS PURIFICATION OF MANGANESE DIOXIDE

## Summary

The influence of fractional composition and temperature on the effectiveness of electrodialysis purification of electrolytic manganese dioxide was studied.



Unsignificant influence of these factors was elicited, which made possible to carry out the process of electrodialysis purification of EDM with sufficient effectiveness, at its fineness of grinding, corresponding to the technical conditions and at temperature 20—25°C (time of purification 2,5 A·h). Capacitance characteristics of the elements, produced from the purified by electrodialysis EDM, make 1,42—1,45 A·h, significantly exceeding the possible values (1,25 A·h).

#### ЛІТЕРАТУРА — REFERENCES

1. Сб. Ионообменные мембранны в электродиализе. Под ред. Салладзе К. М., М., 1970.
2. Гребенюк В. Д. Электродиализ. Киев: Техника, 1976.
3. Зауташвили Л. А., Агладзе Р. И., Ванидзе К. Ш. Сб. Электрохимия марганца, т. VI, Тбилиси, Мецниереба, 1975, 152—159.
4. Агладзе Р. И., Орлова О. В., Вардзишивили М. А. Известия АН ГССР, серия химическая, 1979, т. 5, № 3, 270—273.

УДК 541.183 + 543.422.25

В. Г. ЧИЧИШВИЛИ

# ОБОБЩЕННЫЕ ПРОЦЕССЫ ДИФФУЗИИ В ГЕТЕРОГЕННОМ ОБЪЕКТЕ

В структурно-динамических исследованиях гетерогенных объектов релаксационными методами основной проблемой интерпретации экспериментальных данных является вопрос описания характерной зависимости релаксационных параметров от времени в виде степенных функций с дробными показателями. В ЯМР спектроскопии эта особенность учтена в модели гетеродинамической системы [1], ключевым моментом которой является описание обобщенной диффузии как взаимосвязи между Лаплас-образами времени ( $s$ ) и обобщенных координат ( $p$ ). В [1] эта взаимосвязь установлена на основе обобщения уравнения, выведенного Слонимским [2], и может быть записана следующим образом:

$$S = \sum_{n=1}^{\infty} D_{2n} \quad (1)$$

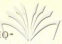
Величины  $D_{2n}$  рассматриваются как моменты обобщенного диффузионного процесса в пространстве обобщенных координат  $X$ , изменения которых при движении молекул в общем случае не являются марковским случайным процессом [3].

В данной работе приводятся результаты расчетов моментов для различных вероятностных моделей «движения» в пространстве  $X$ . Без потери общности координату  $X$  можно определить как безразмерную. К примеру, таким образом можно описать относительные изменения частот молекулярных движений в различных областях гетерогенной среды, распределение потока молекул в порах адсорбента и т. п. В качестве временного масштаба удобно определить время «неподвижности»  $\tau_X$  в пространстве  $X$ , а для отражения молекулярного движения в нем достаточно рассмотреть дискретные вероятностные модели.

В случае задания модели смещений в виде распределения Пуассона, в соответствии с уравнениями баланса [1, 2] можно получить следующее выражение:

$$D_{2n} = (\tau_X \exp(L) (2n)!)^{-1} \sum_{k=1}^{\infty} L^k k^{2n}/k!, \quad (2)$$

где  $L$  — математическое ожидание смещения, которое может быть задано для конкретной гетерогенности. На ЭВМ «АДТ-4500» (ЧССР) были рассчитаны семейства кривых  $D_{2n}(L)$  для  $n = 1 \div 8$  и  $L = 0.1 \div 12$  (с шагом 0,1). Как и следовало ожидать, при  $L \leq 1$  в ряде (1) безусловно доминирует слагаемое с  $D_2$ , т. е. процесс описывается коэффициентом диффузии и соответствует винеровскому случайному блужданию с фрактальной траекторией [4], имеющей производную порядка 1/2. При  $L > 2$  доминирующую роль начинают играть моменты более высоких порядков, и порядок производной траектории понижается.



до  $1/2n$ . Для практических применений важна область  $n < 5$ , т. к. погрешность экспериментального определения дробного показателя степени не менее 10%. Анализ огибающей семейства  $D_{2n}(L)$  приводит к следующим соотношениям:

$$n = 1,2L - 0,4, \quad \log(\tau_X D_{2n}) = 0,5n. \quad (3)$$

При более высоких значениях  $L$  Лаплас-образы  $\tau_X$  и  $r$  можно считать несвязанными, следовательно указанные выше явления в релаксации могут проявляться как гетеродинамизм при структурно-динамической сопоставимости молекулярных реориентаций и гетерогенности.

Распределение Пуассона применимо, если вероятность «события» (смещения в пространстве  $X$ ) меньше 0,1. При больших вероятностях события  $\theta$  корректнее применять геометрическое распределение. Выражение для моментов в этом случае можно получить в виде:

$$D_{2n} = \theta(\tau_X(2n)!)^{-1} \sum_{k=1}^{\infty} (1-\theta)^k k^{2n}. \quad (4)$$

Расчет показывает, что все семейство кривых  $D_{2n}(\theta)$  пересекается в одной точке  $\theta_0 = 0,632$ , что эффективно приводит гетеродинамическую систему к одному из гомодинамических пределов: при  $\theta > \theta_0$  винеровский процесс нивелирует гетерогенность среды, а при  $\theta < \theta_0$  пространственный масштаб гетерогенности несоизмерим с масштабом молекулярных смещений. Аналогичный результат получен для распределения Паскаля, однако  $\theta_0$  стремится к единице с ростом числа учитываемых повторяющихся событий. Для распределения Пойя расчеты  $D_{2n}(L, \theta)$  выявляют область  $L$ , в которой порядок производной фрактальной траектории понижен, однако как размеры этой области, так и наклоны огибающих семейств кривых резко уменьшаются по сравнению с (3) с ростом вероятности события  $\theta$ .

Полученные результаты позволяют рассматривать экспериментальные данные по релаксации на основе понятий о фрактальности траекторий молекулярных движений в гетерогенной среде, дают возможность проведения количественной обработки данных с помощью соотношений (3), определяют условия проявления гетеродинамики в релаксационных явлениях. В частности, рассмотрение обобщенной диффузии при большой вероятности события объясняет отсутствие проявлений гетеродинамики в магнитной релаксации растворов парамагнитных ионов.

Институт фармакохимии  
им. И. Г. Кутателадзе АН ГССР

Поступило 10.05.1985

### 3. მიღება

დიცავის განხორციელები პროცესი პეტეროგენურ მიღების კავშირი დროის და არამარტოვისებული კორტინატების ლაპლას-ასახვას შორის დამყარებულია მომენტების საშუალებით, რომლებიც რიცხობრივ გამოთვლილია სხვადასხვა ალბორუმი პროცესებისათვის. გამოთვლის შედეგები გვაძლევს საშუალებას განვითაროთ მოლეკულური მოძრაობის ტრაქტორიების შესაბამისი ფუნქციების წარმოებულის წილადურობა.

რ ე ი ტ მ ე

განხილულია დიფუზიის განხორციელებული პროცესი პეტეროგენურ მიღების კავშირი დროის და არამარტოვისებული კორტინატების ლაპლას-ასახვას შორის დამყარებულია მომენტების საშუალებით, რომლებიც რიცხობრივ გამოთვლილია სხვადასხვა ალბორუმი პროცესებისათვის. გამოთვლის შედეგები გვაძლევს საშუალებას განვითაროთ მოლეკულური მოძრაობის ტრაქტორიების შესაბამისი ფუნქციების წარმოებულის წილადურობა.

# EXTENDED DIFFUSION PROCESSES IN A HETEROGENEOUS MEDIUM

## S u m m a r y

Extended diffusion process in a heterogeneous medium is considered in such way that to constraint Laplas transforms of time and non-Marcovian generalized coordinates] are considered in the spectrum of moments. For some probabilistic models of molecular motion the moments are calculated numerically. From the computations it is possible to definite the fractal of the molecular trajectory for the concretized structure of the heterogeneity.

## ლიტერატურა — REFERENCES

1. Цицишвили В. Г., Киколадзе В. С. Радиоспектроскопия. Пермь, Пермский государственный университет, 1980, с. 123.
2. Слонимский Г. Л. Высокомолек. соед., 1978, т. А20, № 8, 1712.
3. Цицишвили В. Г., Слонимский Г. Л., Федян Э. И. Конформационные изменения биополимеров в растворах, Тбилиси, Институт физики АН ГССР, 1985, с. 24.
4. Зельдович Я. Б., Соколов Д. Д. УФН, 1985, т. 146, вып. 3, 493.

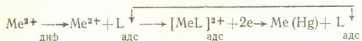
УДК 543.253

В. Ш. ЦВЕНИАШВИЛИ, М. В. МАЛАШХИЯ

## НОВЫЙ ВАРИАНТ ПОЛЯРОГРАФИЧЕСКОГО ОПРЕДЕЛЕНИЯ 2,1,3-ЭЛЕМЕНТОДИАЗОЛОВ

Определение ароматических 2,1,3-элементодиазолов лежит в основе многих косвенных аналитических методик [1—3], в том числе анализа следов воды в различных объектах [4]. Ранее [5] было показано, что 2,1,3-элементодиазолы могут быть определены методами классической и переменнотоковой полярографии. С целью понижения предела обнаружения в настоящей работе предложен не описанный ранее усовершенствованный вариант полярографического определения указанных соединений.

Предволовы переходных металлов с ароматическими 2,1,3-элементодиазолами впервые наблюдались в работе [6] и были интерпретированы как каталитические, связанные с процессом образования и восстановления полярографически активного комплекса из иона металла и диазола, причем лиганд регенерируется на электроде:



Наиболее полно каталитический эффект проявляется при полярографировании никеля (II) в присутствии 2,1,3-бензоселенодиазола (БСД). На основе исследования влияния концентрации лиганда-катализатора, иона металла и фона, природы и состава фонового элек-

Таблица 1

Определение 2,1,3-бензоселенодиазола по каталитическому току  
электровосстановления  $\text{Ni}^{2+}$

Взято, мг	$\bar{x}$	n	S
4,86	4,90	10	0,14

тролита, температуры и pH среды на величину предельного каталитического тока ( $i_k$ ) установлено, что наиболее подходящим фоном для анализа БСД по  $i_k$  является 0,1 М раствор  $\text{NaNO}_3$ . На этом фоне прямая пропорциональность между  $i_k$  полярографически активного комплекса и концентрацией БСД наблюдается в интервале концентраций  $2,0 \cdot 10^{-6}$ — $5,0 \cdot 10^{-4}$  моль/л. В этих условиях определение можно вести с помощью метода добавки стандарта. Однако при концентрации лиганда выше указанного предела метод становится неточным и необходимо использование только калибровочного графика зависимости  $i_k$  от концентрации БСД. Оптимальный состав электролита:



0,1 моль/л  $\text{NaNO}_3$  + 0,002 моль/л  $\text{Ni}(\text{NO}_3)_2$  + X моль/л БСД. Поляро<sup>граф</sup>  
графирование нужно вести в интервале потенциалов  $-0,6 \div -1,1$  В. Величина  
личину  $i_k$  необходимо измерять при одном и том же потенциале, рав-  
ном  $-0,85$  В. Калибровочный график строят в интервале концентра-  
ций БСД  $1,0 \cdot 10^{-6} \div 1,0 \cdot 10^{-3}$  моль/л.

Методика определения БСД опробована на искусственно приго-  
товленных смесях. Статистическая обработка результатов анализа по-  
казала удовлетворительную точность метода (см. таблицу 1). Предел  
обнаружения БСД  $1,0 \cdot 10^{-6}$  моль/л.

Работу проводили с помощью полярографа ОН-105 (ВНР). Исполь-  
зовали трехэлектродную ячейку, снабженную рубашкой для тер-  
mostатирования. Потенциалы измеряли по отношению к водному на-  
сыщенному каломельному электроду. Применили свежий 0,2%-ный ра-  
створ желатина. Кислород из ячейки удаляли продувкой аргоном. Ра-  
створы готовили на бидистилляте.

Институт неорганической химии  
и электрохимии АН ГССР

Поступило 25.12.1984

3. თბილისი, გ. მალაშვილი

2,1,3-ელემენტოდიაზოლების პოლაროგრაფიული განსაზღვრები  
ახალი ვარიანტი

რეზიუმე

შემოთხვებულია 2,1,3-ელემენტოდიაზოლების პოლაროგრაფიული  
განსაზღვრების ახალი ვარიანტი, რომელიც ეყრდნობა ონიშოულ ლიგანდებთან  
გარდამავალი ელემენტების კომპლექსნარტების ელექტროლიტების პრო-  
ცესში წარმოქმნილ კატალიზურ ეფექტს. ელექტროლიტის ოპტიმალური შედ-  
ენილობა 0,1 მოლ/ლ  $\text{NaNO}_3$  + 0,002 მოლ/ლ  $\text{Ni}(\text{NO}_3)_2$  + X მოლ/ლ ლიგანდი.  
პოლაროგრაფიულ განვითარების წარმოებენ  $-0,6 \div -1,1$  ვ. პოტენცია-  
ლის ინტერვალში. კატალიზურ დენს ზომავენ 0,85 ვ პოტენციალის მნიშვნე-  
ლობისას.

განსაზღვრას აწარმოებენ სავალიბრო მრუდის დახმარებით.

2,1,3-ელემენტოდიაზოლის განსაზღვრის ზღვარი შეადგენს  $1,0 \cdot 10^{-6}$  მოლ/ლ.

V. SH. TSVENIASHVILI, M. V. MALASHKHIA

## THE NEW VARIANT OF POLAROGRAPHIC DETERMINATION OF 2,1,3-ELEMENTODIAZOLS

### Summary

The new variant of polarographic determination of 1,2,3-elementodiazols is suggested. It is based on the catalytic effect, emerging in the process of electroreduction of transitive metals complex with the named ligands.

Optimal composition of electrolyte is grounded. The determination is carried out with the help of calibrator graphic.

The limit of discovery of 2,1,3-elementodiazol— $1,0 \cdot 10^{-6}$  mol/l.



1. Hoste J., Gillis J., Anal. chem. acta, 1955, v. 12, № 2, p. 158.
  2. Cheng K. L. Anal. chem., 1956, v. 28, № 11, p. 1738.
  3. Clande le Peintre M., Compt. rend., 1961, v. 243, p. 1968.
  4. Митчел Дж., Смит Д. Акваметрия, М., изд. Химия, 1980, с. 363.
  5. Цвениашвили В. Ш., Жданов С. И., Тодрес З. В., ХГС, 1968, № 4, с. 712.
  6. Цвениашвили В. Ш., Малашхия М. В., Хавтаси Н. С., Гаприндашвили В. Н. ЖХХ, 1983, 53, № 8, с. 1851.
-



АВТОРСКИЙ УКАЗАТЕЛЬ  
ДВЕНАДЦАТОГО ТОМА

А

- Абхазава И. И., № 1, 75  
Авалиани А. Ш. № 3, 204  
Аватков О. Н. № 1, 25  
Агладзе Р. И. № 2, 126; № 2, 156, № 4, 293; № 4, 308  
Акимов В. К. № 1, 34; № 3, 171  
Алексеева Т. А. № 3, 175  
Амирханашвили К. Д. № 1, 17  
Амириձե Յ. Ս. № 1, 70  
Андроникашвили Т. Г. № 2, 133; № 4, 267  
Андрисасова И. А. № 1, 30  
Андтуладзе М. К. № 3, 217  
Анели Շ. Ն. № 1, 56  
Аревадзе Մ. Մ. № 3, 212  
Арешидзе Խ. Ի. № 3, 237

Б

- Багратиშვილი გ. დ. № 4, 272  
Бაგაძე ი. გ. № 4, 256  
Байрамашвили И. А. № 1, 30  
Баларджишвили გ. ի. № 4, 305  
Бараташвили И. ბ. № 3, 192  
Барнабишвили დ. հ. № 2, 140  
Бахтадзе А. ბ. № 1, 25  
Бердзениშვილი ი. თ. № 2, 120  
Беришвили ლ. ა. № 4, 308  
Берикашвили ი. გ. № 3, 222  
Берлин յ. ა. № 2, 108  
Бекаури հ. գ. № 3, 217  
Бекаури մ. հ. № 3, 217  
Броучек Փ. ի. № 1, 67; № 4, 247  
Бусев А. И. № 3, 171

В

- Вардосаниძე გ. օ. № 2, 149  
Вачнадзе ვ. გ. № 1, 44  
Вецко ვ. მ., № 1, 25

Г

- Гаголишвили მ. შ. № 2, 149  
Гаджiev M. K. № 1, 70  
Гаприндашвили В. Н. № 3, 222  
Гвелесиани მ. თ. № 3, 171  
Гвенцадзе ე. ბ. № 3, 217  
Гвердцители მ. ი. № 3, 231  
Гелашвили հ. ս. № 1, 75  
Гигаури Ր. դ. № 1, 49  
Гоголадзе დ. დ. № 4, 260  
Гоголидзе Բ. Ա. № 2, 97

- Гогодзе հ. ի. № 2, 140  
Гогишвили հ. შ. № 2, 156  
Гогичадзе լ. դ. № 3, 222  
Гогичаева ս. պ. № 1, 67  
Годердзишвили լ. ի. № 1, 49  
Годунова լ. ֆ. № 4, 260  
Гозалов ա. լ. № 4, 247  
Гониашвили ա. շ. № 3, 217  
Городыский ա. վ. № 3, 184  
Гофман հ. տ. № 2, 126  
Глазова ա. մ. № 2, 93  
Глонти զ. շ. № 4, 301

Д

- Давиташвили Ե. Գ. № 1, 11; № 1, 78; № 2, 87; № 3, 167  
Даушвили დ. ა. № 2, 120  
Дებუაძე თ. პ. № 2, 120  
Девдарини օ. ա. № 1, 61  
Девдарини ր. օ. № 3, 231  
Дельвиг ի. ս. № 3, 175  
Дзигвашвили თ. թ. № 1, 73  
Джабишвили հ. ա. № 1, 11; № 1, 78; № 2, 87  
Джанелиძე ր. բ. № 4, 272  
Джапаридзе կ. կ. № 4, 297  
Джишкарнани გ. ի. № 4, 301  
Дидидзе ա. վ. № 3, 217  
Догонадзе ր. ր. № 3, 184  
Долаберидзе հ. մ. № 3, 180  
Долидзе ա. վ. № 1, 73; № 4, 305  
Дохтуриშვილi հ. ս. № 1, 75

З

- Заркуა Յ. լ. № 1, 75

И

- Иашвили ր. յ. № 2, 137

К

- Кабзинадзе է. վ. № 2, 126  
Кайгородова լ. կ. № 4, 260  
Каландаришвили დ. զ. № 1, 17  
Каландия ի. ա. № 3, 227  
Каландадзе հ. դ. № 4, 252  
Караулашвили դ. ի. № 3, 212  
Каргаретeli լ. հ. № 1, 11; № 2, 87  
Карпов ի. ն. № 3, 184  
Карнаули մ. մ. № 4, 247  
Карлейская ե. ի. № 4, 260  
Карашвили գ. դ. № 4, 293  
Картвельишвили վ. գ. № 1, 38  
Кардava մ. ա. № 2, 133

- Каминский А. В. № 1, 25  
 Кикнадзе Н. П. № 4, 293  
 Киперман С. А. № 1, 78  
 Клабуновский Е. И. № 4, 260  
 Кобаладзе З. В. № 2, 97  
 Ковальтчук М. Д. № 2, 133  
 Коган В. Е. № 4, 283  
 Колбасов Г. Я. № 3, 184  
 Коява Н. А. № 3, 234  
 Крупенникова А. Ю. № 3, 180 № 4, 267  
 Кудзинев А. Г. № 1, 25; № 2, 93  
 Кудзинев Г. А. № 1, 25  
 Курцхалия Ц. С. № 3, 212
- Л
- Ландия М. В. № 1, 78  
 Лаперашвили Л. Я. № 4, 267  
 Левитина Е. С. № 4, 260  
 Лонгурашвили Н. Т. № 2, 103
- М
- Майсурадзе Н. А. № 1, 75  
 Малашхия М. В. № 3, 199; № 4, 315  
 Марсагишили Т. А. № 3, 184  
 Маркова Т. Б. № 2, 146  
 Мгалоблишвили М. Г. № 4, 301  
 Мгебришвили Л. Г. № 4, 267  
 Мдивнишвили О. М. № 4, 278  
 Меладзе С. М. № 3, 234  
 Миндин В. Ю. № 4, 293  
 Микалдзе И. И. № 1, 17  
 Модебадзе М. Е. № 3, 167  
 Мукбаниани О. В. № 3, 234  
 Мшвелидзе Г. Г. № 4, 283  
 Мясников И. А. № 4, 283
- Н
- Надирадзе А. А. № 2, 115  
 Надирашвили М. В. № 3, 212  
 Наскидашвили Ц. И. № 2, 97  
 Нахуцишвили И. Г. № 4, 272  
 Небиридзе Н. М. № 1, 70
- О
- Оганезов К. А. № 1, 30  
 Озиашвили Е. Д. № 2, 143  
 Окуджава Н. Г. № 4, 267  
 Онiani Г. Г. № 2, 133  
 Орлова О. В. № 4, 308  
 Орловский В. П. № 1, 11; № 2, 87
- П
- Папава Г. Ш. № 1, 75  
 Парцахашвили Г. Л. № 1, 61  
 Пирцхалава Н. И. № 4, 288  
 Пронкин А. А. № 4, 283
- Р
- Размаде З. Ш. № 2, 137
- С
- Сагинашвили М. Г. № 2, 103; № 2, 149  
 Салладзе К. М. № 3, 212  
 Саруханишвили А. В. № 2, 120
- Секирин И. В. № 3, 184  
 Сирадзе Р. В. № 4, 288  
 Сиракянян Н. М. № 2, 143  
 Схиладзе Н. Р. № 1, 44  
 Схицладзе Н. Н. № 2, 153  
 Супаташвили Г. Д. № 1, 38
- Т
- Табуцидзе М. Л. № 1, 30  
 Тактакишвили М. О. № 2, 108  
 Тараненко Н. И. № 3, 184  
 Тарашишили Н. А. № 4, 297  
 Теплицкая Т. А. № 3, 175  
 Ткешелашвили Г. И. № 2, 93  
 Томилина В. И. № 1, 25  
 Топчиашвили М. И. № 1, 56  
 Торонджадзе Д. Д. № 1, 34
- У
- Уридия Л. Я. № 4, 278
- Х
- Хананашвили Л. М. № 2, 234  
 Харсон М. С. № 1, 73  
 Хидашели Т. М. № 2, 137  
 Хинтибидзе Л. С. № 3, 171  
 Хомасуридзе Ж. Ф. № 1, 103  
 Хоперия Т. Н. № 4, 301  
 Хотенашвили Н. З. № 4, 297  
 Хучуа Е. А. № 4, 278
- Ц
- Цагарейшили Д. Ш. № 3, 192  
 Цвениашвили В. Ш. № 3, 199; № 4, 315  
 Цивадзе А. Ю. № 2, 146  
 Циклаури О. Г. № 3, 204  
 Цинцадзе Г. В. № 4, 256  
 Цинцадзе М. Г. № 2, 146  
 Цискаришвили П. В. № 4, 297  
 Цинишвили Г. В. № 2, 133; № 2, 140;  
     № 3, 180; № 4, 305  
 Цинишвили В. Г. № 4, 312  
 Цкитишвили М. Г. № 1, 17
- Ч
- Чивадзе Г. О. № 2, 97; № 4, 260  
 Чирақадзе Г. Г. № 2, 103; № 2, 149  
 Чочия Н. И. № 1, 49  
 Чрелашишили М. В. № 1, 17  
 Чуприн Д. А. № 3, 204
- Ш
- Шакарашишили П. С. № 3, 217  
 Шарашенидзе Т. В. № 1, 70  
 Шатакишвили Т. Н. № 1, 49  
 Шатберрова Э. Б. № 2, 93  
 Швелашвили А. Е. № 1, 17  
 Шецирули Г. И. № 3, 237
- Э
- Эсакия К. Е. № 2, 143  
 Эсартия И. Г. № 3, 234
- Я
- Янич П. А. № 1, 44

რედაქციის მისამართი:  
380060, თბილისი-60, კუტურული ქ. 19, ოთახი 18  
ტელ. 37-86-78

Адрес редакции:  
380060, Тбилиси-60, Кутузова, 19, комната 18  
тел. 37-86-78

Корректор Н. А х о б а д з е

Сдано в набор 16.6.1986; подписано к печати 14.11.1986; формат  
бумаги 70×108<sup>1</sup>/<sub>16</sub>; бумага № 1; высокая печать; усл. печ. л. 7,0; уч.-изд. л. 5,7;  
УЭ 06750; тираж 1110; заказ 1922; цена 90 коп.

---

გამოცემლობა „მეცნიერება“, თბილისი, 380060, კუტურული ქ., 19  
Издательство «Мецнериба», Тбилиси, 380060, ул. Кутузова, 19

---

საქ. სსრ მფრ. აკადემიის სტამბა, თბილისი, 380060, კუტურული ქ., 19  
Типография АН Груз. ССР, Тбилиси, 380060, ул. Кутузова, 19

## К СВЕДЕНИЮ АВТОРОВ

1. В журнале «Известия АН Грузинской ССР, серия химическая» публикуются оригинальные статьи и краткие сообщения, содержащие результаты исследований теоретического и экспериментального характера во основных направлениях современной химии и технологии, а также обзорные статьи, написанные по заданию редакционной коллегии.

Периодически публикуется краткая хроника о конференциях, совещаниях, семинарах и других научно-организационных мероприятиях, проводимых в республике.

2. Объем статьи, включая таблицы, рисунки (3 рисунка приравниваются к одной странице), подписи к рисункам, список использованной литературы, резюме на грузинском и английском языках и реферат, не должен превышать 12 страниц машинописного текста, отпечатанного через два интервала. С левой стороны оставляются поля шириной 3—5 см.

3. Объем кратких сообщений не должен превышать 4 страницы машинописного текста (включая список использованной литературы и краткое резюме). Сообщения могут быть иллюстрированы 1—2 рисунками.

Резюме на английском и грузинском языках, список использованной литературы, таблицы и подписи к рисункам исполняются на отдельных листах.

Резюме и реферат не должны содержать без пояснения термины и формулы, смысла которых можно понять только из текста статьи.

4. Статьи (краткие сообщения) представляются в двух экземплярах с направлением учреждения, решением Ученого совета (кафедры, отдела, лаборатории) об их публикации, с заключением экспертной комиссии и авторскими справками.

В начале статьи (слева вверху) пишется индекс УДК, справа вверху указывается раздел журнала, в котором должна быть опубликована статья, затем следуют инициалы и фамилии авторов, заглавие и текст статьи. В конце текста с левой стороны указывается полное название учреждения, в котором выполнена работа. Статья должна быть подписана всеми авторами с указанием на отдельном листе их адресов и телефонов.

5. Изложению экспериментального материала должно предшествовать краткое введение, излагающее цель работы. Далее должно быть приведено описание и обсуждение полученных результатов и краткое заключение. Таблицы, приведенные в тексте статьи, следует озаглавить.

6. Формулы и буквенные обозначения должны быть вписаны четко и аккуратно от руки чернилами или тушью. Особое внимание следует обратить на тщательное изображение индексов и показателей степеней. Во избежание ошибок следует делать ясные различия между прописными и строчными буквами латинского алфавита: заглавные буквы подчеркнуть снизу двумя черточками, а строчные — сверху; греческие буквы обвести красным карандашом.

7. Рисунки должны быть исполнены на белой бумаге или на кальке тушью, с минимальным количеством обозначений. В тексте следует обязательно указать место для рисунков, вынося номер рисунка на поля. На обороте каждого рисунка карандашом должны быть написаны фамилии авторов, заглавие статьи, к которой относится рисунок. Рисунки и таблицы должны быть представлены в двух экземплярах (в надписанном конверте).

8. Цитируемая литература приводится на отдельной странице в конце статьи. Все ссылки даются в оригинальной транскрипции. Иностранные фамилии в статье даются в транскрипции основного текста.

Цитируемая литература приводится в следующем порядке:

а) для журнальных статей: фамилии и инициалы всех авторов, название журнала, год, том, номер (серия), страница;

б) для книг: фамилии и инициалы авторов, точное название книги, место издания, издательство, год, том (подчеркнуть) и страница.

При ссылке на патентную литературу указываются фамилия автора, наименование охранного документа, его номер, название страны (в скобках), сведения об изданнии, в котором опубликован документ.

Ссылки на неопубликованные работы (кроме диссертаций) не допускаются.

Использованная литература должна быть расположена в порядке последовательности цитирования.

9. Обозначение и сокращение физических величин должны соответствовать Международной системе единиц «СИ». Кроме них можно использовать лишь единицы, допускаемые к применению наравне с единицами СИ.

10. К статье должен был приложен реферат в двух экземплярах, составленный по форме ВИНИТИ.

11. Рукописи, не отвечающие настоящим правилам, редакцией не принимаются.

12. В журнале статьи публикуются в порядке поступления в редакцию. В случае возвращения автору статьи для доработки текста датой представления считается день получения редакцией окончательного текста. В одном номере журнала может быть опубликована лишь одна статья автора.

13. Редакция посыпает автору одну корректуру статьи. В авторской корректуре исправление подлежат только ошибки типографии, никакие дополнения или изменения первоначального текста не допускаются.

Редакция бесплатно выдает авторам 12 отдельных оттисков статьи.

Цена 90 коп.

675/Ч

Индекс 26203 Рига

